

Para Fati, motivo deste  
trabalho.

Este Exemplar corresponde à  
edição final da Tese defendida pelo  
aluno e aprovada pela comissão  
julgadora.

Campinas 16 de março de 1997

Giedr D M

TESE APRESENTADA AO INSTITUTO DE FÍSICA GLEB WATAGHIN  
PARA OBTENÇÃO DO TÍTULO DE  
MESTRE EM FÍSICA

ESPALHAMENTO INELÁSTICO DE ELETRONS PELO ATOMO DE MAGNÉSIO

ESTUDO DAS EXCITAÇÕES  $3^1P$  E  $3^3P$ .

CESAR JOSÉ BONJUANI PAGAN

Banca Examinadora:

\* Dra. Gilda Dalcanale Meneses ( Orientadora ) - IFGW,

\* Dr. George Csanak - Los Alamos National Laboratory (USA),

\* Dr. José Carlos Nogueira - UFSCar,

\* Dr. Fernando Jorge da Paixão - IFGW,

\* Dr. Bernardo Laks - IFGW.



CLASSIF. ....

AUTOR. ....

V. .... EX .....  
TOMBO BCI 10016

I. FÍSICA - UNICAMP

n.º cédula /UNICAMP/ M

n.º assin. P14C

cd. v. .... f.a. ....

n.º tombo. TMA 323  
0012189

CM 000304199

## AGRADECIMENTOS

Agradeço

À Deus por criar o Universo,

À Fati, pela força que sempre me deu,

Aos meus pais, por sua amizade,

Ao Dr. Fernando J. da Paixão pelas suas sugestões e conversas que tivemos,

A pessoas importantes como a Vera e a Ana Lúcia,

Aos meus colegas por estar junto na caminhada,

A FAPESP pela bolsa de Mestrado,

e especialmente à Dra. Gilda D. Meneses por que mais que física me ensinou a ser um profissional.

Muito Obrigado!

## Resumo

A Teoria de Muitos Corpos em primeira ordem foi aplicada ao estudo do impacto inelástico de um eletron com um alvo de magnésio, nas excitações  $3^1S \rightarrow 3^1P$  e  $3^1S \rightarrow 3^3P$ . Calculamos as Secções de Choque Diferenciais e Integrais, e pela primeira vez para o alvo de Magnésio, os parâmetros da experiência de correlação eletron-fóton. As energias do eletron incidente estão na faixa de 10 à 100eV.

**ÍNDICE**

Agradecimentos	3
Resumo	4
Introdução	7
1. Teoria	10
1.1 Introdução	10
1.2 O Magnésio	11
1.3 A SCD	13
1.4 A Matriz T	15
1.5 Trabalhos Experimentais sobre o Processo de Colisão eletron-Magnésio	16
1.6 Trabalhos Teóricos sobre o Processo de Colisão eletron-Magnésio	17
1.7 Uso da TMC no Processo de Espalhamento	20
1.8 A Aproximação RPA	24
1.9 As Funções de Onda	27
1. O alvo	28
2. Função de Onda Contínuo	31
3. Comportamento Assintótico	32
4. Os Deslocamentos de Fase	33
5. Multiconfiguração	34
6. Ortogonalidade	36
1.10 A Matriz T <sup>RPA</sup>	37
1. Obtenção da Matriz T <sup>RPA</sup>	37
2. Análise de Spin	37
3. Momento Angular	40
1.11 Correlação eletron-fóton	41

<b>2. Obtenção dos Resultados. Cálculo Numérico e Resultados Parciais</b>	<b>52</b>
<b>2.1 As Funções de Onda do Magnésio</b>	<b>52</b>
1. Funções na aproximação Hartree-Fock	52
2. Correlação	53
3. Resultados Parciais	55
a. Raio Médio e Alcance dos Orbitais	55
b. Energias de Excitação	55
c. Força do Oscilador	56
<b>2.2 As Funções do Contínuo</b>	<b>59</b>
1. Grade Radial	59
2. Deslocamentos de Fase	61
<b>2.3 Cálculo de T</b>	<b>63</b>
1. $T^0$	63
2. Termo de Troca	66
3. Integração de $R^i$ e $R^g$	68
4. Somas em l e l'	69
5. Diagrama dos programas de Computador	71
<b>3. Resultados</b>	<b>72</b>
<b>4. Apêndices</b>	
A. Cálculo da Matriz Densidade de Transição na Aproximação Hartree-Fock	105
B. Obtenção das Equações HF de Configuração Simples	111
C. Orbitais do Contínuo na Aproximação HF	114
D. As Equações Hartree-Fock em Multiconfiguração	116
E. Ortogonalidade entre os orbitais do Contínuo e Orbitais Ligados	120

F. Análise de Spin da Matriz T	123
G. Análise de Momento Angular da Matriz T	129
H. Densidade de Probabilidade Angular do Orbital Excitado	133
I. Integração Analítica das Integrais R de dois eletrons	135
J. A Matriz T para o Magnésio	140
 Referências	
	143

#### ÍNDICE DE TABELAS

Sistema de Unidades Atômicas	13
Teorema de Levinson	34
Coeficientes de Mistura (outros autores)	35
Desvio da Energia Média	53
Energia de Excitação e Total HF, MCHF e Exp.(2.1)	54
Desvio da Energia Média e Interação de Config.	54
Coeficientes de Mistura (nossos resultados)	55
Raio Médio e Alcance dos orbitais (2.2)	55
Força do Oscilador (nossos resultados e outros autores) (2.3)	58
Grade Radial Utilizada no Cálculo Numérico (2.4)	59
Número de Pontos por Comprimento de Onda (2.5)	60
Cálculo do Deslocamento de Fase em Diferentes valores de r	61
Tabela dos Deslocamentos de Fase $\lambda=0,10$ $E_i = 10-100\text{eV}$	63
Integrais R e R para $E_i=10\text{eV}$	65
Valor de $\lambda$	66

Integrais de Troca R <sup>1</sup> ( 3s pl : q1' 3p) l, l' = 0,7 E <sub>i</sub> =	
10 eV 3 <sup>1</sup> S → 3 <sup>1</sup> P	67
Diagrama dos Programas	71
Secções de Choque Diferenciais 10-100eV 3 <sup>1</sup> S → 3 <sup>1</sup> P e	
3 <sup>1</sup> S → 3 <sup>3</sup> P	93
Parâmetros $\lambda$ e $\chi$ 10-100eV	93a
Parâmetros $\langle L_1 \rangle$ e $\gamma$ 10-100eV	93b
Parâmetros de Stokes Normalizados P <sub>1</sub> , P <sub>2</sub> e P <sub>3</sub>	93c
Máximo a $\Theta=0^\circ$ e Relação entre os mínimos $\Theta_1^-$ e $\Theta_2^-$	95
Relação entre $\gamma$ e $\langle L_1 \rangle$ e os pontos de máximo e mínimo da SCD 3 <sup>1</sup> S → 3 <sup>1</sup> P	97

## ÍNDICE DE FIGURAS

1.1 Espectro de Energia Perdida (Experimental)	13
1.2 Secção de Choque Diferencial	15
1.3 Parâmetro de Impacto	33
1.4 Feixe de Eletrons da Transição 3 <sup>1</sup> S → 3 <sup>1</sup> P	40
1.5 Experiência de Coincidência Retardada eletron-fóton	41
1.6 Experiência de Correção Angular eletron-fóton	45
1.7 Experiência de Medida da Polarização dos fótons Coincidentes	46
1.8 Densidade de Probabilidade Angular do Orbital P Excitado	49
1.9 Sistemas de Representação	50
Gráfico dos Deslocamentos de Fase l=0,7 E <sub>i</sub> = 10 - 100 eV	62

3.1 SCD para $E_i=10\text{eV}$ , transição $3^1S \rightarrow 3^1P$	73
3.2 SCD para $E_i=20\text{eV}$ , transição $3^1S \rightarrow 3^1P$	74
3.3 SCD para $E_i=30\text{eV}$ , transição $3^1S \rightarrow 3^1P$	75
3.4 SCD para $E_i=40\text{eV}$ , transição $3^1S \rightarrow 3^1P$	76
3.5 SCD para $E_i=50\text{eV}$ , transição $3^1S \rightarrow 3^1P$	77
3.6 SCD para $E_i=100\text{eV}$ , transição $3^1S \rightarrow 3^1P$	78
3.7 SCD para $E_i=10\text{eV}$ , transição $3^1S \rightarrow 3^3P$	79
3.8 SCD para $E_i=20\text{eV}$ , transição $3^1S \rightarrow 3^3P$	80
3.9 SCD para $E_i=30\text{eV}$ , transição $3^1S \rightarrow 3^3P$	81
3.10 SCD para $E_i=40\text{eV}$ , transição $3^1S \rightarrow 3^3P$	82
3.11 SCD para $E_i=50\text{eV}$ , transição $3^1S \rightarrow 3^3P$	83
3.12 SCD para $E_i=100\text{eV}$ , transição $3^1S \rightarrow 3^3P$	84
3.13 Parâmetros $\lambda$ , $\chi$ , $\langle L_1 \rangle$ e $\gamma$ para $E_i=10\text{eV}$	85
3.14 Parâmetros $\lambda$ , $\chi$ , $\langle L_1 \rangle$ e $\gamma$ para $E_i=20\text{eV}$	86
3.15 Parâmetros $\lambda$ , $\chi$ , $\langle L_1 \rangle$ e $\gamma$ para $E_i=30\text{eV}$	87
3.16 Parâmetros $\lambda$ , $\chi$ , $\langle L_1 \rangle$ e $\gamma$ para $E_i=40\text{eV}$	88
3.17 Parâmetros $\lambda$ , $\chi$ , $\langle L_1 \rangle$ e $\gamma$ para $E_i=50\text{eV}$	89
3.18 Parâmetros $\lambda$ , $\chi$ , $\langle L_1 \rangle$ e $\gamma$ para $E_i=100\text{eV}$	90
3.19 Densidade de Probabilidade Angular $E_i=40\text{eV}$ , transição $3^1S \rightarrow 3^1P$	91
3.20 Secção de Choque Integral transição $3^1S \rightarrow 3^1P$	92

## INTRODUÇÃO

Nesta Tese utilizamos pela primeira vez a Teoria de Muitos Corpos em Primeira Ordem (TMC1) no cálculo das Secções de Choque Diferenciais e Integrais e dos parâmetros da experiência de correlação eletron-fóton, para um átomo que não é gas raro.

A Teoria de Muitos Corpos (TMC) foi desenvolvida apartir da Técnica de Funções de Green de Martin e Schwinger(1959), inicialmente por Schneider, Taylor e Yaris (1970) para o espalhamento elástico e por Gy. Csanak, Taylor e Yaris (1971) para a colisão inelástica. Muito se fez desde então e a TMC1 foi aplicada para os gases raros obtendo sempre bons resultados.

Escolhemos o Magnésio como alvo porque este átomo não é gas raro, mas suas subcamadas são fechadas. Além disso, sabemos que este átomo é bem descrito no esquema LS e que o efeito de correlação eletrônica é importante no estado fundamental.

Além de calcular as Secções de Choque Diferenciais obtivemos pela primeira vez para o alvo de Magnésio dos parâmetros da experiência de correlação eletron-fóton ( $\lambda$ ,  $\chi$ ,  $\gamma$ ,  $\langle L_1 \rangle$ ,  $\vec{P}$ ).

A utilidade da obtenção de medidas de Secção de Choque Diferencial e Integral e dos parâmetros da experiência de correlação eletron-fóton está, de um lado na quantidade de informação que obtemos à respeito da dinâmica do processo ao comparar nossos resultados com o experimento ou ainda por outro lado, nas aplicações das medidas Secção de Choque Diferencial e Integral em Plasmas e Astrofísica.

A tese está dividida em três partes: A primeira contém a teoria utilizada, as aproximações consideradas e as bases da TMC1, as definições de Secção de Choque Diferencial e Integral e dos parâmetros da experiência de correlação eletron-fóton. No segundo capítulo a aplicação e o cálculo numérico, para obtenção de resultados. No capítulo três apresentamos finalmente os resultados e as conclusões da tese.

Campinas, janeiro de 1987

Cesar José Bonjuani Pagan.

## 1 TEORIA

### 1.1 Introdução

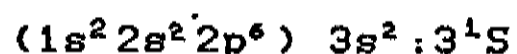
Nesta tese estudamos o processo de colisão inelástica de um eletron por um átomo de Magnésio (Mg), inicialmente em seu estado fundamental.

Utilizamos como ferramenta teórica a Teoria de Muitos Corpos em primeira aproximação (TMC1). A parte teórica da tese é feita neste capítulo partindo da descrição do fenômeno, ou seja: descrevemos o átomo de Mg (sec. 1.2), o processo de colisão (sec. 1.3) definindo as Secções de Choque Diferenciais (SCD) e Secções de Choque Integrais (SCI), e a matriz T (sec. 1.4). Uma vez que as grandezas fundamentais foram definidas (sec. 1.2-1.4) passamos à descrever os trabalhos experimentais (sec. 1.5) e teóricos (sec. 1.6) anteriores ao nosso sobre o mesmo assunto.

A seguir as fórmulas produzidas para a matriz de espalhamento S pela Teoria de Muitos Corpos (TMC) são expostas na sec. 1.7 e a Aproximação de Fase Aleatória (RPA) é descrita na seção seguinte (sec. 1.8) fornecendo a fórmula que utilizamos para a matriz T em nosso cálculo, bem como as aproximações consideradas.

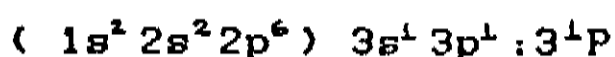
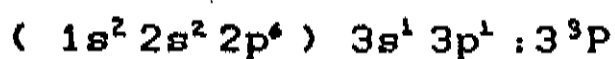
No que segue descrevi detalhes teóricos do cálculo: As funções de onda Hartree-Fock (HF) do alvo e do contínuo (sec. 1.9), e análise de spin e momento angular da matriz T (sec. 1.10). Finalmente na seção 1.11 apresento os parâmetros da experiência de correlação eletron-fóton, que também descrevem a dinâmica e o formato da nuvem eletrônica do átomo excitado na colisão eletrônica.

**1.2 O Magnésio:** O Mg é um átomo alcalino-terroso (grupo 2A, metálico), de camada fechada (o esquema de acoplamento de momento angular mais conveniente é o LS onde os estados são descritos por  $n^{2S+1}L$ , onde n é o número quântico principal da última subcamada cheia, L e S os momentos angulares totais orbital e de spin. LS são bons números quânticos porque comutam com a Hamiltoniana já que estamos desprezando a interação spin-órbita ou spin-spin). Possui 12 eletrons distribuídos em 4 subcamadas, quando no estado fundamental. No estado fundamental  $3^1S$  temos:



Os dez eletrons mais internos do Mg têm a estrutura de um átomo de Neônio que é gas raro e portanto são camadas mais estáveis que a camada mais externa. Assim podemos esperar que a maior parte dos efeitos relevantes ao processo de espalhamento ocorrem nas camadas mais externas.

A perda de energia do eletron incidente no processo de colisão inelástica implica num correspondente ganho de energia do átomo que fica num estado excitado energéticamente. Neste trabalho consideramos somente o primeiro e segundo estados excitados do Mg :



em ordem crescente de energia e que chamamos  $3^3P$  e  $3^1P$  respectivamente.

A primeira transição é opticamente proibida e a segunda opticamente permitida por regra de seleção de dipolo elétrico.

O ganho de energia em cada transição é :

$$\Delta E (3^3P) = 0.099688 \text{ a.u.}$$

$$\Delta E (3^1P) = 0.159775 \text{ a.u., } (2852 \text{ Å})$$

O primeiro nível iônico do Mg é  $(1s^2 2s^2 2p^6) \ 3s^1 : ^2S$  cuja energia de ionização é 7.63 eV.

Abaixo o espetro do Mg obtido por W.Williams e S.Trajmar.

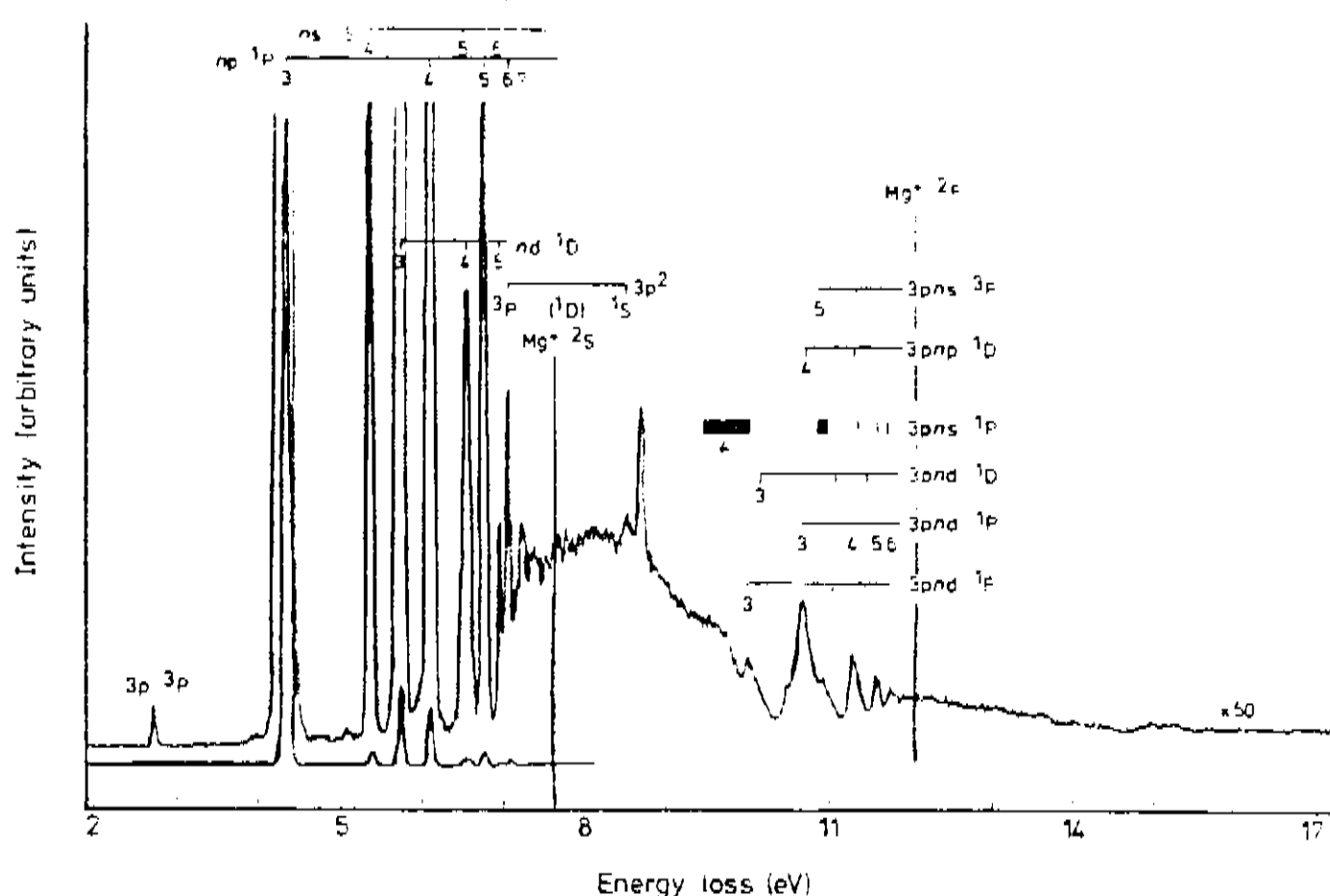


Figura 1: O espectro de energia perdida no processo de colisão mostra os níveis do átomo de Mg. Note que a transição opticamente permitida tem maior probabilidade de ocorrência do que a transição opticamente proibida  $3^3P$ ; a escala é em eV com zero no estado fundamental  $3^1S$ .

**1.3 Secção de Choque Diferencial.** No processo de colisão o sistema total é composto do eletro-**n** do contínuo e do átomo de Mg. A descrição teórica do problema é feita apartir da matriz T do espalhamento (ver por ex. Joachain, p.368) ou equivalentemente por um conjunto de parâmetros que caracterizam o processo. Um destes parâmetros, a Secção de Choque Diferencial é definida como segue:

- Seja  $F_i$  o fluxo incidente de partículas com energia \*

\* Usamos nesta tese o sistema de unidades atómicas (a.u.) tal que  $\hbar = m = e = 1$ , onde  $m$  é a massa do eletro-**n**,  $e$  é a carga do eletro-**n** e  $\hbar$  a constante de Planck dividida por  $2\pi$ . A unidade de comprimento é o ralo de Bohr  $a_0 = \hbar^2 / me^2 \approx 0.529 \text{ \AA}$  e a unidade de energia é  $e^2 / a_0$  duas vezes maior que o Rydberg . 1 (a.u.) = 27.211608 eV .

$E = k^2/2$ , que incide sobre o alvo. A Secção de Choque Diferencial (SCD)  $\sigma(\Omega, E)$  é a medida da quantidade de elétrons espalhados numa direção  $\Omega = (\theta, \phi)$  por unidade de fluxo incidente por unidade de tempo por unidade de ângulo sólido:

$$dN = F_i \sigma(\Omega, E) d\Omega \quad 1.1$$

### A integral

$$\sigma(E) = \int_0^{2\pi} \int_0^\pi \sin \theta d\theta d\phi \sigma(\Omega, E) \quad 1.2$$

é definida a Secção de Choque Integral (SCI), que é portanto a quantidade de elétrons que são espalhados por unidade de fluxo incidente por unidade de tempo.

Definimos o plano de espalhamento como o plano  $\hat{x}\hat{z}$ . Nossos resultados são feitos portanto para um detector neste plano com  $\phi = 0$ . Como desprezamos a interação spin-órbita o processo de colisão possui simetria de rotação ao redor do eixo  $\hat{z}$  (Joachain, p.387) portanto o valor de  $\phi$  não interfere na medida.

O esquema da experiência seria este:

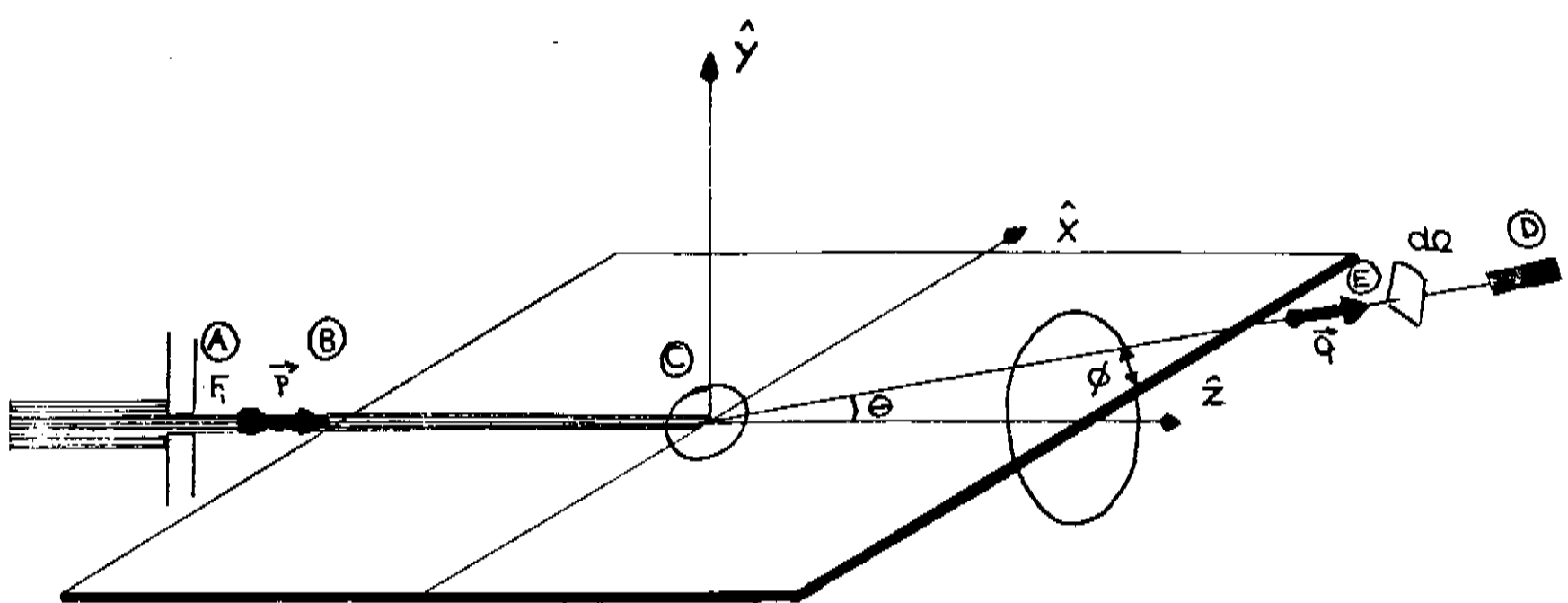


Figura 2 : Os eletrons são colimados formando um feixe incidente (A) de eletrons (F; ) e momento linear  $\vec{p}$  (B). Após interagirem com o alvo (C) são espalhados atravessando o elemento de ângulo sólido na direção  $\Omega \equiv (\theta, \phi)$  onde está colocado um detetor (D), sendo selecionados os eletrons com momento linear  $\vec{q}$  (E). O ângulo  $\theta$  é medido em relação ao eixo  $\hat{z}$ , que coincide com a direção de incidência e o ângulo  $\phi$  é em relação à projeção de  $\vec{q}$  no plano  $\hat{x}\hat{y}$  contado em relação ao eixo  $\hat{x}$ .

**1.4 A MATRIZ T.** A SCD inelástica é teoricamente obtida calculando-se a matriz de transição  $T_{n0}$  entre o estado fundamental "0" e excitado "n". Assim:

$$\sigma(\theta, E) = \frac{1}{4\pi^2} \frac{|\vec{q}|}{|\vec{p}|} \frac{1}{(2L+1)(2S+1)} \sum_{m_L} \sum_{m_S} |T_{n0}|^2 \quad 1.3$$

é a relação entre a SCD e a matriz  $T_{no}$ . Aqui  $L$  e  $S$  são o momento angular orbital total e spin do estado fundamental. Fazemos a soma em  $m_L$  e  $m_S$ , dividindo pela degenerescência para tirar a média sobre as projeções do estado inicial e somamos sobre os valores de  $m_L'$  e  $m_S'$  do estado final.

Em nosso caso para o sistema total eletro-átomo  $S=1/2$  e  $L=0$ , e assim 1.3 fica:

$$\sigma(\theta, E) = \frac{1}{4\pi^2} \frac{|\vec{q}|}{|\vec{p}|} \frac{1}{2} \sum_{m_L} \sum_{m_L'} |T_{no}|^2 \quad 1.3a$$

A independência de  $\phi$  com  $\sigma(\theta, E)$  mostra a simetria axial que faz com que  $\sigma(\theta, E)$  seja invariante frente à rotações ao redor do eixo  $\hat{z}$ .

### 1.5 Trabalhos experimentais sobre o processo de colisão eletro-Mg.

Alguns trabalhos já estudaram o processo de colisão eletro-Mg. Conhecemos dois trabalhos experimentais sobre o fenômeno:

Em 1978, W. Williams e S. Trajmar publicaram as SCD e SCI para o impacto eletrônico com o alvo de Mg, com energias do eletro incidente 10,20 e 40 eV, para as transições  $3^1S \rightarrow 3^1P$  e  $3^1S \rightarrow 3^3P$  entre outras.

A SCD foi medida para ângulos à direita do feixe incidente de  $10^\circ$  à  $130^\circ$ , com resolução de  $2^\circ$  extrapolando numéricamente para  $0^\circ$  e  $140^\circ$  -  $180^\circ$ . O erro estimado é que o valor da SCD está correto dentro de um fator 2. Pelo seu trabalho observamos também que a transição  $3^1S \rightarrow 3^1P$  opticamente permitida ocorre com maior facilidade que  $3^1S \rightarrow 3^3P$  optica-

mente proibida, pela intensidade das linhas obtidas (pag. 13).

Outra experiência foi realizada por Brunger et al. em 1985. Este trabalho apresentado na XVII ICPEAC, mediu as SCD para energias de 20 e 40 eV na transição  $3^1S \rightarrow 3^1P$ .

Mais tarde através de correspondência particular P.J.O. Teubner (1986) forneceu-nos a SCD para 10 eV e os parâmetros da experiência de correlação eletro-fóton,  $\lambda$  e  $|X|$ , (ver secção 1.11) para as energias 20 e 40 eV para a mesma transição  $3^1S \rightarrow 3^1P$ , e para ângulos de  $5^\circ$  à  $15^\circ$ . (Teubner e Brunger fazem parte atualmente do mesmo grupo de física na Austrália.)

O erro relativo estimado no experimento é bem menor, ao redor de 0.05, aumentando para 0.1 quando  $\Theta > 100^\circ$ .

Os resultados concordam entre si sendo que os resultados de Teubner ficam em geral dentro do erro de Williams e Trajmar.

## 1.6 Trabalhos teóricos sobre o processo de colisão eletro-Mg.

Teoricamente I.I. Fabrikant (1980) usou o método do acoplamento forte e N.B. Avdorim e M. Ya. Amus'ia usando a Teoria de Muitos Corpos calcularam as SCD e SCI para o impacto inelástico com o Mg. Estes trabalhos serão comparados mais tarde com os nossos.

O trabalho de I.I. Fabrikant (I.I. Fabrikant, 1980) usando o método do acoplamento forte (CC) trata o sistema eletro-átomo como um todo. Ao contrário das teorias de ondas planas onde a interação do al-

vo com o eletron contínuo é desprezada (ondas não distorcidas pelo alvo) (FBA) na faixa de energias altas, o método CC se aplica na região de baixas energias, abaixo ou um pouco acima do limiar de ionização que no caso do Mg é 7.63 eV.

A idéia do método é expandir as funções de onda do sistema total, eletron incidente e alvo, num conjunto completo de auto-funções do alvo.

Na prática esta expansão deve ser truncada em algumas poucas funções de onda do alvo para tornar o problema numéricamente tratável. O número de canais abertos necessários à expansão aumenta com a energia do eletron incidente de forma que o método CC fica inviável após algum limite em energia.

I.I. Fabrikant reteve do Mg apenas os estados  $3^1S$  e  $3^1P$  na expansão do acoplamento forte. Descreveu o estado fundamental através do cálculo multiconfiguracional considerando para o estado  $3^1S$  as configurações  $(1s^2 2s^2 2p^6) 3s^2 : 3^1S$  e  $(1s^2 2s^2 2p^6) 3p^2 : 3^1S$  e para o estado  $3^1P$  somente a configuração  $(1s^2 2s^2 2p^6) 3s^1 3p^1 : 3^1P$ .

I.I. Fabrikant calculou as SCD e SCI para as energias de 10 e 20 eV do eletron incidente para a transição  $3^1S \rightarrow 3^1P$ .

O efeito de polarização do alvo foi considerado no cálculo da onda incidente por um potencial de polarização do tipo  $\beta/\epsilon r^4$  de longo alcance. Desprezou o efeito de troca entre os eletrons do contínuo e do caroço do Magnésio ( $1s^2 2s^2 2p^6$ ), a polarização do caroço e as interação spin-orbita.

Obteve bons resultados para as SCD porém a forma das curvas medidas mostra oscilações para ângulos grandes, especialmente para a energia do elétron incidente 20 eV.

O método diagramático da teoria de muitos corpos usado por N.B. Avdorim e M. Ya. Amus'ia (1983) descreve interação entre as partículas através de séries de diagramas o que equivale à uma teoria de perturbação. Assim foram considerados somente os diagramas de 1ª ordem de perturbação. A interação de correlação entre os elétrons foi levada em conta pelos autores fazendo a aproximação Hartree-Fock de Caroço Congelado ou seja o Mg foi calculado autoconsistente no estado fundamental e o orbital 3p excitado foi calculado no campo dos orbitais 1s, 2s, 2p e 3s do estado fundamental. M. Ya. Amusia demonstrou que fazendo isto levamos em conta parte do RPAE (Random Phase Approximation with Exchange) e portanto os efeitos de correlação.

Em seu trabalho a função de onda do elétron incidente foi calculada no campo do alvo no estado fundamental e do elétron no canal espalhado, no campo do Mg  $3^{25+1}P$ .

O número de ondas parciais utilizado foi até  $l=5$  para  $E_i=10$  e 20 eV e  $l=6$  para  $E_i=40$  eV.

Avdorim e Amus'ia calcularam as SCD para as energias 10, 20 e 40 eV para as transições  $3^1S \rightarrow 3^1P$  e  $3^1S \rightarrow 3^3P$ . Para a transição  $3^1S \rightarrow 3^1P$  obteve bons resultados para ângulos grandes  $\Theta > 40^\circ$ .

Para  $3^1S \rightarrow 3^3P$  seus resultados foram próximos da experimentais, porém a forma da curva apresentada não reproduz o comportamento obtido experimentalmente.

## 1.7 Uso da Teoria de Muitos Corpos (TMC) no processo de espalhamento.

Passamos à aplicação da TMC no estudo do espalhamento eletron-átomo, com a finalidade de obter a matriz T em TMC1.

O elemento da matriz de espalhamento  $S_{no}$  é definido para uma colisão inelástica como (Csanak et al. 1971a):

$$S_{no} = \langle \Psi_{n\vec{q}}^{(-)N+1} | \Psi_{o\vec{p}}^{(+)N+1} \rangle \quad 1.4$$

onde  $\Psi_{o\vec{p}}^{(+)N+1}$  é a função de onda do sistema átomo - eletron do contínuo cujo átomo de N eletrons está no estado fundamental (0) e o eletron do contínuo incide com momento linear  $\vec{p}$  e a função  $\Psi_{n\vec{q}}^{(-)N+1}$  é a função de onda do sistema com o átomo excitado (n) e eletron do contínuo com momento linear  $\vec{q}$  (a dependência do spin está implícita), com condição de contorno de onda incidente (+) ou espalhada (-) respectivamente. Como  $S_{no}$  mede a superposição entre dois estados, 1.4 representa a amplitude de transição por impacto eletrônico de um eletron inicialmente no estado  $0\vec{p}$  ser encontrado no estado  $n\vec{q}$  após a colisão.

A matriz  $S_{no}$  está relacionada com a matriz  $T_{no}$  (Csanak et al. 1971a):

$$S = I + T, \quad 1.5$$

2. A Matriz S na TMC . Na TMC a matriz S pode ser construída apartir dos operadores de criação ( $a^+$ ) e destruição ( $a$ ) (Csanak et al 1971a):

$$S_{no} = \langle \Psi_{n\vec{q}}^{(-)N+1} | \Psi_{o\vec{p}}^{(+)N+1} \rangle$$

$$S_{no} = \lim_{\substack{t \rightarrow \infty \\ t' \rightarrow -\infty}} \langle \Psi_n^n | a_{\vec{q}}^-(t') a_{\vec{p}}^+(t) | \Psi_o^o \rangle \quad 1.6$$

Os operadores de campo  $\psi(n), \psi^+(n)$  que destroem ou criam uma partícula na posição, spin e tempo  $n = (\vec{r}_n, \sigma_n, t_n)$ ,  $n$  inteiro, estão relacionados com os operadores de criação e destruição através das séries (Csanak et al 1971a):

$$\psi(1) = \sum_k \varphi_k(1) a_k(t_1)$$

e

$$\psi^+(1) = \sum_k \varphi_k^*(1) a_k^+(t_1) \quad 1.7$$

ou inversamente \*

$$a_k^+(t_1) = \int \psi^+(1) \varphi_k(1) dx_1$$

e

$$a_k(t_1) = \int \psi(1) \varphi_k^*(1) dx_1 \quad 1.8$$

onde a soma sobre  $k$  é sobre o conjunto completo de funções de base de números quânticos  $k$ .

Substituindo 1.8 em 1.6 obtemos:

$$S_{no} = \lim_{\substack{t_1 \rightarrow -\infty \\ t'_1 \rightarrow \infty}} \int dx_1 dx'_1 \langle \Psi_n^n | \psi(1') \psi^+(1) | \Psi_o^o \rangle \varphi_q^*(1') \varphi_p(1) \quad 1.9$$

\*Na notação desta tese, quando a coordenada é um número inteiro, representa  $n = (\vec{r}_n, \sigma_n, t_n)$  onde  $\vec{r}_n$ ,  $\sigma_n$  e  $t_n$  são a  $n$ -ésima coordenada de posição, spin e tempo respectivamente e a integral  $\int dn$  é sobre espaço e tempo e soma sobre a coordenada de spin. Quando a coordenada é a letra  $x_n$   $x_n = (\vec{r}_n, \sigma_n)$  e a integral  $\int dx_n$  é sobre a coordenada  $r_n$  e soma sobre a coordenada se spin  $\sigma_n$ .  $\int d\vec{r}$  representa integração sobre espaço.

e introduzimos o operador de ordenação temporal T de Wick, obtendo a amplitude de Bethe-Salpeter de partícula-buraco  $X_n(1' 1)$ :

$$S_{no} = \lim_{\substack{t \rightarrow -\infty \\ t' \rightarrow \infty}} \int dx_1 dx'_1 \langle \Psi_n^n | T(\psi(x_1) \psi^*(x'_1)) | \Psi_0^n \rangle \varphi_{\vec{q}}^*(x'_1) \varphi_{\vec{p}}(x_1) 1.10$$

ou seja

$$S_{no} = \lim_{\substack{t \rightarrow -\infty \\ t' \rightarrow \infty}} \int dx_1 dx'_1 X_n(1' 1) \varphi_{\vec{q}}^*(x'_1) \varphi_{\vec{p}}(x_1) \quad 1.11$$

Para calcular os limites em 1.11 partimos da equação de Bethe-Salpeter para a amplitude de partícula-buraco (ver por ex. Csanak et al. 1971a):

$$X_n(1' 1) = \int d2 d2' d3 d3' G(1' 2') G(2' 1) \Xi(2' 3' 2 3) X_n(3' 1) 1.12$$

onde

$$G(1' 2') = -i \langle \Psi_0^n | T(\psi(1'), \psi^*(2')) | \Psi_0^n \rangle \quad 1.13$$

é a função de Green de uma partícula e  $\Xi(2' 3' 2 3)$  é o potencial óptico efetivo, que é a derivada funcional:

$$\Xi(2' 3' 2 3) = \frac{\delta \sum(2' 2)}{\delta G(3' 3')} \quad 1.14$$

e onde  $\sum$  é o potencial óptico definido por (Csanak et al. 1971a):

## Colisão Inelástica eletro-Mg - Teoria

$$\sum_{\text{part}}(11') = -i \int d2d2' V(1-2) G_2(12; 2'2^+) G^{-1}(2'1') \quad 1.15$$

onde  $V(1-2)$  é o potencial de interação eletrônica,  $G_2$  é a função de Green de duas partículas:

$$G_2(12; 2'2^+) = -\langle \Psi_0^n | T(\psi_{(1)} \psi_{(2)} \psi_{(2')}^\dagger \psi_{(2')}^\dagger) | \Psi_n \rangle \quad 1.16$$

$$2^+ \equiv (x_2, t_2 + \epsilon); \epsilon \rightarrow 0^+$$

e  $G^{-1}$  é dada por

$$G^{-1} = \sum + [G^0]^{-1} \quad 1.17$$

onde

$$[G^0]^{-1} = \left[ i \frac{\partial}{\partial t_1} - h(1) \right] \delta(1-1')$$

e onde  $h(1)$  é a parte de um elétron da Hamiltoniana do sistema.

A amplitude de Feynman-Dyson  $f_n(1)$  definida por:

$$f_n(1) = \langle \Psi_0^n | \psi_{(1)} | \Psi_{n+1}^{n+1} \rangle \quad 1.18$$

se relacionam com as funções de onda plana através das fórmulas (Csank et al. 1971a):

$$f_{\vec{p}^{ms}}^{(+)}(1) = \lim_{t' \rightarrow -\infty} i \int dx' G(11') \varphi_{\vec{q}^{ms}}(1') \quad 1.19a$$

e

$$f_{\vec{q}^{ms}}^{(-)*}(1) = \lim_{t \rightarrow +\infty} i \int dx' G(11') \varphi_{\vec{q}^{ms}}^*(1') \quad 1.19b$$

Substituindo 1.12 em 1.11 e usando as equações 1.19a e 1.19b obtemos uma fórmula de  $S_{no}$  independente dos limites de 1.11:

$$S_{no} = - \int \vec{f}_{\vec{p}^m_s}^{(+)}(1) \vec{f}_{\vec{q}^m_s}^{(-)*}(2) \boxed{\Gamma}^{(13,24)} X_n(4,3) d1d2d3d4 \quad 1.20$$

**1.8 A Aproximação RPA.** A primeira ordem de aproximação da matriz  $S$  em TMC é obtida quando consideramos o potencial óptico efetivo de partícula-buraco  $\boxed{\Gamma}$  na aproximação RPA generalizada GRPA (Csanak et al 1971b):

$$\boxed{\Gamma}^{GRPA} (1324) = i \delta(1-4) \delta(2-3) V(1-2) - i \delta(1-2) \delta(3-4) V(1-3) \quad 1.21$$

onde

$$V(1-2) = \delta(t_1 - t_2) \frac{1}{|\vec{r}_1 - \vec{r}_2|} \quad 1.22$$

Se explicitamos a dependência temporal da matriz densidade de transição (Csanak et al. 1971b):

$$X_n(43) = X_n(x_4t_4; x_3t_3) = X_n(x_4 x_3) e^{-i\omega_n t} \quad 1.23$$

e integramos 1.20 nas coordenadas de tempo, obtemos a matriz de espalhamento:

$$S_{no}^{GRPA} = -i \delta(\epsilon_{\vec{p}} - \epsilon_{\vec{q}} - \omega_n) \times \left\{ \int dx_1 dx_2 V(x_1 - x_2) \vec{f}_{\vec{p}}^{(+)}(x_1) \vec{f}_{\vec{q}}^{(-)*}(x_2) X_n^{RPA}(x_2 x_1) \right. \\ \left. - \int dx_1 dx_2 V(x_1 - x_2) \vec{f}_{\vec{p}}^{(-)}(x_1) \vec{f}_{\vec{q}}^{(+)*}(x_2) X_n^{RPA}(x_2 x_1) \right\} \quad 1.24$$

(a matriz densidade de transição  $X_n$  está relacionada com o potencial óptico efetivo pela fórmula 1.12) onde  $\epsilon_{\vec{p}} = p^2/2$  e  $\epsilon_{\vec{q}} = q^2/2$  e  $\omega_n$  é a energia de transição entre o estado fundamental e o estado excitado do alvo. A função  $\delta$  delta mostra a conservação de energia do sistema durante a colisão. (Consequência da integração temporal que é uma transformada de Fourier.)

A matriz T da relação 1.5 fica:

$$T = i \int dx_1 dx_2 V(x_1 - x_2) \left\{ \begin{array}{c} (+) \\ \vec{p}_{ms} \end{array} \right\}(x_1) \left\{ \begin{array}{c} (-) \\ \vec{q}_{ms'} \end{array} \right\}^*(x_2) X_n^{RPA}(x_2 x_1)$$

$$- i \int dx_1 dx_2 V(x_1 - x_2) \left\{ \begin{array}{c} (+) \\ \vec{p}_{ms} \end{array} \right\}(x_1) \left\{ \begin{array}{c} (-) \\ \vec{q}_{ms'} \end{array} \right\}^*(x_2) X_n^{RPA}(x_2 x_1) \quad 1.25$$

A aproximação RPA de T é obtida quando substituímos a aproximação de Hartree-Fock para as amplitudes de Feynman-Dyson  $f_{\vec{p}_{ms}}^{HF}$  e  $f_{\vec{q}_{ms'}}^{HF}$  em 1.25:

$$\overline{T}^{RPA} = i \int dx_1 dx_2 V(x_1 - x_2) \left\{ \begin{array}{c} (+) \\ \vec{p}_{ms} \end{array} \right\}^{HF}(x_1) \left\{ \begin{array}{c} (-) \\ \vec{q}_{ms'} \end{array} \right\}^{HF*}(x_2) X_n^{RPA}(x_2 x_1)$$

$$- i \int dx_1 dx_2 V(x_1 - x_2) \left\{ \begin{array}{c} (+) \\ \vec{p}_{ms} \end{array} \right\}^{HF}(x_1) \left\{ \begin{array}{c} (-) \\ \vec{q}_{ms'} \end{array} \right\}^{HF*}(x_2) X_n^{RPA}(x_2 x_1) \quad 1.26$$

onde  $X_n^{RPA}(x_1 x_2)$  é a matriz densidade de transição na RPA que é obtida apartir de pares de orbitais de partícula e buraco conforme (Thomas et al. 1974, Schneider et al. 1970):

$$X_n^{RPA}(x_2 x_1) = \sum_{\alpha \kappa} [X_{\alpha \kappa}^n g_{\alpha}^*(x_2) f_{\kappa}(x_1) + X_{\kappa \alpha}^n g_{\kappa}(x_1) f_{\alpha}^*(x_2)] \quad 1.27$$

onde a soma é sobre o conjunto completo de funções de onda.

Os elementos de matriz de transição  $X_{\alpha\kappa}^n$  e  $X_{\kappa\alpha}^n$  são calculados resolvendo-se a equação RPA de auto-valor dada:

$$\sum_{\beta m} \left\{ [\langle \kappa_\beta | \sigma | \alpha_m \rangle - \langle \kappa_\beta | \sigma | \alpha \kappa \rangle] X_{\beta m}^n + [\langle \kappa_m | \sigma | \alpha_\beta \rangle - \langle \kappa_m | \sigma | \beta \kappa \rangle] X_{m\beta}^n \right\} = (\epsilon_\kappa - \epsilon_\alpha + \omega_n) X_{\alpha\kappa}^n \quad 1.27$$

$$\sum_{\beta m} \left\{ [\langle \alpha_\beta | \sigma | \kappa_m \rangle - \langle \alpha_\beta | \sigma | \kappa \kappa \rangle] X_{\beta m}^n + [\langle \alpha_m | \sigma | \kappa_\beta \rangle - \langle \alpha_m | \sigma | \beta \kappa \rangle] X_{m\beta}^n \right\} = (\epsilon_\kappa - \epsilon_\alpha - \omega_n) X_{\kappa\alpha}^n \quad 1.28$$

onde

$$\langle \kappa_\beta | \sigma | \alpha_m \rangle = \int dx_1 dx_2 f_\kappa^*(x_1) g_\beta^*(x_2) \frac{1}{|\vec{r}_1 - \vec{r}_2|} g_\alpha(x_1) f_m(x_2) \quad 1.29$$

onde  $f_\kappa$  e  $f_m$  são orbitais desocupados (virtuais) de um eletron e  $g_\beta$  e  $g_\alpha$  são orbitais ocupados do alvo.

onde

A matriz densidade de transição pode ser calculada usando-se funções de onda Hartree-Fock na aproximação do caroço congelado para descrever o alvo ao invéz de se resolver as equações RPA, como foi feito anteriormente para outros átomos (Meneses 1978, Padial et al. 1981 etc). No caso do Magnésio, sabemos que o efeito de correlação eletrônica é importante na descrição do estado fundamental e que a aproximação RPA descreve esse efeito. Amus'ia et al. (1971) demonstrou teóricamente que um cálculo Hartree-Fock na aproximação do caroço congelado leva parte dos efeitos de correlação em conta, melhor que o cálculo na aproximação Hartree-Fock que só leva em conta o princípio de exclusão de Pauli entre eletrons de mesmo spin como efeito de correlação (Slater, II, 1960, p. 31). Assim o orbital de partícula única 3p do Mg excitado é calculado no campo dos orbitais do estado fundamental. No caso do Mg temos

(veja apêndice A):

$$X_n^{HF}(x_1, x_2) = \langle \Psi_n^{HF} | \psi^+(x_1) \psi(x_2) | \Psi_n^{HF} \rangle$$

$$= f_{3p}^{HF*}(\vec{r}_1) f_{3s}^{HF}(\vec{r}_2) C^{SMS}(\sigma_1, \sigma_2)$$

1.30

onde  $f_{3s}^{HF}(\vec{r}_2)$  é o orbital 3s causado pela excitação de um eletron do estado fundamental e  $f_{3p}^{HF}(\vec{r}_1)$  o orbital excitado.  $C^{SMS}(\sigma_1, \sigma_2)$  é a parte de spin que depende do spin do estado final. Calculamos também o orbital do eletron espalhado no campo do estado  $3^1S$ .

Em resumo, um cálculo da matriz T em TMC1 (ou RPA) com a simplificações de  $X_n$  feitas acima, leva em conta a distorção da onda do contínuo no campo do Mg no estado fundamental na aproximação Hartree-Fock e a correlação do estado excitado na aproximação do caroço congelado. Não é levado em conta porém o efeito de distorção do alvo por causa do eletron do contínuo nem a modificação do campo que o eletron do contínuo sente por causa dessa distorção etc (polarização). A TMC1 também não considera os muitos canais abertos no processo de colisão restringindo a dois canais (incidente e espalhado) as possibilidades de arranjo do sistema.

1.9 As funções de onda. Para obter a matriz T<sup>RPA</sup> precisamos calcular os orbitais de partícula única Hartree-Fock (HF) para o sistema de N+1 partículas eletron do contínuo e átomo de Mg, na aproximação do caroço congelado.

Em nosso cálculo não levamos em conta os efeitos de spin órbita e relativístico.

1. O alvo. Os orbitais do estado fundamental foram obtidos através de um cálculo auto-consistente HF. O orbital 3p para os estados excitados  $3^1P$  e  $3^3P$  foram obtidos na aproximação HF de caroço congelado, isto é, mantendo-se os orbitais calculados para o estado fundamental  $1s, 2s, 2p$  e  $3s$  inalterados.

O método HF é uma aproximação de partícula única onde a função de onda anti-simetrizada é escrita na forma de um determinante de Slater (Slater, I, 1960). As funções de partícula única são separadas em parte radial parte angular e parte de spin (Fischer 1977 , p. 9, 10):

$$\psi_{n_l m_l m_s}(\mathbf{r}) = \frac{1}{r} P_{nl}(r) Y_l^{m_l}(\theta, \phi) \chi_{m_s}^{1/2}(\sigma) \quad 1.31$$

onde  $\frac{1}{r} P_{nl}(r)$  é a parte radial ,  $Y_l^{m_l}(\theta, \phi)$  é a função esférico-harmônico, auto-função do momento angular orbital  $L^2$  e sua projeção  $L_z$  e  $\chi_{m_s}^{1/2}(\sigma)$ é a função de spin do eletron , cuja projeção é  $m_s$  em  $S_z$ .

Os esféricos-harmônicos e as funções de spin são bem conhecidas. A única parte do spin-orbital que não conhecemos é a parte radial  $\frac{1}{r} P_{nl}(r)$ .

Para obter  $P_{nl}$  inicialmente escrevemos a energia do multipleto (Slater (1960), v 1, c.12-14). A Hamiltônica do átomo é:

$$\mathcal{H} = -\frac{1}{2} \sum_{i=1}^N \left( \nabla_i^2 + \frac{2Z}{r_i} \right) + \sum_{i>j} \frac{1}{r_{ij}} \quad 1.32$$

onde  $\nabla_i^2$  é o laplaciano para a coordenada  $i$ ,  $Z$  o número de protões do átomo e  $|\vec{r}_i - \vec{r}_j| = r_{ij}$  a distância entre os elétrons de coordenadas  $i$  e  $j$ . A energia de um estado pode ser escrita em termos das integrais  $R^K$  de Slater, definidas como:

$$R^K(\alpha\beta, \alpha'\beta') = \int_0^\infty \int_0^\infty P_\alpha(r) P_\beta(r') \frac{r_c^K}{r_s^{K+1}} P_{\alpha'}(r) P_{\beta'}(r') dr dr' \quad 1.33$$

onde  $r_c$  é o valor máximo entre  $r$  e  $r'$  e  $r_s$  o mínimo entre  $r$  e  $r'$ , onde além disso

$$R^K(\alpha\beta, \alpha\beta) = F^K(\alpha\beta)$$

$$R^K(\alpha\beta, \beta\alpha) = G^K(\alpha\beta) \quad 1.34$$

Definimos também

$$\frac{1}{r} Y^K(\alpha\beta|r) = \int_0^\infty P_\alpha(r') \frac{r_c^K}{r_s^{K+1}} P_\beta(r') dr' \quad 1.35$$

Com as expressões da energia total do estado escrita em termos das integrais  $R^K$ , aplicamos o princípio variacional para buscar a mínima energia (apêndice B).

Obtemos então as equações para os orbitais ligados:

## 1. Orbitais ns do estado fundamental:

$$\left[ \frac{d^2}{dr^2} + \frac{2}{r} \left( 12 - 2 \sum_{n \neq n'} \frac{Y^0(n's'ns'|\Gamma)}{\langle n's'ns' \rangle} - \frac{Y^0(ns'ns'|\Gamma)}{\langle ns'ns' \rangle} - \frac{6Y^0(2p2p'|\Gamma)}{\langle 2p12p \rangle} \right) - \epsilon_{ns} \right] P_{ns}(r) = \\ = -\frac{2}{r} \left[ \sum_{n \neq n'} \frac{Y^0(ns'ns'|\Gamma)P_{ns}(r)}{\langle n's'ns' \rangle} + \frac{Y^1(2p2p'|\Gamma)P_{2p}(r)}{\langle 2p12p \rangle} \right] \quad 1.36$$

onde

$$\langle n'e|m'e' \rangle = \int_0^\infty P_{ne}(r) P_{m'e'}(r) dr = \delta_{ne'm'e'} \quad 1.37$$

## 2. Orbital 2p do estado fundamental:

$$\left[ \frac{d^2}{dr^2} + \frac{2}{r} \left( 12 - 2 \sum_{n=1}^3 \frac{Y^0(nsns'|\Gamma)}{\langle ns'ns \rangle} - 5 \frac{Y^0(2p2p'|\Gamma)}{\langle 2p12p \rangle} + 2/5 \frac{Y^2(2p2p'|\Gamma)}{\langle 2p12p \rangle} \right) - \epsilon_{2p} - \frac{2}{r^2} \right] P_{2p}(r) = \\ = -\frac{2}{r} \left[ \frac{1}{3} \sum_{n=1}^3 \frac{Y^1(ns2p'|\Gamma)P_{ns}(r)}{\langle ns'ns \rangle} \right] \quad 1.38$$

## 3. Orbital 3p do estado excitado:

$$\left[ \frac{d^2}{dr^2} + \frac{2}{r} \left( 12 - 2 \sum_{n=1}^2 \frac{Y^0(nsns'|\Gamma)}{\langle ns'ns \rangle} - 6 \frac{Y^0(2p2p'|\Gamma)}{\langle 2p12p \rangle} - Y^0(3p3p'|\Gamma) - \frac{2}{r^2} \right) - \epsilon_{3p} \right] P_{3p}(r) = \\ = -\frac{2}{r} \left[ \sum_{n=1}^2 \frac{Y^1(ns3p'|\Gamma)P_{ns}(r)}{\langle ns'ns \rangle} + \frac{Y^0(2p3p'|\Gamma)P_{2p}(r)}{\langle 2p12p \rangle} - \frac{2}{5} \frac{Y^2(2p3p'|\Gamma)P_{2p}(r)}{\langle 2p12p \rangle} \right. \\ \left. - \frac{1}{6} \frac{Y^1(3p3p'|\Gamma)P_{3p}(r)}{\langle 3p13p \rangle} + \frac{1}{3} (-1)^5 \frac{Y^1(3p3p'|\Gamma)P_{3p}(r)}{\langle 3p13p \rangle} \right] + \epsilon_{3p} P_{3p} \quad 1.39$$

onde  $\mathcal{E}_{2p3p}$  é o multiplicador de Lagrange para garantir a ortogonalidade entre  $\langle 3p\ 12p \rangle$ . Para obter  $\mathcal{E}_{2p3p}$  basta multiplicar 1.39 por  $P_{2p}(r)$  e integrar de zero até o infinito, explicitando  $\mathcal{E}_{2p3p}$ :

$$\begin{aligned} \mathcal{E}_{2p3p} &= \int_0^\infty P_{2p}(r) \left[ \frac{\alpha^2}{dr^2} + \frac{24}{r} - \frac{2}{r^2} \right] P_{3p}(r) dr - 4 \sum_{n=1}^2 R^0(n_2 2p\ n_3 3p) - 10 R^0(2p\ 2p\ 3p\ 2p) - 2 R^0(3p\ 2p\ 3p\ 3p) \\ &+ 2 \sum_{n=1}^2 R^1(n_2 2p\ 3p\ n_3) - 4/5 R^2(2p\ 2p\ 3p\ 2p) - \frac{1}{3} R^1(3p\ 3p\ 2p\ 3p) + \frac{2(-1)^3}{3} R^1(3p\ 3p\ 2p\ 3p) \end{aligned} \quad 1.40$$

2. Funções de Onda do Contínuo: De maneira análoga os orbitais do contínuo são calculados na aproximação HF. Aqui a função de onda do eletron do contínuo é escrita na base de operadores  $H$ ,  $L^2$ ,  $L_z$ ,  $S^2$  e  $S_z$ . Para o eletron incidente na direção  $\hat{z}$ , com momento linear  $\vec{p}$  na região assintótica, a expansão em ondas parciais produz a fórmula:

$$\begin{aligned} f_{\vec{p} m_s}^{(+)\text{HF}}(x) &= \frac{\sqrt{4\pi}}{pr} \sum_{l=0}^{\infty} i^l e^{i\delta_l(p)} P_{pl}(r) Y_l^0(\theta\phi) X_{m_s}^{1/2}(\sigma) \sqrt{2l+1} \quad 1.41 \\ &= f_{\vec{p}}^{(+)\text{HF}}(\vec{r}) X_{m_s}^{1/2}(\sigma) \end{aligned}$$

e para o eletron espalhado, com momento linear  $\vec{q}$  na região assintótica e com simetria de rotação ao redor de  $\vec{q}$ , encontramos:

$$\begin{aligned} f_{\vec{q} m_s'}^{(-)\text{HF}}(x) &= \frac{4\pi}{qr} \sum_{l=0}^{\infty} \sum_{m_l=-l}^l i^l e^{-i\delta_l(q)} P_{ql}(r) Y_l^{m_l}(\theta\phi) Y_l^{m_l}(\Omega_q) X_{m_s'}^{1/2}(\sigma) \quad 1.42 \\ &= f_{\vec{q}}^{(-)\text{HF}}(\vec{r}) X_{m_s'}^{1/2}(\sigma) \end{aligned}$$

onde  $\delta_l(k)$  é o deslocamento de fase da  $l$ -ésima onda parcial, com energia  $E = k^2/2$  e  $\Omega_q$  é o ângulo esférico na direção de  $\vec{q} \cdot (\mathbf{e}_\theta \phi_\theta)$  com  $\phi_\theta = 0$ .

Os orbitais  $f_{\vec{p} m_s}^{(+)\text{HF}}(x)$  e  $f_{\vec{q} m_s'}^{(-)\text{HF}}(x)$  são calculados no campo do estado fundamental. Para obter as funções  $P_{pl}(r)$  e  $P_{ql}(r)$ , escrevemos a energia do sistema total, cuja configuração é  $(1s^2 2s^2 2p^6) 3s^2 kl^1 : {}^2L$  em termos das integrais  $R^k$  e aplicamos o princípio variacional. Assim obtemos a equação para  $P_{kl}(r)$  que é (apêndice C):

$$\left[ \frac{d^2}{dr^2} + \frac{2}{r} \left( 12 - 2 \sum_{n=1}^3 \frac{Y^0(n\lambda n\lambda l\Gamma)}{\langle n\lambda n\lambda \rangle} - 6 \frac{Y^0(2p_2p_1\Gamma)}{\langle 2p_1 2p \rangle} \right) + \frac{\ell(\ell+1)}{r^2} - E \right] P_{ke}(r) = 0 \quad 1.43$$

$$= -\frac{2}{r} \left[ 6 \sum_{j=1, \ell+1}^{\ell+2} g_j(p_e) \frac{Y^0(2p_ke_1\Gamma)}{\langle 2p_1 2p \rangle} P_{2p}(r) + \frac{1}{2\ell+1} \sum_{n=1}^3 \frac{Y^0(n\lambda ke_1\Gamma)}{\langle n\lambda n\lambda \rangle} P_{n\lambda}(r) \right]$$

onde o coeficiente  $g_j(p_e)$  é dado por (Sobelman p. 124):

$$g_j(p_e) = -\frac{3 \max(l, j)}{(2\ell+1)(2j+1)} \quad 1.44$$

e onde  $\max(l, j)$  é o valor máximo entre  $\ell$  e  $j$ .

3. Comportamento assintótico. Considerando uma onda parcial distorcida de momento angular  $l$  e energia  $k^2/2$ , observamos que para  $r \gg r_0$ , onde  $r_0$  é o raio atômico médio (p.ex.  $r = 25a_0$ ), o potencial de distorção é muito próximo de zero e 1.43 se reduz à:

$$\left[ \frac{d^2}{dr^2} + \frac{\ell(\ell+1)}{r^2} - \frac{k^2}{2} \right] P_{ke}(r) = 0 \quad 1.45$$

As soluções desta equação são funções esféricas de Bessel e Neuman,  $J_\ell(kr)$  e  $\eta_\ell(kr)$  respectivamente vezes  $kr$ , ou combinações lineares destas funções.

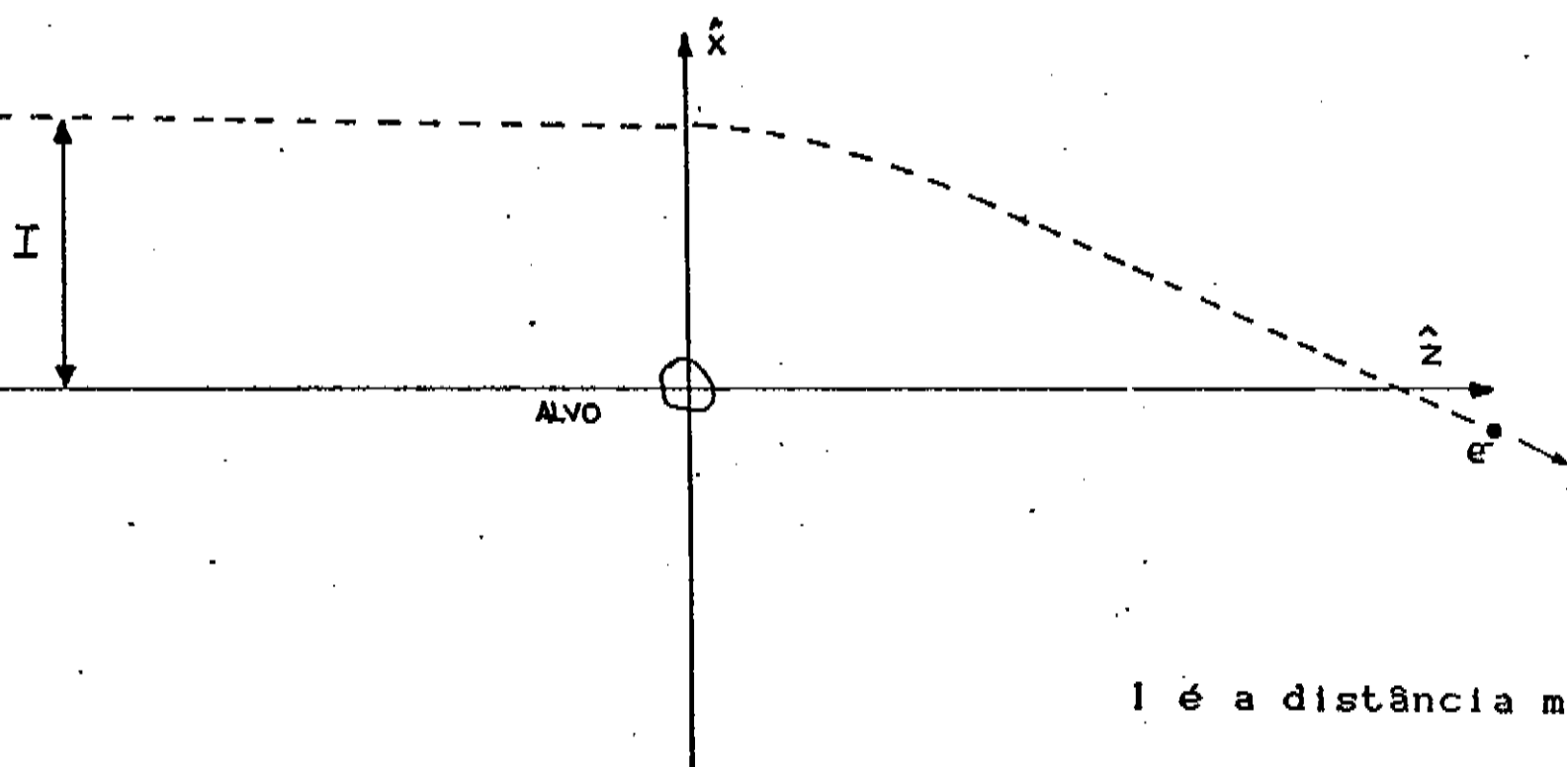
Segue que a fórmula assintótica das ondas do contínuo (Jochain, 1975, p. 87) é:

$$P_{ke}(r) \underset{r \gg r_0}{=} kr \left[ \cos \delta_e(kr) J_\ell(kr) - \sin \delta_e(kr) \eta_\ell(kr) \right] \quad 1.46$$

4. Deslocamento de Fase. O deslocamento de fase é uma boa medida da distorção da onda parcial. Observamos que a medida que o momento angular aumenta para uma dada energia, o valor do deslocamento de fase diminui, com poucas excessões. Isto pode ser compreendido pelo fato de que quando  $l$  aumenta, o parâmetro de impacto clássico também aumenta, ou seja:

$$I = \sqrt{Q(l+1)} / k \quad 1.47$$

de maneira que a interação eletron-átomo diminui. A figura abaixo esquematiza este fenômeno:



$I$  é a distância mínima.

Por causa disso quanto maior o valor de  $I$  menor será a distorção da onda parcial.

No limite de energia zero, o teorema de Levinson (Joachain, 1975, p. 218) prevê que o número  $N_\lambda$  de estados ligados, orbitais, com o mesmo valor de momento angular orbital  $\lambda$  da onda do contínuo considerada, está relacionado com  $\delta_\lambda (\frac{k^2}{2}=0)$  por:

$$\delta_\lambda (\frac{k^2}{2}=0) = N_\lambda \pi \quad 1.48$$

Assim para o Mg 3<sup>1</sup>S temos:

$\lambda$	$N_\lambda$	$\delta_\lambda (\epsilon=0) \text{ (rad)}$
0	3	$3\pi$
1	1	$\pi$
2...	0	0

5. Multiconfiguração. Um cálculo multiconfiguracional do estado fundamental do átomo de Magnésio foi realizado para avaliar o efeito de correlação entre os elétrons na função de onda do alvo. Trata-se de uma aproximação auto-consistente HF onde a função de onda do sistema é escrita como uma combinação linear do tipo:

$$\Psi_{\alpha}^{MCNF} (\alpha LS) = \sum_{\beta_i} \omega_{\beta_i} \Psi(\beta_i LS) \quad 1.50$$

e cuja energia total fica escrita:

$$E^{MCNF} (\alpha LS) = \vec{\omega}^\dagger H_m \vec{\omega} \quad 1.51$$

onde

$$\vec{\omega} = \begin{bmatrix} \omega_1 \\ \omega_2 \\ \vdots \\ \omega_N \end{bmatrix} \quad \text{e} \quad H_M = \begin{bmatrix} H_{11} & H_{12} & \cdots & H_{1N} \\ H_{21} & H_{22} & & \vdots \\ \vdots & & & \\ H_{N1} & \cdots & & H_{NN} \end{bmatrix}$$

e  $H_{ij} = \langle \Psi(\beta_i LS) | H | \Psi(\beta_j LS) \rangle$ , onde  $H$  é a Hamiltoniana, e desta forma o ciclo auto-consistente calcula além da função de onda e parâmetros também os coeficientes de mistura  $\omega_{\beta i}$ .

Para o Mg, Van Blerkom (Van Blerkom 1970) e R. Zare (Zare 1967) calcularam os coeficientes de mistura para o estado fundamental do Mg. Num cálculo do tipo CI, onde se permite apenas a variação dos coeficientes de mistura, mas não os orbitais, foram obtidos os seguintes resultados:

configuração	( )3s <sup>2</sup>	( )3p <sup>2</sup>
Zare (1967)	0.972	0.206
Van Blerkom(1970)	0.977	0.214

As configurações com  $\omega_{\beta} < 0.1$  não foram consideradas por nós, e por isso não estão na tabela.

Assim para o Mg consideramos somente as configurações ( )3s<sup>2</sup>: 3<sup>1</sup>S e ( )3p<sup>2</sup>: 3<sup>1</sup>S. Conforme o apêndice D a interação entre configurações neste caso é:

$$\langle 3s^2: 3^1S | H | 3p^2: 3^1S \rangle = -1/\sqrt{3} G^1(3s3p)$$

Na secção 2.1 fazemos o cálculo numérico Multiconfiguracional.

6. Ortogonalidade. A importância de termos orbitais de partícula única do contínuo ortogonais entre si e com os orbitais do alvo foi apontada primeiramente por Madison e Shelton (1973) que observaram através da utilização da aproximação por ondas distorcidas para o espalhamento inelástico eletrônico pelo alvo de He ( $1^1S+2^1S$ ) que as condições de ortogonalidade determinam fortemente o formato das SCD.

Como nossa fórmula para a matriz T é semelhante a fórmula da aproximação por ondas distorcidas, a ortogonalidade entre os orbitais também deve ser importante em nosso caso.

No apêndice E fazemos um estudo da ortogonalidade entre as funções de onda e verificamos que as funções do contínuo são ortogonais entre si e com os orbitais do Mg  $3^1S$ . Os orbitais do Mg são ortogonais entre si por que para o estado fundamental temos uma camada fechada e para o estado excitado, por causa das condições dos multiplicadores de Lagrange. A única ortogonalidade que não obtivemos foi entre os orbitais  $P_{kp}(r)$  ( $l=1$ ) e os orbitais  $P_{3p}(r)$  do alvo, já que estes não entram no cálculo das ondas do contínuo.

Gy. Csanak demonstrou (Csanak 1974) que em TMC a condição

$$\langle \Psi_{n\vec{q}}^{(+)} | \Psi_{0\vec{p}}^{(+)} \rangle = \delta_{n0} \delta_{\vec{p}\vec{q}} \quad 1.53$$

é satisfeita. Aqui  $\Psi_{n\vec{q}}^{(+)}$  e  $\Psi_{0\vec{p}}^{(+)}$  são as funções de onda do sistema átomo mais eletron do contínuo nos estados excitado ( $n$ ) com eletron com momento linear  $\vec{q}$  e no estado fundamental ( $0$ ) com o eletron do contínuo

com momento linear  $\vec{p}$ , com mesma condição de contorno. Do ponto de vista da Teoria geral de espalhamento esta é a única condição de ortogonalidade que as funções do sistema devem obedecer.

**1.10 Obtenção da Matriz  $T^{RPA}$ .** Como vimos, a equação 1.26 fornece a matriz  $T^{RPA}$  em termos da matriz densidade de transição  $X_n^{RPA}$  (Eq. 1.27) e dos orbitais de Feynman-Dyson  $f_{KMS}^{(\pm)}(x)$ . Na secção anterior vimos como obter  $f_{pMS}^{(+)\text{HF}}$  e  $f_{qMS'}^{(-)\text{HF}}$  e as funções  $\psi_p$  e  $\psi_q$ . Nesta secção vamos fazer a análise de momento angular e spin de  $T^{RPA}$ .

A matriz densidade de transição na aproximação HF fica (apêndice A):

$$X_n^{\text{HF}}(x_1, x_2) = \langle \psi_{(1)3s3p;3^1P}^N | \psi^+(x_1) \psi(x_2) | \psi_{(1)3s;3^1S}^N \rangle \\ = \frac{1}{r_1} P_{3P}^{\text{HF}}(r_1) Y_{1^1P}^*(\Omega_1) \frac{1}{r_2} P_{3S}^{\text{HF}}(r_2) Y_0^*(\Omega_2) \xi^{S\text{MS}}(\sigma_1, \sigma_2) \quad 1.54$$

Nesta equação  $\xi^{S\text{MS}}(\sigma_1, \sigma_2)$  é a parte de spin e vale:

Para  $S=0, MS=0$ :

$$\xi^{00}(\sigma_1, \sigma_2) = \frac{1}{\sqrt{2}} (\chi_{+1/2}^{1/2}(\sigma_1) \chi_{-1/2}^{1/2}(\sigma_2) - \chi_{-1/2}^{1/2}(\sigma_1) \chi_{+1/2}^{1/2}(\sigma_2)) \quad 1.55$$

Para  $S=1, MS=0, \pm 1$ :

$$\xi^{1z}(\sigma_1, \sigma_2) = -\chi_{+1/2}^{1/2}(\sigma_2) \chi_{-1/2}^{1/2}(\sigma_1) \quad 1.56$$

$$\xi^{10}(\sigma_1, \sigma_2) = \frac{1}{\sqrt{2}} (\chi_{+1/2}^{1/2}(\sigma_1) \chi_{-1/2}^{1/2}(\sigma_2) - \chi_{+1/2}^{1/2}(\sigma_2) \chi_{-1/2}^{1/2}(\sigma_1)) \quad 1.57$$

$$\xi''(\sigma_1, \sigma_2) = \chi_{-1/2}^{1/2}(\sigma_2) \chi_{+1/2}^{1/2}(\sigma_1) \quad 1.58$$

2. Análise de Spin da matriz T : Usando 1.26, 1.54, a matriz T fica:

$$\begin{aligned} T^{RPA} = & i \int dx_1 dx_2 f_{Q^{MS}}^{(-)HF^*}(x_2) f_{P^{MS}}^{(+)\text{HF}}(x_2) \frac{1}{r_{12}} \frac{1}{r_1} P_{3p}^{\text{HF}}(r_1) Y_1^{3p*}(\Omega_1) \frac{1}{r_1} P_{3s}^{\text{HF}}(r_1) Y_0^0(\Omega_1) E^{SMS}(\sigma_1 \sigma_1) \\ & - i \int dx_1 dx_2 f_{Q^{MS}}^{(-)HF^*}(x_1) f_{P^{MS}}^{(+)\text{HF}}(x_1) \frac{1}{r_{12}} \frac{1}{r_2} P_{3p}^{\text{HF}}(r_2) Y_1^{3p*}(\Omega_2) \frac{1}{r_2} P_{3s}^{\text{HF}}(r_2) Y_0^0(\Omega_2) E^{SMS}(\sigma_2 \sigma_1) \end{aligned} \quad 1.59$$

Realizando as somas 1.59 nas coordenadas de spin  $\sigma_1$  e  $\sigma_2$ , obtemos para o caso singlet ( $3^1S \rightarrow 3^1P$ ):

$$T_{n_0}^{S=0} = \frac{1}{\sqrt{2}} (2T^D - T^E) \delta_{MSMS'} \quad 1.60$$

e para o caso triplet ( $3^1S \rightarrow 3^3P$ ):

$$T_{n_0}^{S=1} = T^E S_{1MS}^E \quad 1.61$$

onde  $S_{1MS}^E$  é calculado no apêndice F e vale:

$$S_{1-1}^E = \delta_{MS-1/2 MS' 1/2}$$

$$S_{10}^E = \frac{1}{\sqrt{2}} (\delta_{MS-1/2} \delta_{MS'-1/2} - \delta_{MS1/2} \delta_{MS'1/2})$$

$$S_{1+1}^E = \delta_{MS1/2} \delta_{MS'-1/2} \quad 1.62$$

e  $T^D$  e  $T^E$  são as matrizes T direta e de troca definidas por:

$$T^D = \int d\vec{r}_1 d\vec{r}_2 f_{\vec{q}}^{(-)HF^*}(\vec{r}_2) f_{\vec{p}}^{(+)\text{HF}}(\vec{r}_2) \frac{1}{r_{12}} \frac{1}{r_1} P_{3p}(r_1) Y_1^{3p*}(\Omega_1) \frac{1}{r_1} P_{3s}(r_1) Y_0^0(\Omega_1) \quad 1.63$$

$$T^E = \int d\vec{r}_1 d\vec{r}_2 f_{\vec{q}}^{(-)HF^*}(\vec{r}_1) f_{\vec{p}}^{(+)\text{HF}}(\vec{r}_1) \frac{1}{r_{12}} \frac{1}{r_2} P_{3p}(r_2) Y_1^{3p*}(\Omega_2) \frac{1}{r_2} P_{3s}(r_2) Y_0^0(\Omega_2) \quad 1.64$$

Usando a regra de ouro de Fermi, obtemos a SCD conforme 1.3a:

$$\sigma^S(E, \theta) = \frac{1}{4\pi} \frac{|\vec{q}|}{|\vec{p}|} \frac{1}{2} \sum_{m_3 p} \sum_{m_S m_S'} |T_{no}^{RPA}|^2 \quad 1.65$$

Assim, para o caso Singlet obtemos:

$$\begin{aligned} \sigma^{S=0}(E, \theta) &= \frac{1}{4\pi} \frac{|\vec{q}|}{|\vec{p}|} \frac{1}{2} \sum_{m_3 p} \sum_{m_S m_S'} |2T^D - T^E|^2 \delta_{m_S m_S'} \\ &= \frac{1}{4\pi} \frac{|\vec{q}|}{|\vec{p}|} \frac{1}{2} \sum_{m_3 p} |2T^D - T^E|^2 \end{aligned} \quad 1.66$$

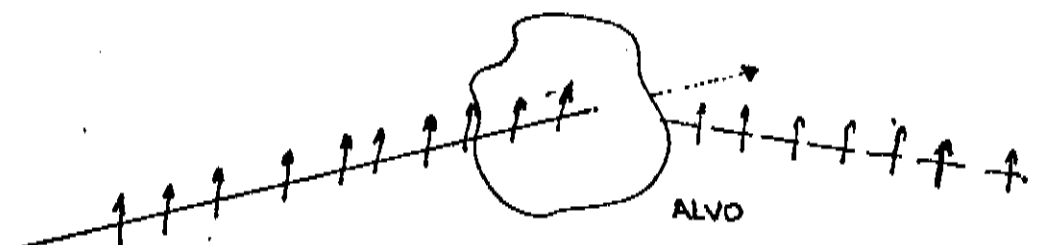
e para o caso Triplet obtemos

$$\begin{aligned} \sigma^{S=1}(E, \theta) &= \frac{1}{4\pi} \frac{|\vec{q}|}{|\vec{p}|} \frac{1}{2} \sum_{m_3 p} \sum_{m_S m_S'} |T^E|^2 |S^{MS}|^2 \\ &= \frac{1}{4\pi} \frac{|\vec{q}|}{|\vec{p}|} \frac{1}{2} \sum_{m_3 p} \sum_{m_S m_S'} |T^E|^2 (\delta_{m_S - \frac{1}{2}}^2 \delta_{m_S' + \frac{1}{2}}^2 + \frac{1}{2} (\delta_{m_S m_S'}^2) + \delta_{m_S + \frac{1}{2}}^2 \delta_{m_S' - \frac{1}{2}}^2) \\ &= \frac{1}{4\pi} \frac{|\vec{q}|}{|\vec{p}|} \frac{1}{2} \sum_{m_3 p} (1+1+1) |T^E|^2 \\ &= \frac{1}{4\pi} \frac{|\vec{q}|}{|\vec{p}|} \frac{3}{2} \sum_{m_3 p} |T^E|^2 \end{aligned} \quad 1.67$$

Notamos pelas fórmulas 1.60 e 1.62 que para a transição  $3^1S \rightarrow 3^1P$ , a projeção do spin do eletron incidente não troca de sinal quando o eletron é espalhado. Já no caso  $3^1S \rightarrow 3^3P$  pode ocorrer uma mudança no valor da projeção, que chamamos de spin-flip.

A experiência de se fazer incidir um feixe onde são selecionados spins para cima, resultará num feixe espalhado onde os spins são para cima no caso da transição  $3^1S \rightarrow 3^1P$ . Isto é consequência da conservação do spin do sistema, isto é se o estado final do átomo tem projeção de spin total zero, igual ao estado inicial  $3^1S$ , então não ocorre spin-flip. Se o estado final tiver projeção de spin  $\pm 1$ , então ocorre spin-flip. Abaixo está esquematizada a experiência de fazer passar um

feixe polarizado com excitação do estado  $3^1P$ .



A matriz  $T^e$  de troca tem esse nome porque a coordenada do elétron do contínuo no canal incidente é a mesma que a coordenada do elétron do alvo no canal espalhado. Isto é uma consequência de que os elétrons são fermions e que portanto segundo a estatística de Fermi-Dirac sua função de onda deve ser anti-simétrica, surgindo o termo de troca.

**3. Análise de Momento Angular.** Expandindo  $f_q^{LHC}(\vec{r})$  e  $f_p^{(+)HF}(\vec{r})$  em ondas parciais conforme 1.41 e 1.42, e fazendo a expansão de  $1/r_{12}$  em esféricos-harmônicos obtivemos  $T^D$  e  $T^e$  em termos de integrais  $R^k$ , esféricos-harmônicos e símbolos  $3j$ .

Assim (Apêndice G):

$$T^D(E, \theta) = \frac{1}{pq} \frac{(4\pi)^{3/2}}{\sqrt{3}} \sum_{e=0}^{\infty} \sum_{\substack{e'=l-e-1,2 \\ e' \geq m_{3p}}}^{e+1} Q^{i((\delta_e(p) + \delta_{e'}(q)) + i(e-e')\pi/2)} Y_{e'}^{-m_{3p}}(\Omega_q) \hat{\ell}^2 \hat{\ell}'$$

$$\begin{pmatrix} e' & e & 1 \\ m_{3p} & 0 & -m_{3p} \end{pmatrix} \begin{pmatrix} e' & e & 1 \\ 0 & 0 & 0 \end{pmatrix} R^1(p_e 3s; q_{e'} 3p) \quad 1.68$$

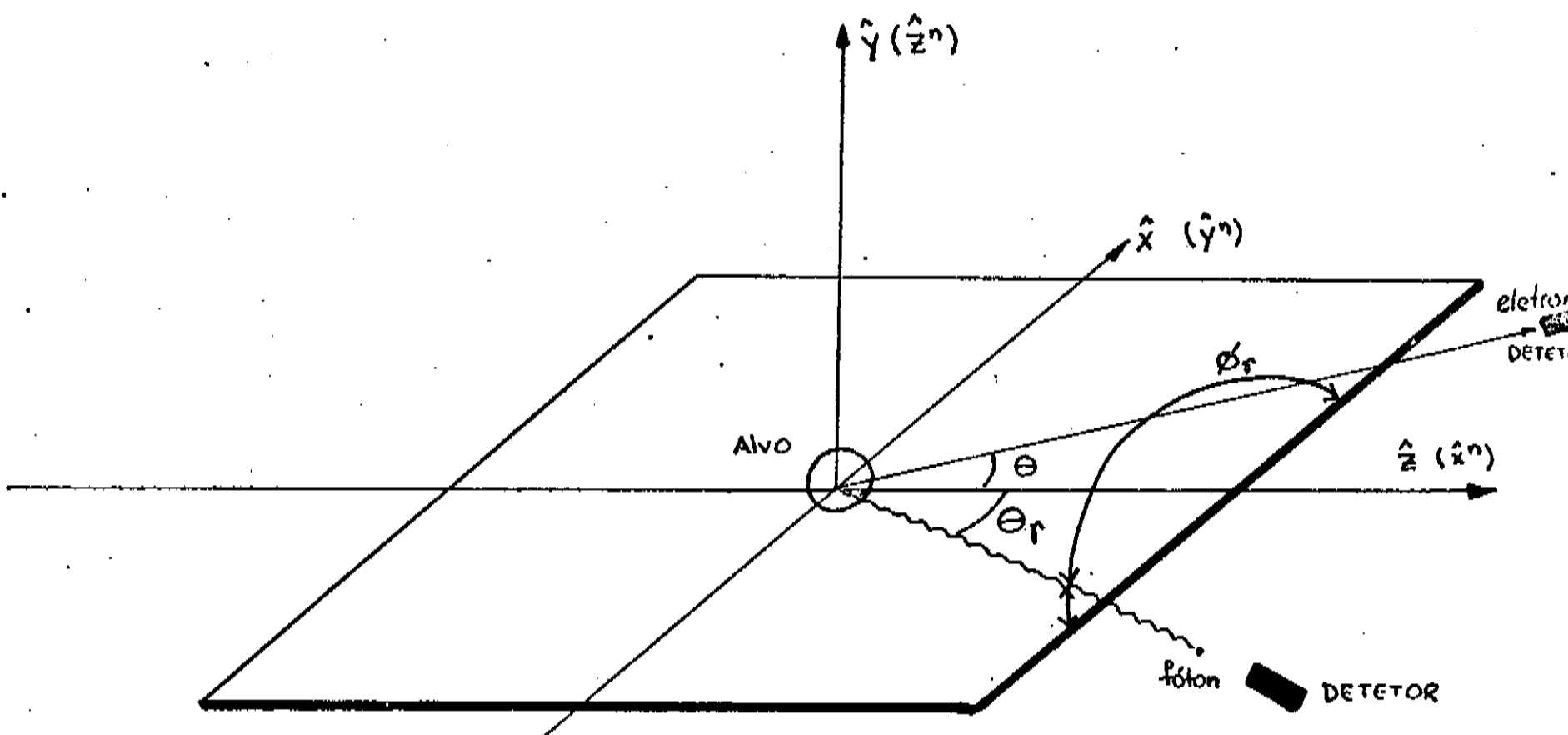
onde  $\hat{\ell} \equiv (2e+1)^{1/2}, \hat{\ell}' \equiv (2e'+1)^{1/2}$

$$T^e(E, \theta) = \frac{1}{pq} (4\pi)^{3/2} \sum_{e=0}^{\infty} \sum_{\substack{e'=l-e-1,2 \\ e' \geq m_{3p}}}^{e+1} Q^{i((\delta_e(p) + \delta_{e'}(q)) + i(e-e')\pi/2)} \frac{\hat{\ell}^2 \sqrt{3} Y_{e'}^{m_{3p}}(\Omega_q)}{\hat{\ell}'} \begin{pmatrix} e' & e & 1 \\ m_{3p} & 0 & -m_{3p} \end{pmatrix} \begin{pmatrix} e' & e & 1 \\ 0 & 0 & 0 \end{pmatrix} R^{e'}(p_e 3s, q_{e'} 3p) \quad 1.69$$

A obtenção de 1.68 e 1.69 dependem da realização das integrais  $R^k$ . O principal trabalho computacional é feito em função destas integrais. Isto é, obter os orbitais HF do alvo e do espalhamento e realizar as integrais, conhecidas como integrais de dois eletrons.

**1.11 Correlação eletron-fóton - Dinâmica do processo opticamente permitido.** Nesta secção, nós discutimos a parte teórica dos experimentos de correlação eletron-fóton e a dinâmica do estado excitado e do processo de colisão. Consideramos a colisão inelástica de um eletron com um átomo de Mg, na qual este é excitado ao estado  $3^1P$  o qual subsequentemente decai por emissão de um fóton ( $2852 \text{ \AA}$ ) novamente ao estado fundamental. Observando os fótons emitidos em coincidência com os eletros espalhados, muita informação sobre as amplitudes de espalhamento (e sobre a matriz T) podem ser obtidas. (Este ponto de vista foi primeiramente enfatizado por Macek e Jaecks 1971).

Um diagrama deste processo é descrito na figura abaixo:



onde  $\Theta_f$  é o ângulo entre a trajetória do fóton e o eixo  $\hat{z}$  de simetria (Este sistema de coordenadas é chamado sistema de colisão ).

## Descrição do fenômeno

De um ponto de vista de mecânica quântica geral, por causa da independência do spin, podemos descrever o estado excitado como uma função  $|\Psi(3^P)\rangle$  que é uma superposição linear de subestados magnéticos na forma:

$$|\Psi(3^P)\rangle = \int_{ML=-1} f_{ML=-1} |\Psi(3^P ML=-1)\rangle + \int_{ML=0} f_{ML=0} |\Psi(3^P ML=0)\rangle + \int_{ML=1} f_{ML=1} |\Psi(3^P ML=1)\rangle \quad 1.70$$

onde as amplitudes  $f_{ML}$  estão relacionadas com a matriz  $T^{ML}$  (explicitamos a dependência em  $ML$ ) pela fórmula:

$$T^{ML} = 2\pi f_{ML} \quad 1.71$$

(Esta escolha faz com que a norma de  $|\Psi\rangle$  seja  $\sigma(\theta, E)$ ). Com estas amplitudes podemos escrever a matriz densidade  $\rho$  do estado excitado.

Os elementos de matriz  $\rho_{MLML'}$  são escritos como:

$$\rho_{MLML'} = f_{ML}^* f_{ML'} \quad 1.72$$

Os termos diagonais de  $\rho$  são as SCD para excitação do subnível magnético ( $\sigma^{ML}$ ) (ver eq. 1.3 e 1.71) e o traço de  $\rho$  é a SCD, ou seja:

$$\sigma(\theta, \epsilon) = \sum_{ML=-1}^1 \sigma^{ML}(\theta, \epsilon) = \text{Tr} \rho. \quad 1.73$$

O número de termos independentes em  $\rho$  representa o número de medidas independentes necessárias para uma completa descrição da matriz de densidade e portanto do estado excitado e consequente decaimento.

Considerando a simetria de reflexão do estado excitado obtemos (Blum e Kleinpoppen, 1979):

$$f_{ML=1} = - f_{ML=-1} \quad 1.74$$

Esta simplificação faz com que a matriz densidade  $\rho$  possa ser determinada por um número de três parâmetros. Assim:

$$\rho = \begin{pmatrix} f_{-1}^* f_{-1} & f_{-1}^* f_0 & f_{-1}^* f_1 \\ f_0^* f_{-1} & f_0^* f_0 & f_0^* f_1 \\ f_1^* f_{-1} & f_1^* f_0 & f_1^* f_1 \end{pmatrix} = \begin{pmatrix} f_1^* f_1 & -f_1^* f_0 & -f_1^* f_1 \\ -f_0^* f_1 & f_0^* f_0 & f_0^* f_1 \\ -f_1^* f_1 & f_1^* f_0 & f_1^* f_1 \end{pmatrix}$$

1.75

e fazendo

$$\lambda = \frac{f_0^* f_0}{\text{Tr} \rho} = \frac{\sigma^{ML=0}(\theta, \epsilon)}{\sigma(\theta, \epsilon)} \quad 1.76$$

a razão entre as SCD para excitação de  $ML=0$  e SCD total é

$$\chi = \text{Arg } f_1 - \text{Arg } f_0 \quad 1.77$$

a fase complexa relativa entre  $f_1$  e  $f_0$  reescrevemos  $\rho$ :

$$\rho = \sigma(\theta, E) * \begin{pmatrix} \frac{1-\lambda}{2} & -\frac{[\lambda(1-\lambda)]^{1/2}}{\sqrt{2}} e^{-ix} & -\left(\frac{1-\lambda}{2}\right) \\ -\frac{[\lambda(1-\lambda)]^{1/2}}{\sqrt{2}} e^{ix} & \lambda & \frac{[\lambda(1-\lambda)]^{1/2}}{\sqrt{2}} e^{ix} \\ -\left(\frac{1-\lambda}{2}\right) & \frac{[\lambda(1-\lambda)]^{1/2}}{\sqrt{2}} e^{ix} & \frac{1-\lambda}{2} \end{pmatrix} \quad 1.78$$

ou seja determinando a fase  $\chi$  e os fatores  $\sigma$  e  $\lambda$  determinamos completamente  $\rho$ .

Concluímos assim que três informações experimentais determinam  $\rho$ . A primeira é a SCD  $\sigma(\theta, E)$ . Resta determinar  $\lambda$  e  $\chi$  ou um conjunto equivalente de parâmetros.

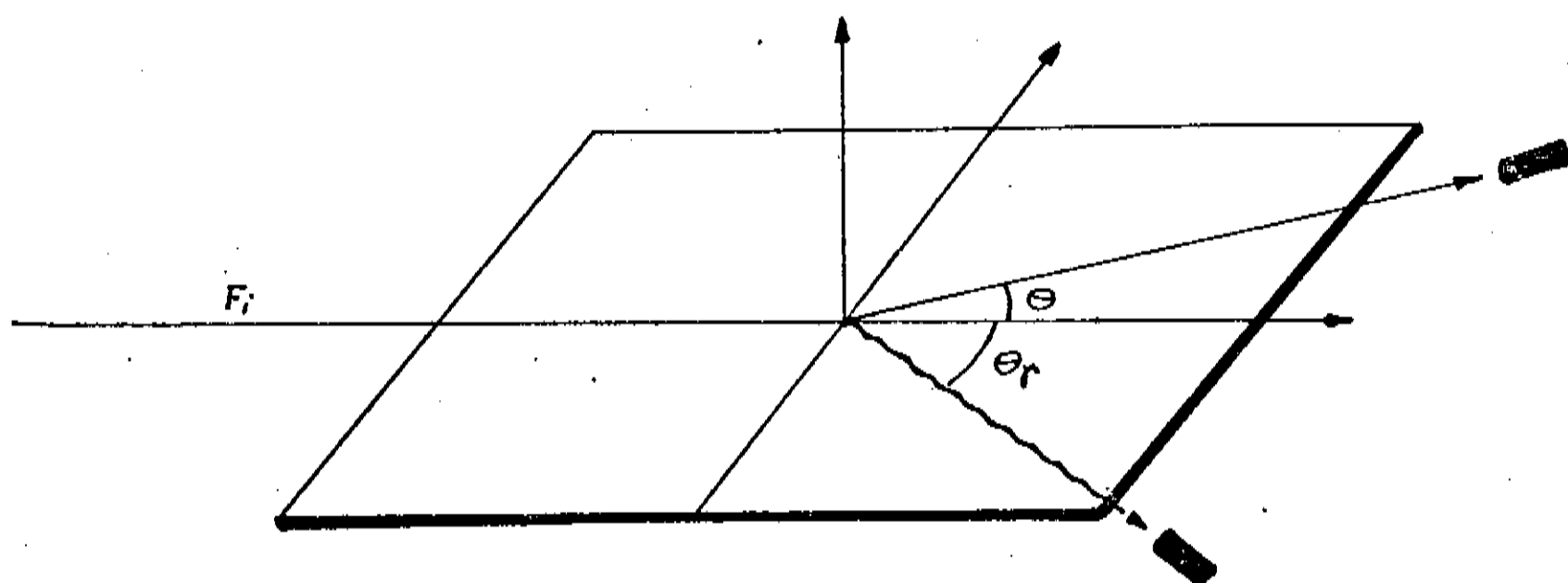
Passamos à descrição dos experimentos que determinam  $\lambda$  e  $\chi$ .

### 1. Experiência de correlação eletron-fóton.

Após algum tempo o estado excitado  $3^1P$  decai novamente ao estado fundamental emitindo um fóton de 2852 Å na região do UV. Supondo que o eletron que excitou o alvo tenha sido espalhado numa direção  $\Theta_f$ , a probabilidade do fóton emitido no decaimento ser detectado na direção  $\Theta_f$  no plano de espalhamento é (ou seja a intensidade da radiação de dipolo no plano de espalhamento) (Emyniam et al. 1974; Macék e Jaecks 1971; Andersen et al. 1984):

$$\frac{dP}{d\Omega_f} = \frac{3}{8\pi} (\lambda \sin^2 \Theta_f + (1-\lambda) \cos^2 \Theta_f - 2[\lambda(1-\lambda)]^{1/2} \cos \lambda \sin \Theta_f \cos \Theta_f) \quad 1.79$$

onde  $dP/d\Omega_f$  é a densidade de probabilidade da emissão de um fóton na direção  $\Omega_f$  o qual depende de  $\lambda$  e  $\chi$ . A medida experimental desta correlação é feita fixando-se o detector de eletrons em  $\Theta$  e rodando o detector de fótons em  $\Theta_f$  conforme a figura: ( $\phi_f \equiv \pi$ )

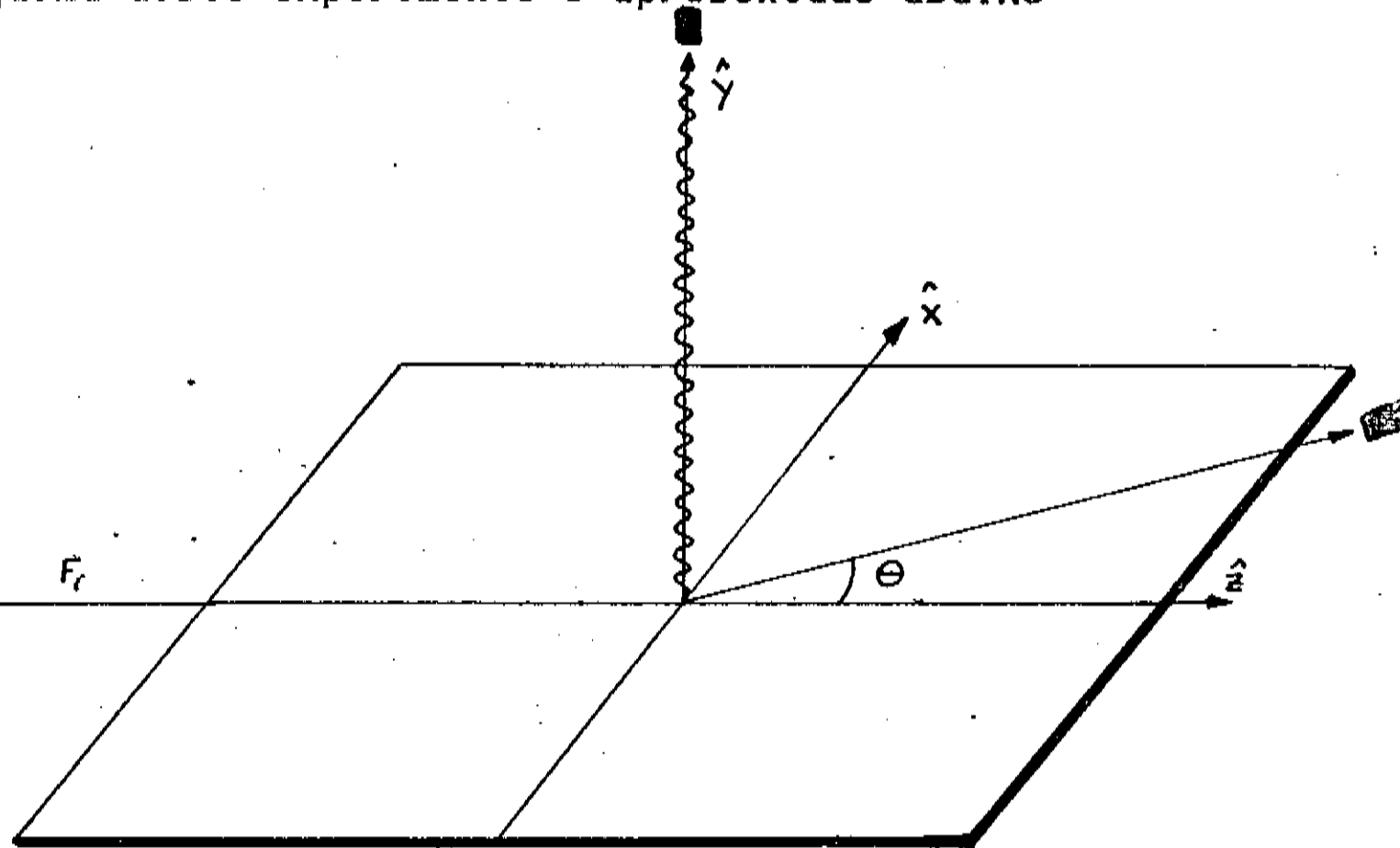


Medindo a correlação angular entre  $\Theta_f$  e  $\Theta$  é possível obter através de um ajuste da curva  $\lambda$  e  $|\chi|$ , porém sem determinar o sinal de  $\chi$  já que  $dP/d\Omega_f$  depende apenas de  $\cos \chi$ .

## 2. Medida da polarização dos fótons coincidentes.

Conforme experimento proposto por Standage e Kleinpoppen (1976) a medida da polarização do fóton emitido perpendicular ao plano de espalhamento pode esclarecer o sinal de  $\chi$ .

Um esquema deste experimento é apresentado abaixo



A polarização linear e circular dos fótons medidos pelo detector está relacionada com os parâmetros de Stokes  $P_i$  através das relações (Standage e Kleinpoppen 1976):

$$P_1 = I(0^\circ) - I(90^\circ) \quad 1.80$$

$$P_2 = I(45^\circ) - I(135^\circ) \quad 1.81$$

$$P_3 = I(RHC) - I(LHC) \quad 1.82$$

onde  $I(\alpha)$  representa a intensidade de polarização linear medida à um ângulo  $\alpha$  com o eixo  $\hat{z}$ , e RHC representa a polarização circular à direita e LHC a polarização circular à esquerda. Aqui os parâmetros  $P_i$  são normalizados à intensidade total  $I$ .

No caso de fôtons emitidos perpendicularmente ao plano de espalhamento o vetor de Stokes\* ( $P_1, P_2, P_3$ )  $\equiv \vec{P}$  fica relacionado com  $\lambda$  e  $\chi$ :

$$P_1 = 2\lambda - 1 \quad 1.83$$

$$P_2 = -2[\lambda(1-\lambda)]^{1/2} \cos\chi \quad 1.84$$

$$P_3 = 2[\lambda(1-\lambda)]^{1/2} \sin\chi \quad 1.85$$

Portanto a medida da polarização circular determina o sinal de  $\chi$ .

O Parâmetro de Stokes  $P_3$  está relacionado com o momento angular transferido ao átomo na colisão  $\langle L_1 \rangle$  pela fórmula:

$$\langle L_1 \rangle = -P_3 \quad 1.86$$

\* Nesta tese usamos o vetor de Stokes Normalizado onde  $|P| = 1 = \sqrt{P_1^2 + P_2^2 + P_3^2}$ .

Assim três parâmetros experimentais, a medida de SCD, da relação  $dP/d\Omega_f$  (radiação de dipolo) e  $P_3$  (ou  $\langle L_1 \rangle$ ) determinam completamente os valores de  $\sigma$ ,  $\lambda$  e  $\chi$  e portanto a matriz de densidade  $\rho$  de  ${}^1S$  o que equivale à descrição total do processo de espalhamento, isto é a dinâmica do estado excitado ( $\rho$ ), do eletron espalhado ( $\sigma$  e matriz  $T$ ) e do fóton emitido ( $\vec{P}$  e  $dP/d\Omega_f$ ).

### Parâmetros $\gamma$ e $\langle L_1 \rangle$

A núvem eletrônica pode ser determinada de 1.70. Por causa da simetria de reflexão no plano de espalhamento, o momento angular transferido durante o processo de colisão  $\langle L_1 \rangle$  deve estar numa direção perpendicular ao plano de espalhamento. Disso segue 1.74.

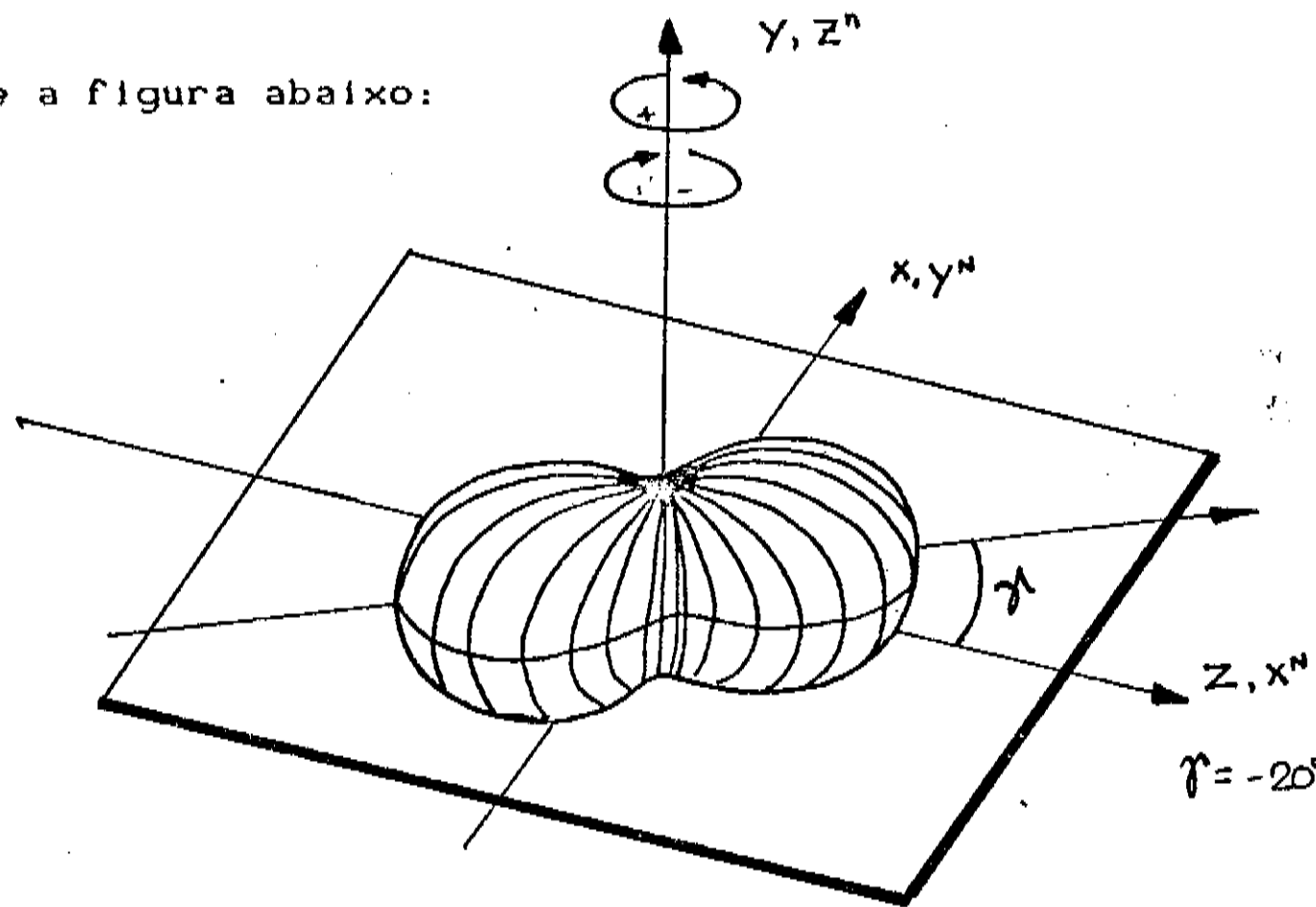
Conforme o cálculo do apêndice H a densidade de probabilidade angular da núvem eletrônica  $N(\theta, \Theta_n, \phi_n)$  vale ( $\phi_n = \pi$ ):

$$N(\theta, \Theta_n, \phi_n) = \frac{3}{4\pi} \sigma(\theta) [\lambda \cos^2 \Theta_n + (1-\lambda) \sin^2 \Theta_n + 2[\chi(1-\lambda)]^{1/2} \cos \chi \sin \Theta_n \cos \Theta_n] \quad 1.87$$

onde  $(\Theta_n, \phi_n)$  são as coordenadas da núvem eletrônica, que é equivalente à 1.79, porém rodada de  $\pi/2$  ( $\Theta_n = \Theta_f + \pi/2$ ). O ângulo de mínimo da função  $dP/d\Omega_f$  em 1.79 está relacionado com o ângulo de máximo em  $N(\theta, \Theta_n, 0)$ . O mínimo em 1.79 corresponde à mínima intensidade de fôtons  $\Theta_{min}$  e o máximo em 1.87 corresponde ao alinhamento da núvem eletrônica,

\* A intensidade do vetor de Poyting que mede o fluxo energético para um dipolo elétrico é proporcional ao  $\sin^2 \theta$ .

conforme a figura abaixo:



O ângulo de alinhamento é  $\gamma$ . O valor desse ângulo é dado por:

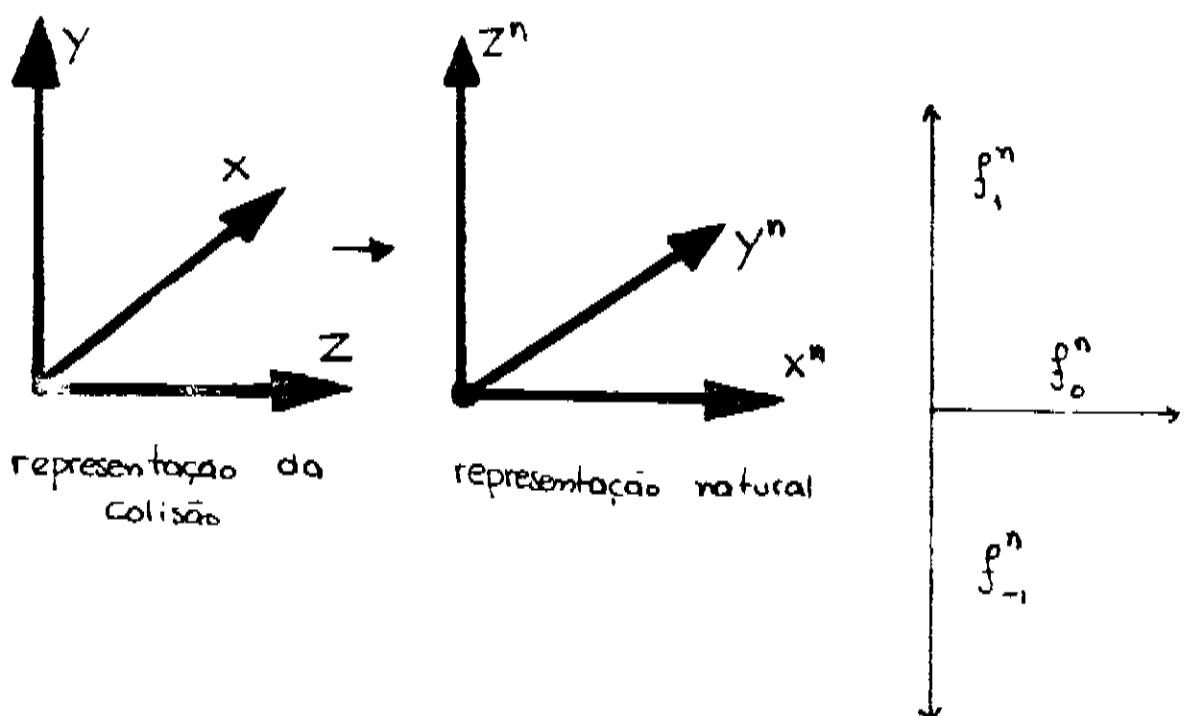
$$\operatorname{tg} 2\gamma = -\frac{2[\lambda(1-\lambda)]^{1/2} \cos \alpha}{2\lambda - 1} \quad 1.88$$

e  $\gamma = \Theta_{\min}$ .

No entanto é preferível escolher como eixo de quantização o eixo perpendicular ao plano de espalhamento. A transformação dos coeficientes  $f_{ML}$  escritos na representação da colisão para a representação natural, onde o eixo  $\hat{z}$  é perpendicular ao plano de espalhamento é dada por (ver figura acima) :

$$\begin{aligned} f_{ML=-1}^n &= \frac{1}{\sqrt{2}} f_{ML=0} - i f_{ML=1} \\ f_{ML=0}^n &= 0 \\ f_{ML=1}^n &= -\frac{1}{\sqrt{2}} f_{ML=0} - i f_{ML=1} \end{aligned} \quad 1.89$$

onde o diagrama abaixo mostra os diferentes sistemas de representação (o índice "n" significa grandeza na representação natural.)



Na fórmula 1.89 obtemos  $f_{ML=0}^n = 0$ , isto é não há componente do momento angular orbital na direção do plano de espalhamento. O momento angular transferido no processo de espalhamento  $\langle L_1 \rangle$  está relacionado com as amplitudes  $f_{ML}^n$ , sendo a diferença das probabilidades de excitação dos estados  $|\Psi_{M=1}\rangle^n$  na representação natural (Andersen et al. 1984):

$$\begin{aligned}
 \langle L_1 \rangle &= (f_1^n * f_1^n - f_{-1}^n * f_{-1}^n) / \sigma(\theta) \\
 &= \frac{f_1^n * f_1^n - f_{-1}^n * f_{-1}^n}{f_1^n * f_1^n + f_{-1}^n * f_{-1}^n} \\
 &= \frac{I_1 - I_{-1}}{I_1 + I_{-1}}
 \end{aligned} \tag{1.90}$$

com

$$\sigma = \sum_{ML} f_{ML}^* f_{ML} = \sum_{ML} f_{ML}^n * f_{ML}^n.$$

Concluímos portanto que a determinação dos parâmetros  $\sigma$ ,  $\lambda$  e  $\chi$  teórica ou de  $\sigma$ ,  $dP/d\Omega$  e  $P_3$  experimentais determinam a matriz de densidade e portanto descreve todo o processo. Nesta tese apresentamos resultados para  $\lambda$ ,  $\chi$ ,  $\hat{f}$ ,  $\langle L \rangle$  e  $\sigma$  para impacto eletrônico do Mg.

## 2. Obtenção dos resultados: Cálculo Numérico e Resultados Parciais.

A obtenção dos resultados numéricos representou a maior parte do gasto de tempo para realização desta tese.

Estão descritos neste capítulo os procedimentos para obtenção das funções de onda do alvo ( $Pnl(r)$  - sec. 2.1), do contínuo ( $Pkl(r)$  - sec. 2.2) e das integrais  $R^k$  da matriz  $T^{RPA}$  (sec. 2.3), e das somas em  $T$ .

**2.1 As funções de onda do Mg na aproximação HF:** Apresentamos nesta secção a maneira pela qual obtivemos as funções  $Pnl(r)$  para o alvo de Mg.

O cálculo das funções radiais  $Pnl$  (eq. 1.31) foi realizado numericamente através do programa MCHF77 de Charlotte Froese Fischer (Fischer 1978) que as obtém através do método auto-consistente HF.

Como dado de entrada fornecemos a energia de cada multipletos em relação à energia média da configuração ( $Eav$ )\*. Assim:

\* Cada configuração de camada aberta pode ter vários possíveis multipletos. Portanto a energia de cada multipletos pode ser escrita como a energia média (Slater, 1960, v. I) somada com um desvio.

$$E(3^1S) = E_{av}(3s^2)$$

$$E(3^3P) = E_{av}(3s^13p^2) - 1/6 G^1(3s3p)$$

$$E(3^1P) = E_{av}(3s^13p^1) + 1/2 G^1(3s3p) \quad 2.1$$

onde  $E(3^1S)$ ,  $E(3^3P)$  e  $E(3^1P)$  são as energias de cada estado ( $3^1S$ ,  $3^3P$  e  $3^1P$ ) em termos da energia média da configuração,  $E_{av}(3s^2)$  é a energia média da configuração ( $1s^2 2s^2 2p^6$ )  $3s^2$  e  $E_{av}(3s^13p^1)$  para a configuração ( $1s^2 2s^2 2p^6$ )  $3s^1 3p^1$ .

O estado fundamental  $3^1S$  foi calculado auto-consistentemente apartir de uma aproximação inicial de funções hidrogênicas para  $P_{nl}$  ( $n_l = 1s, 2s, 2p$  e  $3s$ ). O cálculo convergiu à solução HF após 4 iterações com 6 casas de precisão na função de onda, conforme o critério de convergência do cálculo. Os estados excitados  $3^1P$  e  $3^3P$  foram calculados na aproximação do caroço congelado, mantendo-se inalterados os orbitais  $1s, 2s, 2p$  e  $3s$  calculados para  $3^1S$  e fazendo-se auto-consistente somente a função radial do orbital  $3p$ . Fazendo uma aproximação inicial de função hidrogênica para o orbital  $3p$ , o cálculo do estado excitado convergiu em 5 iterações para  $3^1P$  e para  $3^3P$  com 4.

Na tabela 2.1 da página seguinte apresentamos os resultados obtidos no cálculo HF de configuração única e Multiconfiguracional (MCHF).

**2. Efeito de Correlação:** Para verificar a importância do efeito de correlação na descrição do Mg fizemos um cálculo multiconfiguracional para o estado fundamental  $3^1S$ .

<u>Estado</u>	<u>E (eV)</u>		<u>Energias Totais</u>		<u>Experimental</u>
	<u>Nossos Resultados</u>		<u>ω(3¹S-3¹P) au</u>		
	<u>Energia Total (-199. au)</u>	<u>HF</u>	<u>MCHF</u>	<u>HF</u>	<u>ω(3¹S-3¹P) au</u>
3¹S	-0.6146364	-0.6460688	--	--	--
3¹P	-0.4606270	--	.1540094	.185432	0.159775
3³P	-0.5456616	--	.0689848	.100400	0.099688

tab 2.1- Nesta tabela as energias de cada estado estão escritas apartir de -199.00 u.a. Na primeira e segunda coluna utilizamos as aproximação HF e MCHF(Multiconfiguracional) para obter a energia total. Na terceira e quarta, as energias de excitação em ambas aproximações.

Consideramos (ver sec. 1.9) as configurações  $( ) 3s^2 : 3^1S$  e  $( ) 3p^2 : 3^1S$ . Como dados de entrada fornecemos o desvio da energia média das configurações para o estado  $^1S$  e a energia de interação de configurações:

$$E( 3s^2 : 3^1S ) = E_{av}( 3s^2 )$$

$$E( 3p^2 : 3^1S ) = E_{av}( 3p^2 ) - 12/25 F^2( 3p3p )$$

$$\langle 3s^2 : 3^1S | V | 3p^2 : 3^1S \rangle = -1/\sqrt{3} G^1( 3s 3p ) 2.2$$

Como aproximação inicial consideramos o estado fundamental em  $( ) 3s^2 : 3^1S$ , em configuração única e para o orbital 3p, funções hidrogenicas. O cálculo convergiu em 6 iterações, mantendo os orbitais 1s, 2s e 2p congelados da aproximação em configuração simples, fazendo auto-consistente as funções 3s e 3p.

Os coeficientes de mistura obtidos foram:

$$\omega_{\alpha\beta} = 0.9614803$$

e

$$\omega_{\beta\gamma} = 0.27487381$$

A energia total e as energias de transição estão na tabela 2.1.

**3. Resultados Parciais:** Os cálculos descritos produziram os seguintes resultados:

a. Resultados para o raio médio  $\langle r \rangle$  e alcance ( $r_{MAX}$ ) de cada orbital:  
tabela 2.2:

	Estado $3^1S$				Estado Excitado		MCHF	$3^1S$
orbital	1s	2s	2p	3s	3p	$3^1P$	3p	$3^3P$
$\langle r \rangle$	0.1306	0.69033	0.68499	3.25294	6.23996	4.05305	3.19562	3.25941
$r_{MAX}$	4.0152	7.50143	14.0145	27.8711	48.9154	33.6191	26.1826	24.5962

onde  $r_{MAX}$  foi considerado o valor para o qual  $|\psi_{me}(r)|^2 < 10^{-10}$ ,  $r > r_{MAX}$ .

Concluímos que o "tamanho" do alvo de Mg no estado fundamental é ao redor de  $28a_0$ , quando fazemos um cálculo em configuração simples diminuindo para  $26a_0$  no cálculo Multiconfiguracional.

b. Energias de excitação: Verificamos os valores de energia de excitação experimental,  $3^1S \rightarrow 3^1P$  e  $3^1S \rightarrow 3^3P$ .

Conforme a tabela 2.1 a transição  $3^1S \rightarrow 3^1P$  tem energia de excitação experimental de  $\omega(3^1P) = 0.159775$  u.a. e a transição  $3^1S \rightarrow 3^3P$ ,  $\omega(3^3P) = 0.099688$  u.a. .

A energia de excitação usando configuração simples para  $3^1S$  resultou em  $\omega(3^1P) = 0.1540094$  u.a. e  $\omega(3^3P) = 0.0689848$  u.a. .

Isto representa um bom resultado para  $3^1S \rightarrow 3^1P$ , mas um mau resultado para  $3^1S \rightarrow 3^3P$ .

Usando multiconfiguração no estado fundamental, obtivemos  $\omega(3^1P) = 0.18543205$  u.a. e  $\omega(3^3P) = 0.1004$  u.a. portanto o desvio de  $\omega(3^1P)$  com o experimento aumenta de 3.6% para 13.8% e para  $\omega(3^3P)$ , diminui de 30.8% para 0.7% passando do cálculo HF de configuração simples para o cálculo de multiconfiguração.

c. Força do oscilador: Uma boa medida da qualidade da função de onda é o cálculo da força do escilador

$$f = \langle \Psi_n^n | \sum_i \vec{e} \vec{r}_i | \Psi_0^n \rangle$$

2.3

onde  $\vec{P} = \sum_i \vec{e} \vec{r}_i$  é o operador momento de dipolo elétrico do átomo e a soma é sobre todas as coordenadas.

Considerando configurações com dois eletrons fora da última camada fechada, acoplados em  $^{2S+1}L$ , Zare ( R. Zare 1967) mostrou que a força do oscilador (Oscillator Strength) é dada pela fórmula:

$$\int = \frac{1}{g} \frac{304}{\lambda} S(n_e n'_e L; n_e n''_e L) \quad 2.4$$

onde  $g$  é a degenerescência  $(2S+1)(2L+1)$  do estado de origem,  $\lambda$  é o comprimento de onda da transição em Å e  $S$  é um valor que depende das configurações, e definido:

$$S(n_e n'_e L; n_e n''_e L) = (1 + \delta_{ee}) [\varrho_s(2S+1)(2L+1)(2L'+1)] \begin{Bmatrix} e' L e'' \\ L' e'' J \end{Bmatrix} R(n_e n''_e) \quad 2.5$$

onde  $\varrho_s$  é o máximo entre  $l'$  e  $l''$ , () é um símbolo 6j (Edmonds, 1974) e  $R(n'_e l', n''_e l'')$  é o fator de forma definido como:

$$R(n'_e n''_e) = \int_0^\infty P_{n'_e}(r) \times P_{n''_e}(r) \quad 2.6$$

Para a transição opticamente permitida  $3^1S \rightarrow 3^1P$ , a linha emitida no decímento é 2852 Å (Zare, 1967).

O cálculo em configuração simples resultou em:

$$\int^{HFSC.} (3^1S \rightarrow 3^1P) = 2.17876 \quad 2.7$$

Usando o orbital  $3s$  correlacionado, calculamos  $f$ . O valor da força do oscilador ficou:

$$\int^{MCNF} (3^1S \rightarrow 3^1P) = 1.828 \quad 2.8$$

As funções aqui foram obtidas fazendo um cálculo multiconfiguracional para produzir as funções de partícula única  $3s$  e  $3p$ . Feito isso calculamos o estado excitado fazendo configuração simples e mantendo o caroço congelado dos orbitais  $1s2s2p$  e  $3s$  multiconfiguracio-

nais, fazendo auto-consistente somente o orbital 3p excitado.

A tabela 2.3 mostra para efeito de comparação os resultados disponíveis:

tabela 2.3:  $f(3^1S \rightarrow 3^1P)$

	Teóricos	Experimental
Conf. Simples HF	2.178	
MCHF	1.828	
Robb (1974)	1.814	1.81 ± 0.005
Norcross (*)	1.835	
Zare (1967)	1.720	

O resultado experimental é de W.U. Smith e A. Galleguer (1966)

Concluímos que nosso cálculo melhora de um erro de 20.3% usando configuração simples para 0.7% usando multiconfiguração (29 vezes menor).

Estes dados mostram como o efeito de correlação eletrônica é importante no cálculo das funções de onda do Magnésio.

## 2.2 Funções de onda do contínuo:

Conforme vimos em 1.9 calculamos as funções de onda do elétron do contínuo no campo do alvo no estado fundamental, conforme as equações 1.41 e 1.42.

Utilizamos para calcular numericamente a função  $P_{kl}(r)$  (Eq.1.36) o código LA de Collins e Schneider (1981) com algumas modificações.

Utilizamos como entrada de dados os orbitais calculados pelo método Hartree-Fock, do Mg  $3^1S$ , configuração simples.

**1. Grade Radial:** A grade radial utilizada é do tipo Gauss-Legendre dividida em 8 regiões.

A grade utilizada está escrita na tabela 2.4 abaixo:

tab. 2.4

limites

região	lnº de pontos	inferior-superior
1	60	0.00 0.04
2	60	0.04 0.10
3	60	0.10 0.20
4	60	0.20 0.40
5	60	0.40 1.00
6	60	1.00 4.00
7	50	4.00 10.00
8	50	10.00 25.00

com 460 pontos no total.

Para escolher a grade radial mais adequada, colocamos mais pontos na região de  $r$  em que a função  $P_{kl}$  tem maior curvatura. Para isso estudamos a derivada segunda de  $P_{kl}(r)$  através de 1.43 e observamos que isto ocorre próximo de  $r=0$ , quando o potencial tende à infinito. Depois para encontrar a melhor maneira de distribuir os pontos (no máximo 464 por limitações do computador - VAX 11/780 DIGITAL) foram testadas diversas grades até que obtivemos valores estáveis para o deslocamento de fase  $\delta(k^2/2)$  ao se variar a grade (4 algarismos significativos).

Note que o número de pontos da grade radial por comprimento de onda é função da energia da onda ou seja, na região assintótica ( $r > 10a$ ) :

$$N(k^2/2) = \frac{2\pi}{k} \frac{50}{15} = \pi/a_{15} k \quad 2.9$$

de maneira que:

Tab 2.5

<u>Energia</u>	<u><math>N(E)</math></u>	<u>pontos</u>
10	24.4	
20	17.3	
30	14.1	
40	12.2	
50	10.9	
100	7.7	pontos por unidade de comprimento de onda

Os orbitais do espalhamento elástico foram obtidos para energias de 10, 20, 30, 40, 50 e 100 eV obtendo-se as energias do canal de espalhamento através das energias da excitação experimentais fornecidas na sec. 1.1, ou seja  $E_f = E_i - \omega(3^3P)$  ou  $E_f = E_i + \omega(3^3P)$ , onde  $E_i$  é a energia do elétron incidente. O fator de conversão está dado na página 10, na nota de rodapé.

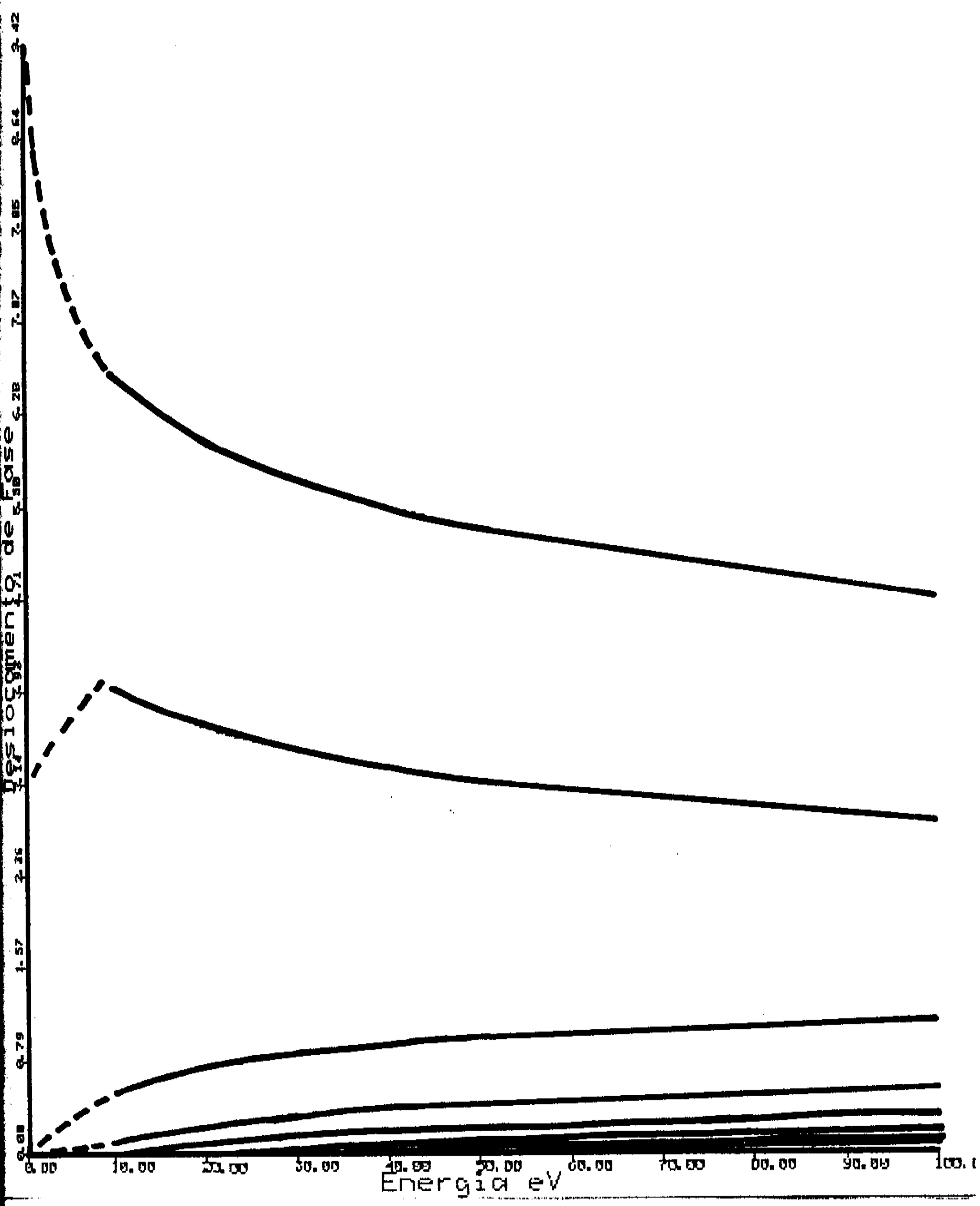
**2. Deslocamento de Fase:** tendo rodado o programa LA observamos que os deslocamentos de fase calculados para diferentes valores de raio  $r$  convergem à um valor constante para cada onda parcial, conforme o exemplo típico na tabela 2.6:

**Tabela 2.6 Deslocamentos de Fase para a onda espalhada com  $l=2$ ,  
 $E_i=10\text{eV}$  da transição 3 S 3 P.**

raio	deslocamento de fase (rad)
13.7	0.52382040
16.3	0.52381898
19.1	0.52581904
21.6	0.52581904
23.6	0.52581906
24.79	0.52581906

A tabela contém deslocamentos de fase com 8 algarismos significativos, apenas para efeito de comparação já que o número de casas de precisão é ao redor de 4 somente.

Os deslocamentos de fase obtidos estão colocados no gráfico 2.7 na página seguinte.



Na tabela abaixo os deslocamentos de fase para onda incidente energias 10, 20, 30, 40, 50 e 100 eV para l até 10.

TABELA DE DESLOCAMENTOS DE FASE

L=	10eV	20eV	30eV	40eV	50eV	100eV
0	6. 625135	6. 074865	5. 751565	5. 519475	5. 336525	4. 755486
1	3. 950623	3. 645883	3. 451643	3. 307193	3. 191702	2. 825763
2	0. 523820	0. 756690	0. 872500	0. 948400	1. 002100	1. 136400
3	0. 119400	0. 257820	0. 346930	0. 406140	0. 448430	0. 558910
4	0. 030230	0. 096062	0. 155430	0. 202750	0. 240040	0. 343580
5	0. 007801	0. 036162	0. 070078	0. 102130	0. 130510	0. 223030
6	0. 002004	0. 013596	0. 031515	0. 051265	0. 070721	0. 146030
7	0. 000509	0. 005079	0. 014100	0. 025603	0. 038125	0. 095402
8	0. 000000	0. 001882	0. 006268	0. 012714	0. 020442	0. 062050
9	0. 000000	0. 000691	0. 002767	0. 006277	0. 010902	0. 040178
10	0. 000000	0. 000252	0. 001214	0. 003081	0. 005784	0. 025907

2.3 Cálculo de  $T^{RPA} - T^D$  :

Com o objetivo de considerar todas as ondas parciais na eq 1.68 para  $T^D$ , um artifício já utilizado anteriormente que explora o fato de que a matriz T em Primeira Aproximação de Born (FBA) pode ser calculada sem a expansão em ondas parciais (Sawada et al 1971), foi utilizado.

Separamos a soma em 1.68 em:

$$T^D = \sum_{\ell=0}^{\infty} T_\ell^D \approx \sum_{\ell=0}^{\ell_{MAX}} T_\ell^D + \sum_{\ell=\ell_{MAX}+1}^{\infty} T_\ell^{FBA}$$

2.10

## Obtenção dos resultados - Cálculo Numérico

onde

$$T_{\ell}^{FBA} = \sum_{\substack{\ell'=1,2 \\ \ell' \geq \ell_{MAX}}}^{\ell+1} \frac{(4\pi)^{3/2}}{\sqrt{3}} Y_{\ell'}^{-M_{3p}}(\Omega_q) e^{i(e-e')\pi/2} \hat{\vec{\ell}} \hat{\vec{\ell'}} x \\ \times \begin{pmatrix} e' & e' & 1 \\ M_{3p} & 0 & -M_{3p} \end{pmatrix} \begin{pmatrix} e' & e' & 1 \\ 0 & 0 & 0 \end{pmatrix} R^{FBA}(pe3s;qe'3p) \quad 2.11$$

e

$$R^{FBA}(pe3s;qe'3p) = \int_0^\infty dr j_e(pr) j_{\ell'}(qr) Y^1(3p3s|r) p \cdot q \quad 2.12$$

e onde  $j_\ell(kr)$  são funções esféricas de Bessel, de maneira que quando  $\ell$  cresce,  $R^1 \rightarrow R^{FBA}$  conforme 1.46 ( já que quando  $\ell$  cresce a distorção da onda parcial diminui aproximando-se da função de Bessel ) .

No entanto  $T^{FBA} = \sum_{\ell=0}^{\infty} T_{\ell}^{FBA}$  pode ser calculada sem ser feita a expansão em ondas parciais. Desta forma se subtraímos de  $T^{FBA}$ , a soma  $\sum_{\ell=0}^{\ell_{MAX}} T_{\ell}^{FBA}$  :

$$T^{FBA} - \sum_{\ell=0}^{\ell_{MAX}} T_{\ell}^{FBA} = \sum_{\ell=\ell_{MAX}+1}^{\infty} T_{\ell}^{FBA} \quad 2.13$$

e obtemos  $\sum_{\ell=0}^{\ell_{MAX}} T_{\ell}^{FBA}$  substituindo  $P_{kl} \rightarrow kr j_e(kr) e \delta_{\ell}^{(k)}$  por zero em 2.11. Obtemos  $T^{FBA}$  através de ( o cálculo esta feito no apêndice J ) :

$$T^{FBA} = \frac{1}{4\pi^2} \iint d\vec{r}_1 d\vec{r}'_2 e^{i\vec{\Delta} \cdot \vec{r}_1} \frac{1}{r_{12}} P_{3s}(r_1) P_{3p}(r_2) \quad 2.14$$

onde  $\Delta$  é o momento linear transferido e  $r_{12}$  já foi definido anteriormente (Note que  $\int_0^\infty \frac{e^{i\Delta r}}{r_{12}} dr_1 = \frac{4\pi}{\Delta^2} Q^{i\Delta r_{12}}$ , e portanto quanto menor o valor do momento linear transferido  $\Delta$  (espalhamento para frente) maior o valor de  $T^{FBA}_{(0=0)}$  (Joachain, 1975) ).

A expansão de  $T^D$  é feita usando ondas distorcidas até  $l_{MAX}$  e de  $l_{MAX}+1$  até infinito usamos 2.13.

Isto garante a soma de zero até infinito em 1.68. A validade deste procedimento depende portanto dos valores de  $R^1$ ,  $R^{FBA}$  e  $l_{MAX}$ .

Para saber o valor de  $l_{MAX}$  comparamos as integrais  $R^{FBA}$  e  $R^1$ . Na tabela 2.8 abaixo mostramos os valores de  $R^1$  e  $R^{FBA}$  para  $l$ ,  $l'=l+1$ , para energia de 10ev.

**Tabela 2.8 Comparação das Integrais  $R^{FBA}$  e  $R^1$  para energia de 10eV**

$l$	$R^1$ ( 3s pl ; 3p al' )	$R^{FBA}$ ( 3s pl ; 3p al' )	diferença
0	0.04158690	0.1037809000	0.59920
1	0.09148109	0.0077667858	10.7769
2	0.01576784	-0.0217832200	1.72390
3	-0.01935718	-0.0236815200	0.18260
4	-0.01760656	-0.0181895800	0.03205
5	-0.01237627	-0.0124531100	0.00618
6	-0.008166323	-0.0080811980	0.00170

O erro estimado foi obtido fazendo  $(R^1 - R^{FBA}) / (R^1)$ .

Observamos que a diferença vai diminuindo com  $l$  crescente. Para  $l = 6$ ,  $l' = 7$ , a diferença é de  $1.7/1000$ , e assim concluímos que  $l_{MAX} = 7$  é uma aproximação razoável.

A tabela 2.9 mostra o número de ondas distorcidas consideradas em cada  $E_1$ :

Tabela 2.9 Valor de  $l_{MAX}$ :

<u><math>E_1</math></u>	<u><math>l_{MAX}</math></u>	<u>(rad.)</u>
10	7	5.08E-04
20	11	6.36E-05
30	14	4.23E-05
40	15	8.10E-05
50	20	6.78E-06
100	22	9.64E-05

$$1.00E-n = 10^{-n}$$

## 2. Termo de Troca $T^E$ :

Para obter  $T^E$  calculamos as integrais de troca:

$$R^{e'}(3s\ p_l; q_{e'}3p) = \int_0^\infty P_{e'}(r) r Y^{e'}(3s) q_{e'}(r) \quad 2.15$$

A primeira coisa que observamos é que as funções de onda do contínuo, oscilantes, são integradas com as funções ligadas do alvo.

Ora quando  $l$  cresce o parâmetro de impacto  $I_x$  também cresce. Assim a região onde  $P_{kl}$  é significativa ( $r > I_x$ ) fica cada vez mais distante da região onde  $P_{nl}(r)$  é significativa, ou seja ao redor de  $6a_0$ .

para  $3^1P$  e  $4a_0$  para  $3^3P$ .

As integrais de troca convergem mais rapidamente à zero que as integrais diretas, com aumento de  $l$ .

Na tabela abaixo mostramos um exemplo para energia do eletron incidente 10eV e excitação do alvo  $3^1P$ :

Tabela 2.10

$l$	$R^{q'}(3s\ p_1; g1' 3p) - 1' = l+1$	$R^{q'}(3s\ p_1; g1' 3p) \quad l' = l-1$
0	-0.03862487	-
1	-0.1019670	-0.0850185
2	-0.1167039	-0.3029113
3	-0.0550096	-0.2649633
4	-0.0198139	-0.0953556
5	-0.0065761	-0.0318590
6	-0.0021612	-0.0101843
7	-	-0.0031154

Desta maneira as contribuições de integrais com  $l>7$  já podem ser consideradas desprezíveis no cálculo de  $T^E$ .

### 3. Integração de $R^1$ e $R^{2'}$ :

As integrais diretas são feitas integrando-se inicialmente  $P_{35}$  e  $P_{39}$  com o fator  $r^k/r^{k+1}$  que dá uma função  $\frac{1}{r}Y^k(3s3p1r)$ . A integral feita à seguir entre  $P_{pl}$  e  $P_{ql'}$  é ponderada pelo fator  $rY^k(3s3p1r)$ , que assintoticamente vai com  $FF/r^2$ , onde  $FF$  é o fator de forma (Apêndice I).

Observamos que à medida que  $l, l'$  aumentam os parâmetros de impacto também aumentam, de maneira que a região onde  $r < l_1$  e portanto  $P_{kl}<<1$  fica maior. Isto significa que  $R^1$  diminui, como observamos anteriormente.

As integrais de dois elétrons foram realizadas em três regiões. Na primeira, a integral é realizada numericamente e vai de zero à  $25 a_0$ . Na segunda, fizemos a aproximação 1.46, pois as funções  $P_{kl}$  só são obtidas numericamente até  $25 a_0$  e como vimos na tabela 2.6 os deslocamentos de fase já convergiram e portanto a aproximação 1.46 é válida. Esta região vai até  $600 a_0$ , quando passa à valer a aproximação:

$$J_e(kr) = \frac{1}{kr} \operatorname{Sen}(kr - \frac{e\pi}{2})$$

$$\gamma_e(kr) = \frac{-1}{kr} \operatorname{Cos}(kr - \frac{e\pi}{2}) \quad 2.16$$

e realizamos a integral analiticamente até infinito no apêndice I.

O resultado da parte analítica da integral é:

$$\begin{aligned}
 & \int_{r_2}^{\infty} P_{pe}(r) P_{qe}(r) r Y^1(3s3p|r) dr = \\
 & \frac{1}{\pi r} \frac{1}{\sqrt{pq}} \left[ \cos((p-q)r + (a-b)) - \cos((p+q)r + (a+b)) \right. \\
 & + \frac{1}{2} (p-q) \cos(a-b) si((p-q)r) \\
 & - \frac{1}{2} (p+q) \cos(a+b) si((p+q)r) \\
 & + \frac{1}{2} (p-q) \sin(a-b) Ci((p-q)r) \\
 & \left. - \frac{1}{2} (p+q) \sin(a+b) Ci((p+q)r) \right] \quad 1.17
 \end{aligned}$$

onde

$$Si(x) = - \int_x^{\infty} \frac{\sin y}{y} dy$$

$$Ci(x) = - \int_x^{\infty} \frac{\cos y}{y} dy$$

$$a = \delta_e(p) - e\pi/2$$

$$b = \delta_{e'}(q) - e'\pi/2$$

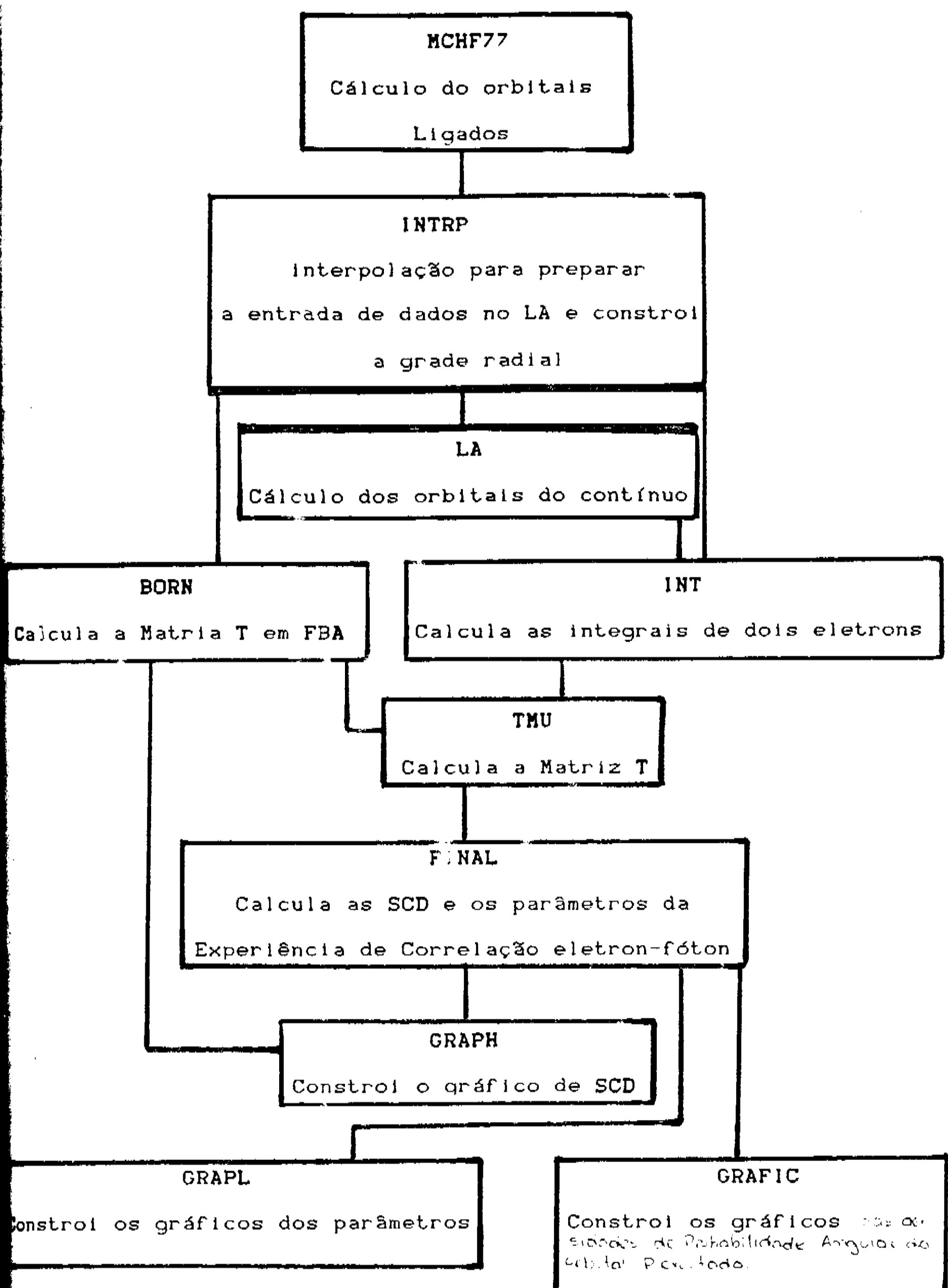
As integrais de troca são realizadas somente até  $r=50a_0$ , já que as funções  $P_{3s}(r)$  e  $P_{3p}(r)$  são consideradas zero para  $r>50 a_0$ .

4. Somas em 1,1': As somas de  $T^D$  e  $T^E$  são realizadas apartir dos valores de  $R^{l'}$ ,  $R^l$  e  $R^{FBA}$  (programa INT) e das saídas de  $T^{FBA}$  do programa BORN através do programa TMU. Dentro do programa são calculados os símbolos  $3j$  da transição e os esféricos harmônicos  $Y_{l'}^{m,l}(e, \phi)$ .

As SCD e SCI foram obtidas do cálculo de  $T^D$  e  $T^E$ , os parâmetros  $\lambda$ ,  $\chi$ ,  $\langle L_1 \rangle$  e  $\gamma$  calculados no programa FINAL, além dos parâmetros de Stokes  $\vec{P}$ .

Para obter as SCI integramos as SCD usando a regra de Simpson de 1/3.

## Diagrama dos Programas



### 3. RESULTADOS

Neste capítulo apresento os resultados finais, análise e conclusões da tese. Inicialmente apresento os resultados (sec. 3.1), em gráficos e tabelas. Depois é feita a análise dos resultados (sec. 3.2) e por fim as conclusões (sec. 3.3).

#### 3.1 Apresentação dos Resultados:

Apresento aqui os resultados finais da tese. Nas páginas seguintes são mostrados os gráficos de SCD para todas as energias e para as transições  $3^1S \rightarrow 3^1P$  e  $3^3S \rightarrow 3^3P$ . Depois apresentamos em forma de gráficos os resultados para  $\lambda$ ,  $\chi$ ,  $\langle L_1 \rangle$  e  $\chi'$ . A seguir, mostramos o resultado para SCI da transição opticamente permitida e finalmente tabelas dos parâmetros de Stokes  $\vec{P}$ , SCD,  $\lambda$ ,  $\chi$ ,  $\langle L_1 \rangle$  e  $\chi'$ .

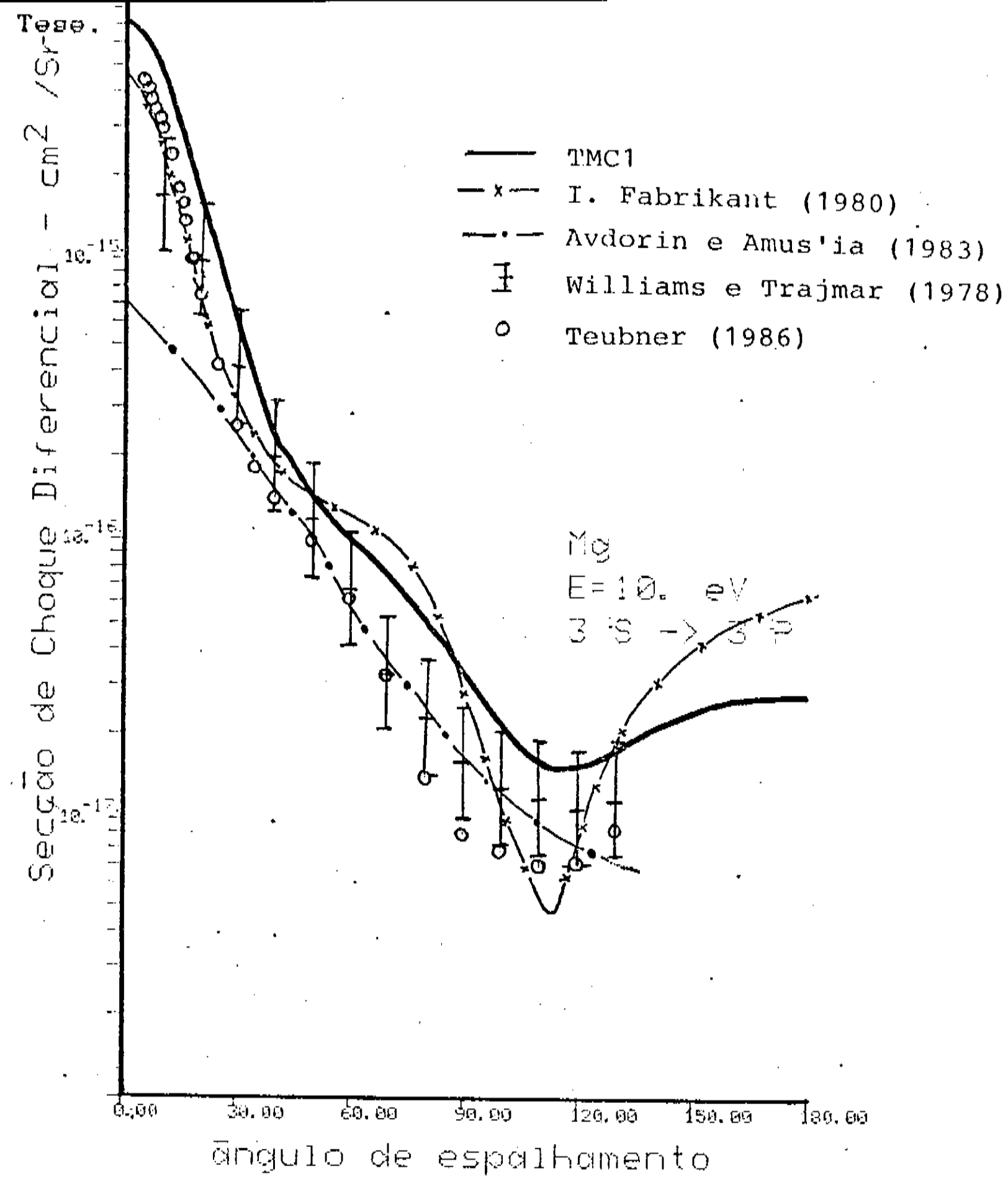


fig. 3.1 SCD para  $E = 10 \text{ eV}$ , transição  $3^1S \rightarrow 3^1P$ . Nesta curva observamos um ponto de mínimo à  $117^\circ$ . Para  $0^\circ$  e  $180^\circ$  os pontos são de máximo. A razão entre  $\sigma(0^\circ)$  e  $\sigma(117^\circ)$  no ponto de mínimo é de 450.

A comparação com os dados experimentais de Teubner (1986) e Williams e Trajmar (1978) mostra boa concordância. A diferença entre nosso cálculo e os dados experimentais é justificada, para ângulos pequenos, principalmente pela não inclusão da polarização do átomo de Magnésio à presença do elétron incidente e para ângulos intermediários pela não inclusão de efeitos de segunda ordem ou por uma descrição do alvo que não inclui efeitos de correlação. Os dados teóricos são de Fabrikant (1980) e Avdorin e Amus'ia (1983).

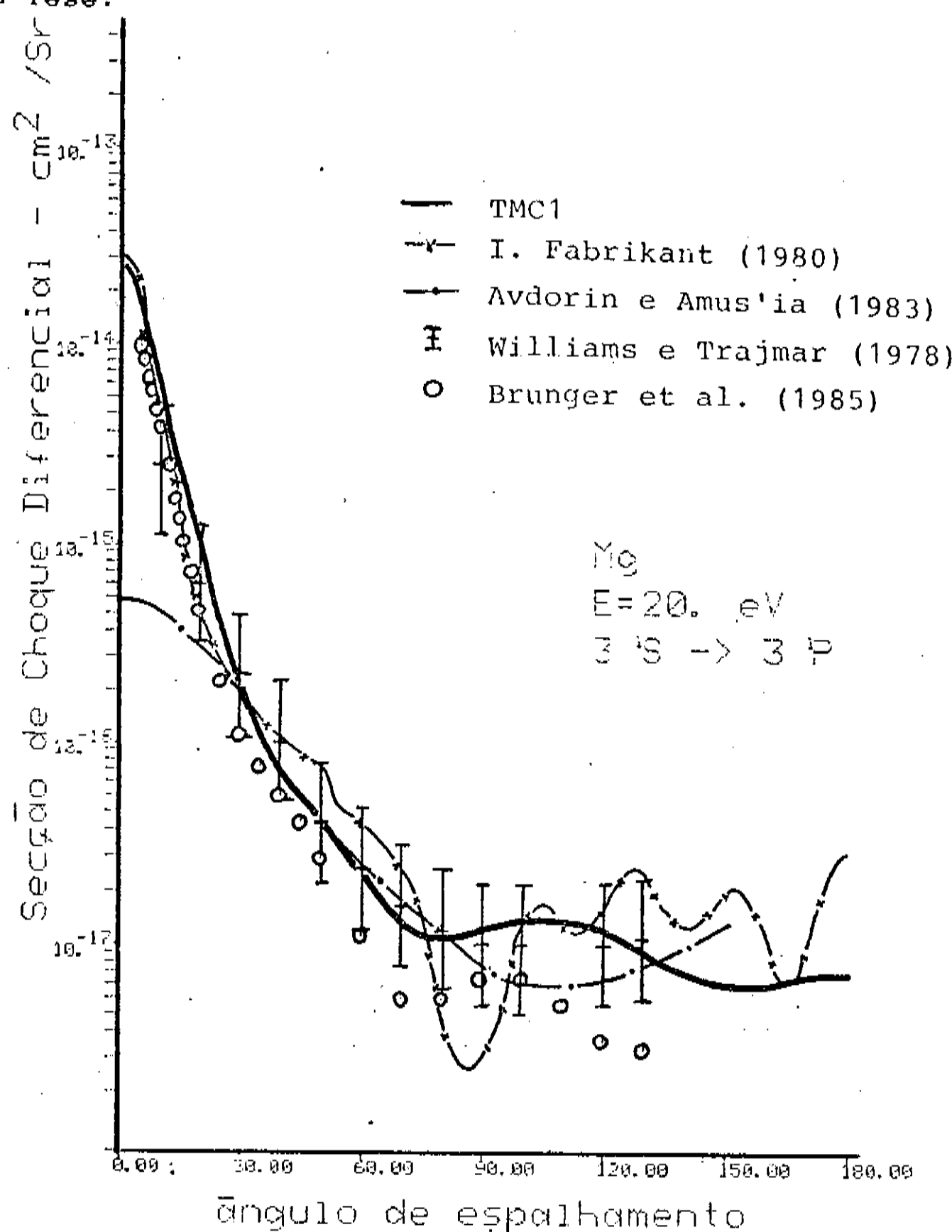
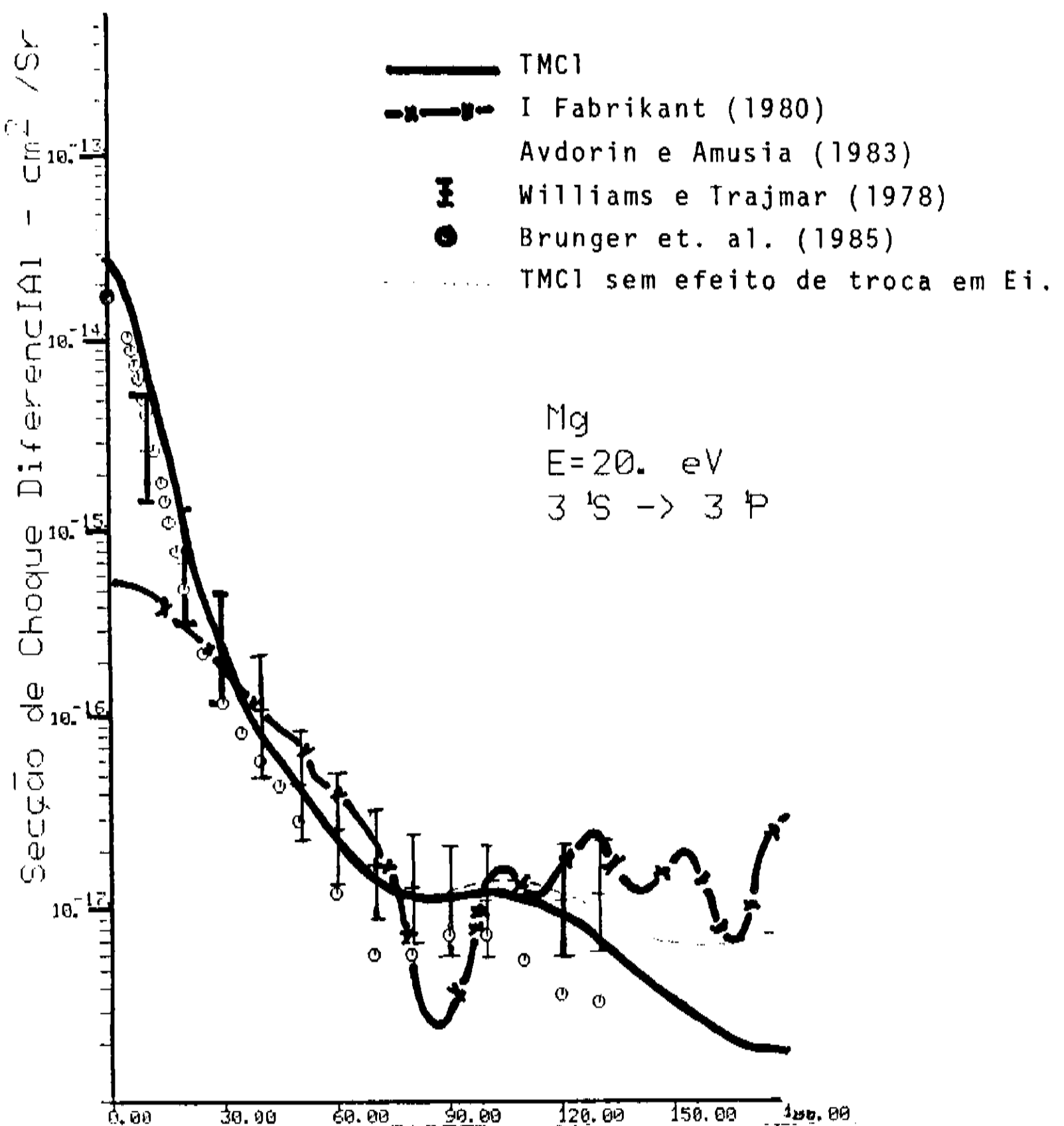


fig 3.2 SCD para  $E_1=20\text{eV}$ , transição  $3'S \rightarrow 3'P$ . Observamos três pontos de máximo. Um à zero grau, outro à  $104^\circ$  ( $\Theta'$ ) e outro a  $180^\circ$ , e dois pontos de mínimo, o primeiro à  $81^\circ$  ( $\Theta'_1$ ) e o segundo à  $153^\circ$  ( $\Theta'_2$ ). Os dados experimentais são de Williams e Trajmar (1978) e Brunger et al. (1985), apresentando boa concordância com o nosso. Brunger et al. (1985) mostra a mesma estrutura com um ponto de mínimo à  $74.7^\circ$  e outro maior que  $130^\circ$ . As maiores diferenças entre nossos dados e os de Brunger et al. estão na região onde a curva apresenta mínimos para  $\Theta > 60^\circ$ . Para  $\Theta$  pequeno o erro diminui comparado com a curva para  $E_1=10\text{eV}$  pois quanto maior a energia menor o efeito de polarização do alvo. Os outros dados teóricos são de Fabrikant (1980) e Avdorin e Amus'ia (1983).



**fig 3.2 SCD para  $E_1=20\text{eV}$ , transição  $3^1S \rightarrow 3^1P$ .** Observamos dois pontos de máximo. Um à zero grau e outro à  $97.5^\circ (\Theta^+)$ , e dois pontos de mínimo, o primeiro à  $85.0^\circ (\Theta^-)$  e o segundo à  $180^\circ$ . Os dados experimentais são de Williams e Trajmar (1978) e Brunger et al. (1985), apresentando boa concordância com o nosso. Brunger et al. (1985) mostra a mesma estrutura com um ponto de mínimo à  $74.7^\circ$ . As maiores diferenças entre nossos dados e os de Brunger et al. estão na região onde a curva apresenta mínimos para  $\Theta > 60^\circ$ . Para  $\Theta$  pequeno o erro diminui comparado com a curva para  $E_1=10\text{eV}$  pois quanto maior a energia menor o efeito de polarização do alvo. Os outros dados teóricos são de Fabrikant (1980) e Avdorin e Amusia (1983).

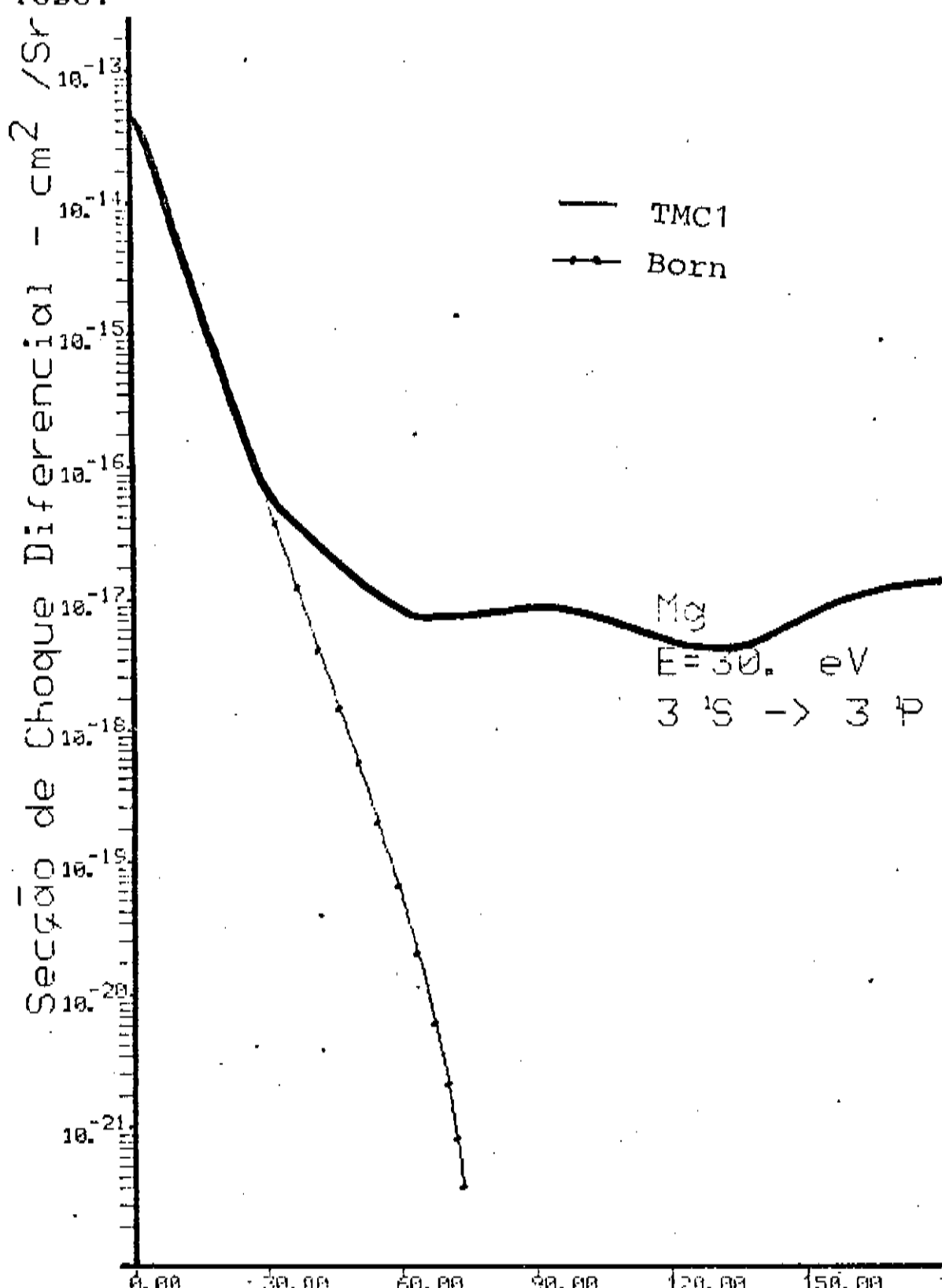


fig. 3.3 SCD para  $E_1=30\text{eV}$ , transição  $3^1\text{S}-3^1\text{P}$ . A curva da SCD mostra três pontos de máximo, um ponto de máximo bem pronunciado à  $0^\circ$ , e outros dois em  $89.7^\circ$  e  $180^\circ$ , e dois pontos de mínimo para  $67.7^\circ(\theta_1)$  e  $130^\circ(\theta_2)$ . O valor da razão entre  $\sigma(\theta_1)$  e  $\sigma(\theta_2)$  no ponto de mínimo é de 10061, e está aumentando com a energia.

Não há na literatura, para esta energia, dados experimentais ou teóricos anteriores ao nosso para que possamos comparar os dados de SCD. A comparação da SCD em FBA já mostra boa concordância para ângulos menores que  $20^\circ$ .

Para ângulos pequenos podemos explicar isto porque a principal contribuição a SCD provém de ondas com parâmetros de impacto grande e portanto a distorção da onda parcial é pouco importante.

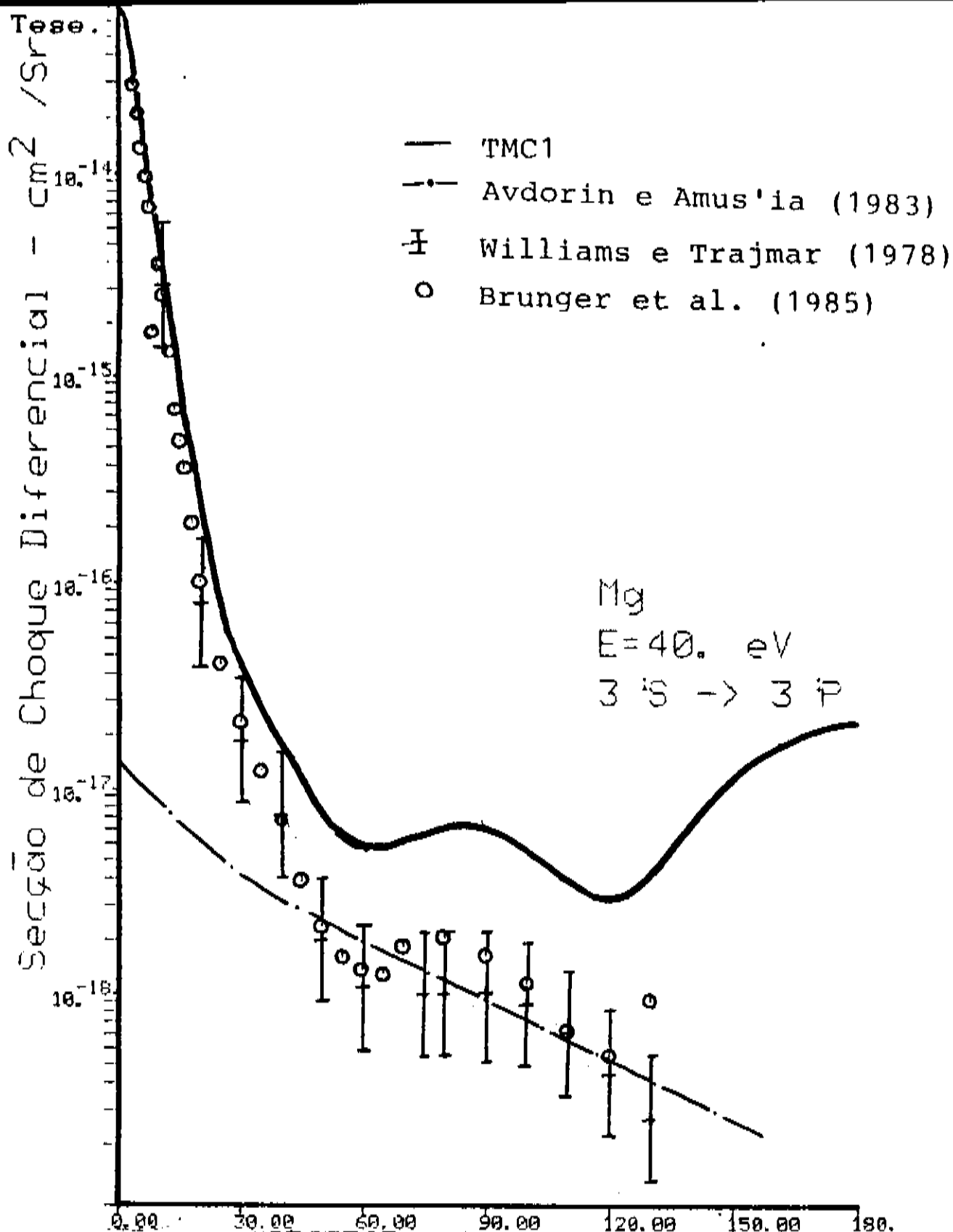


fig. 3.4  $E_i = 40$  eV, transição  $3^1S \rightarrow 3^1P$ . Nesta curva observamos novamente três pontos de máximo, um à zero grau, outro à  $84^\circ$  ( $\Theta^\circ$ ) e outro à  $180^\circ$ , e dois pontos de mínimo à  $61.7^\circ$  ( $\Theta_1$ ) e  $119.7^\circ$  ( $\Theta_2$ ). A razão entre  $\sigma(0^\circ)$  e  $\sigma(\Theta_1)$  aumentou para 22000.

A comparação dos dados experimentais de Williams e Trajamar (1978) e Brunger et al. (1985) é boa para pequenos ângulos. O desvio relativo aumenta conforme o ângulo de espalhamento  $\Theta$  cresce, oscilando entre 69% e 82%, para  $\Theta$  entre  $50^\circ$  e  $130^\circ$ . Para ângulos pequenos o desvio com os dados experimentais está ao redor de 1.4%, o que fica dentro do erro experimental de Brunger et al. que é de 5% para pequenos ângulos, o que é esperado já que a polarização deixa de ser importante para energia  $E_i$  crescente.

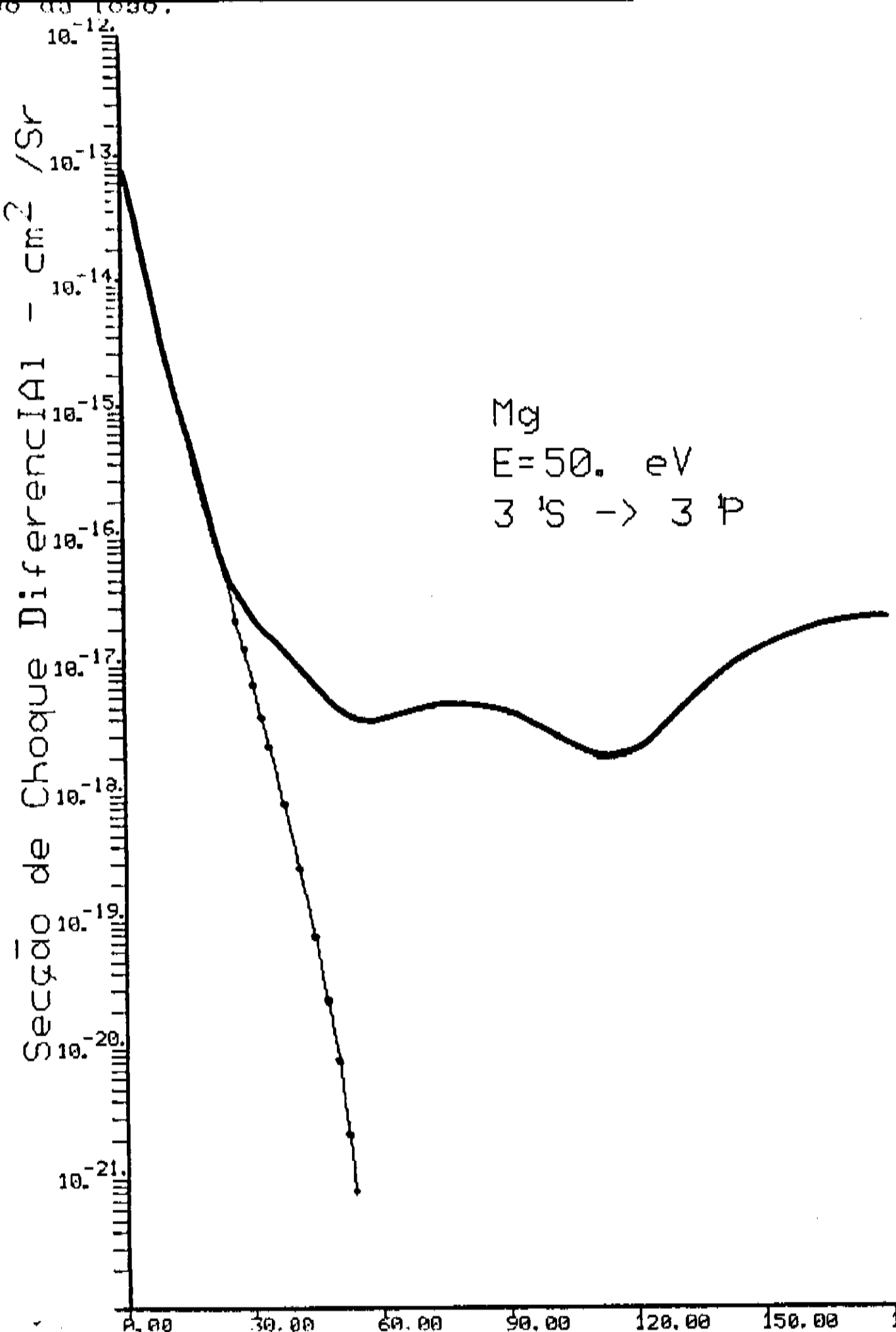


fig. 3.5 SCD para EI=50eV, transição  $3^1S \rightarrow 3^1P$ . Nesta curva observamos outra vez três pontos de máximo, o primeiro à  $0^\circ$ , o segundo à  $79.0^\circ$  ( $\theta_1^+$ ) e o terceiro em  $180^\circ$  e dois pontos de mínimo, um à  $58.2^\circ$  ( $\theta_1^-$ ) e outro à  $114.5^\circ$  ( $\theta_2^-$ ). A razão entre  $\sigma(0^\circ)$  e  $\sigma(\theta_1^-)$  é de 47487.

Não há dados experimentais para esta energia. A comparação com a SCD em FBA mostra um desvio entre as duas curvas muito pequeno para ângulos pequenos, ao redor de 0.4% aumentando quando cresce passando à mais que duas vezes em  $\theta > 40^\circ$ .

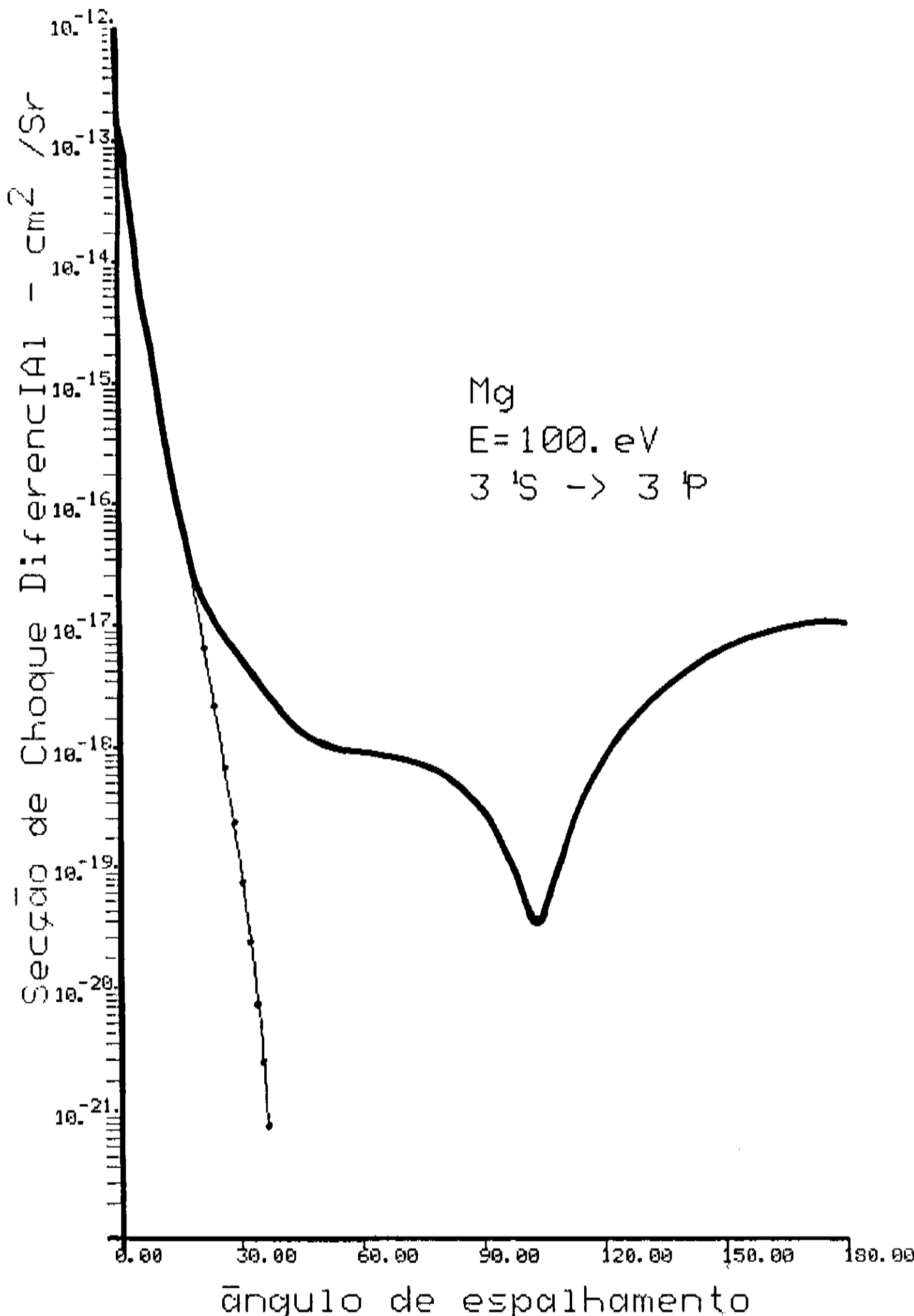


fig 3.6 SCD para  $E=100\text{eV}$ , transição  $3^1S \rightarrow 3^1P$ . Nesta curva observamos dois pontos de máximo, um à zero grau e outro à  $180^\circ$  e um ponto de mínimo à  $103.3^\circ$ . Além disso uma inflexão é apresentada ao redor de  $50^\circ$ , que substitui  $\theta_-^1$  e  $\theta_+^1$ . A razão entre  $\sigma(0)$  e  $\sigma(\theta_0^1)$  é de  $5.19 \times 10^6$ .

Não há dados experimentais para esta energia. Aqui a concordância com a SCD em FBA aumenta mais ainda para pequenos ângulos.

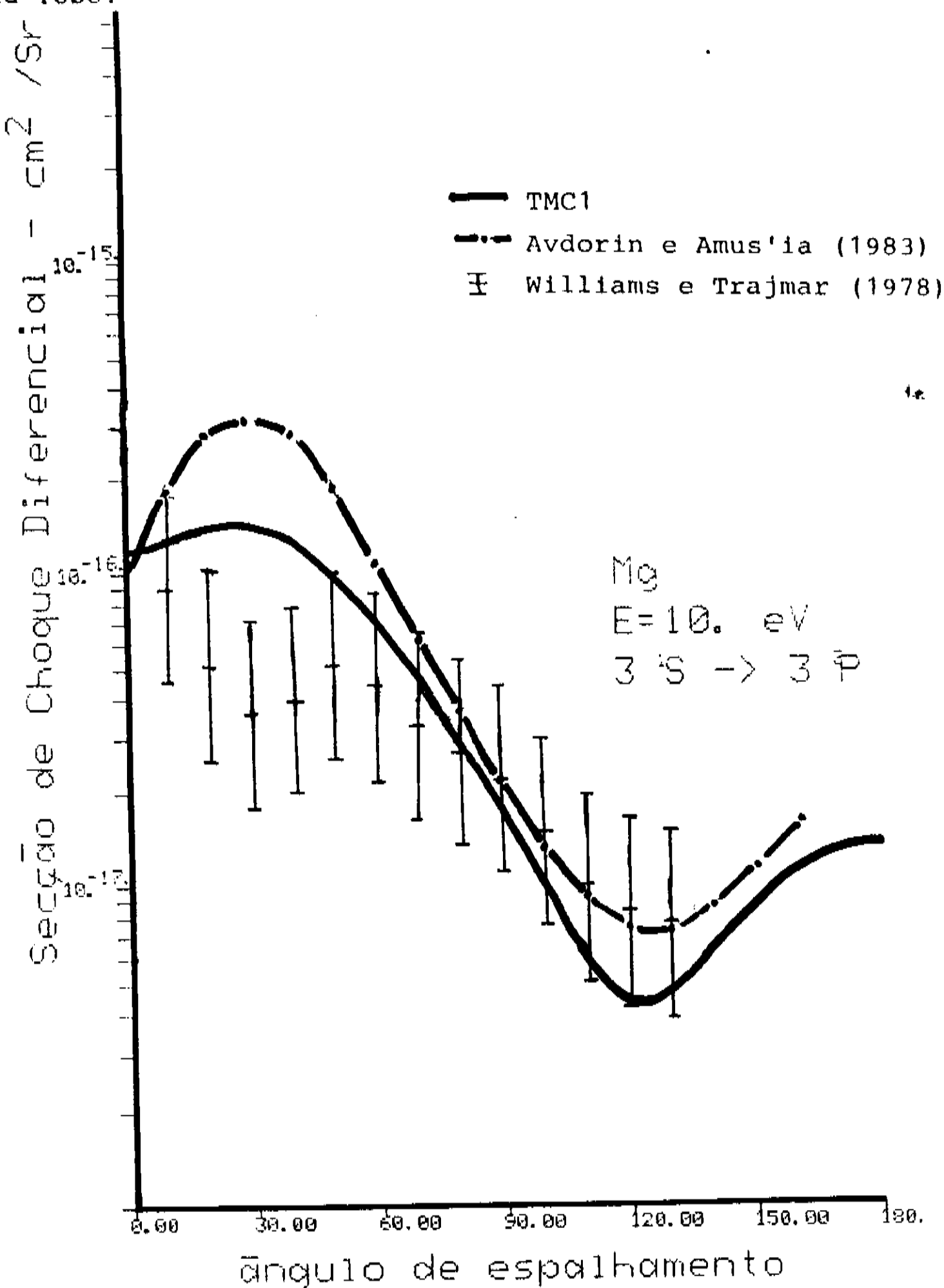


Fig. 3.7 SCD E=10eV, transição  $3^1S \rightarrow 3^3P$ . Nesta curva observamos que a área da SCD é bem menor que para a transição opticamente permitida. Os dados experimentais de Williams e Trajmar. Embora observamos para esta energia uma boa concordância com os dados experimentais, a forma da curva de SCD não concorda em alguns pontos com o experimento, à não ser no fato de que o espalhamento para traz é menos frequente que o espalhamento para frente. Os dados teóricos são de Avdorin e Amus' (1983).

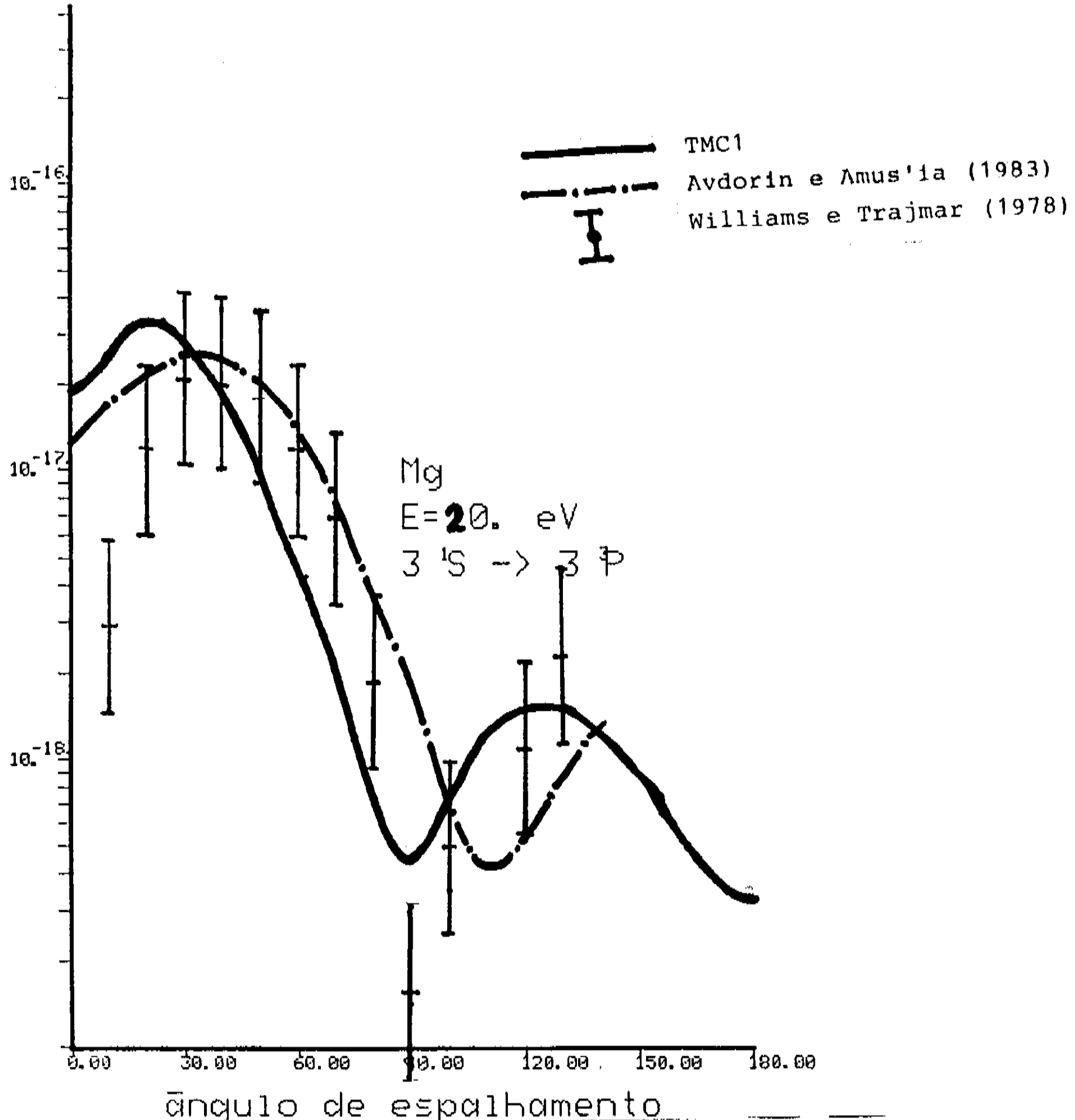


fig.3.8 SCD  $E_1=20\text{ eV}$ , transição  $3^1S \rightarrow 3^3P$ . Nesta curva observamos alguma concordância entre nossos dados e o experimento de Williams e Trajmar (1978). Uma das diferenças entre o nosso cálculo e o de Avdorin e Amus'ia é en quanto consideramos o orbital eletron no campo do estado fundamental, Avdorin e Amus'ia consideraram o orbital do eletron espalhado no campo do estado excitado. A TMC1 mostra com precisão o ponto de mínimo à  $90^\circ$  obtido experimentalmente.

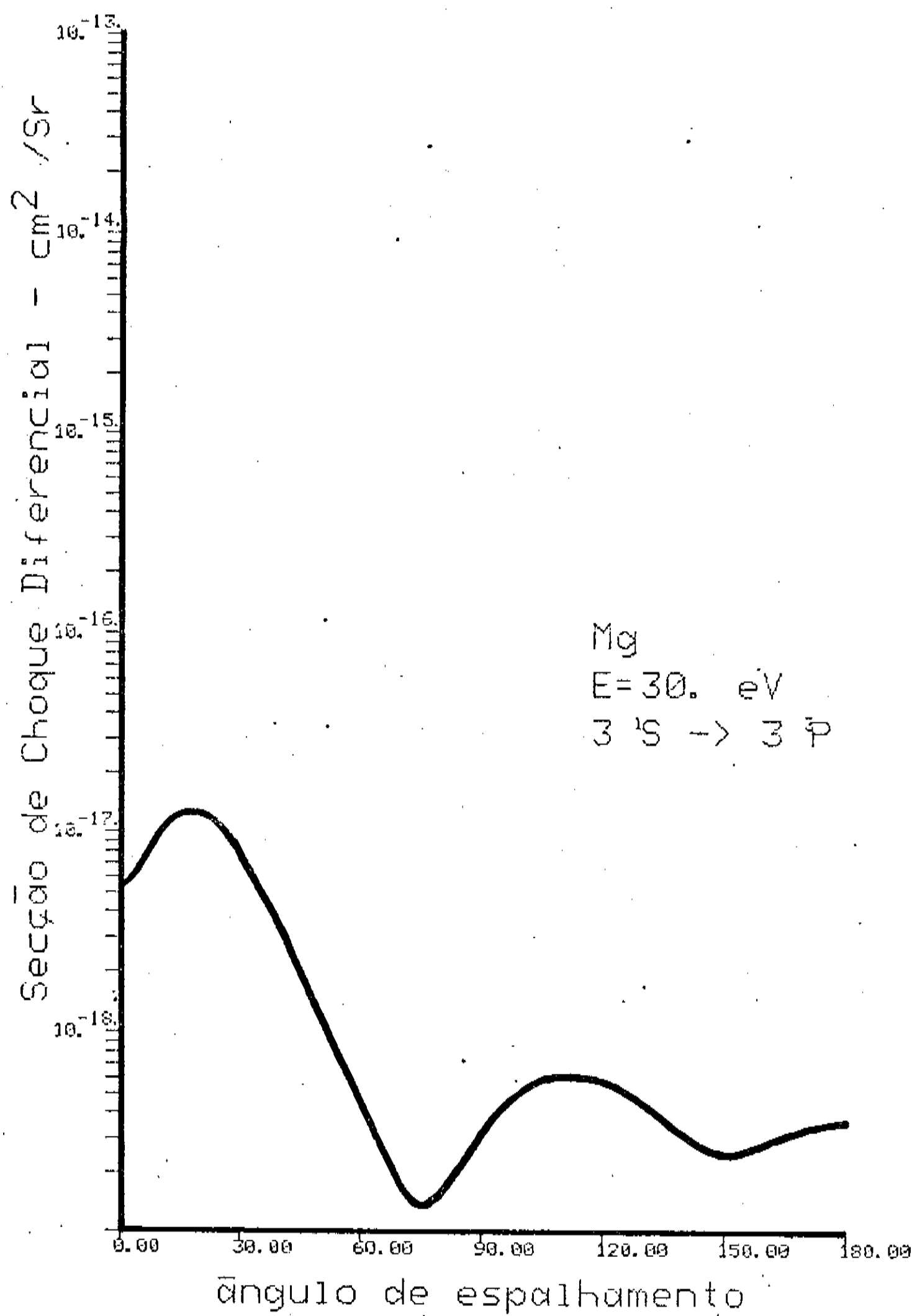


fig. 3.9 SCD para  $E=30$  eV, transição  $3^1S \rightarrow 3^3P$ . Não há dados experimentais ou teóricos para esta energia. Observe que o espalhamento para frente é mais frequente que o espalhamento para traz.

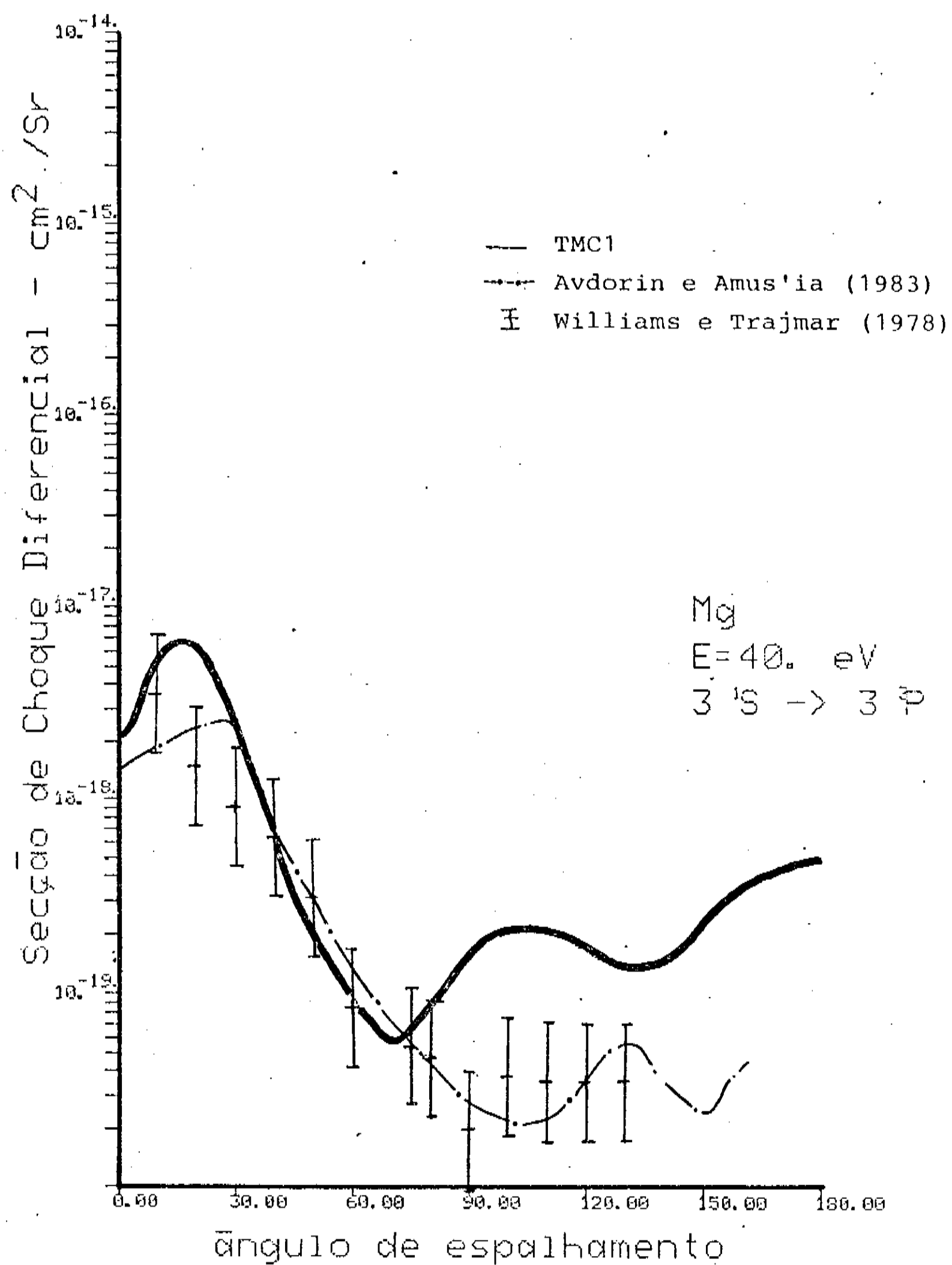


Fig 3.10 SCD para  $E_1=40\text{eV}$ , transição  $3^1S-3^3P$ . Neste gráfico observamos como nossos resultados não reproduzem o comportamento da curva. O fato de que o resultado é melhor para baixas energias sugere que a consideração dos canais abertos deve melhorar nosso resultado nessa energia.

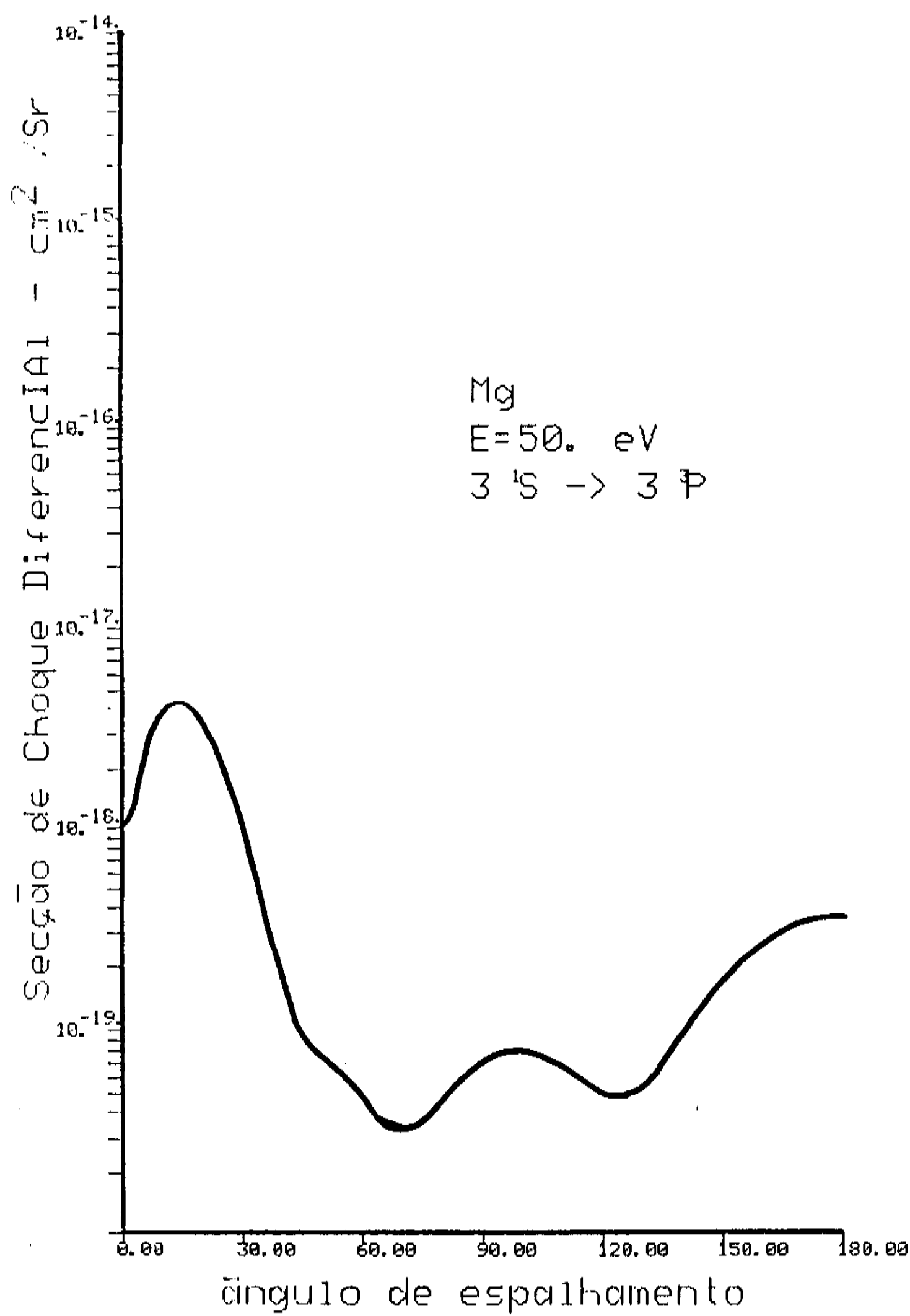


fig 3.11 SCD para  $E_i=50$ , transição  $3^1S \rightarrow 3^3P$ . Não há dados experimentais ou teóricos para comparar nossos resultados para essa energia.

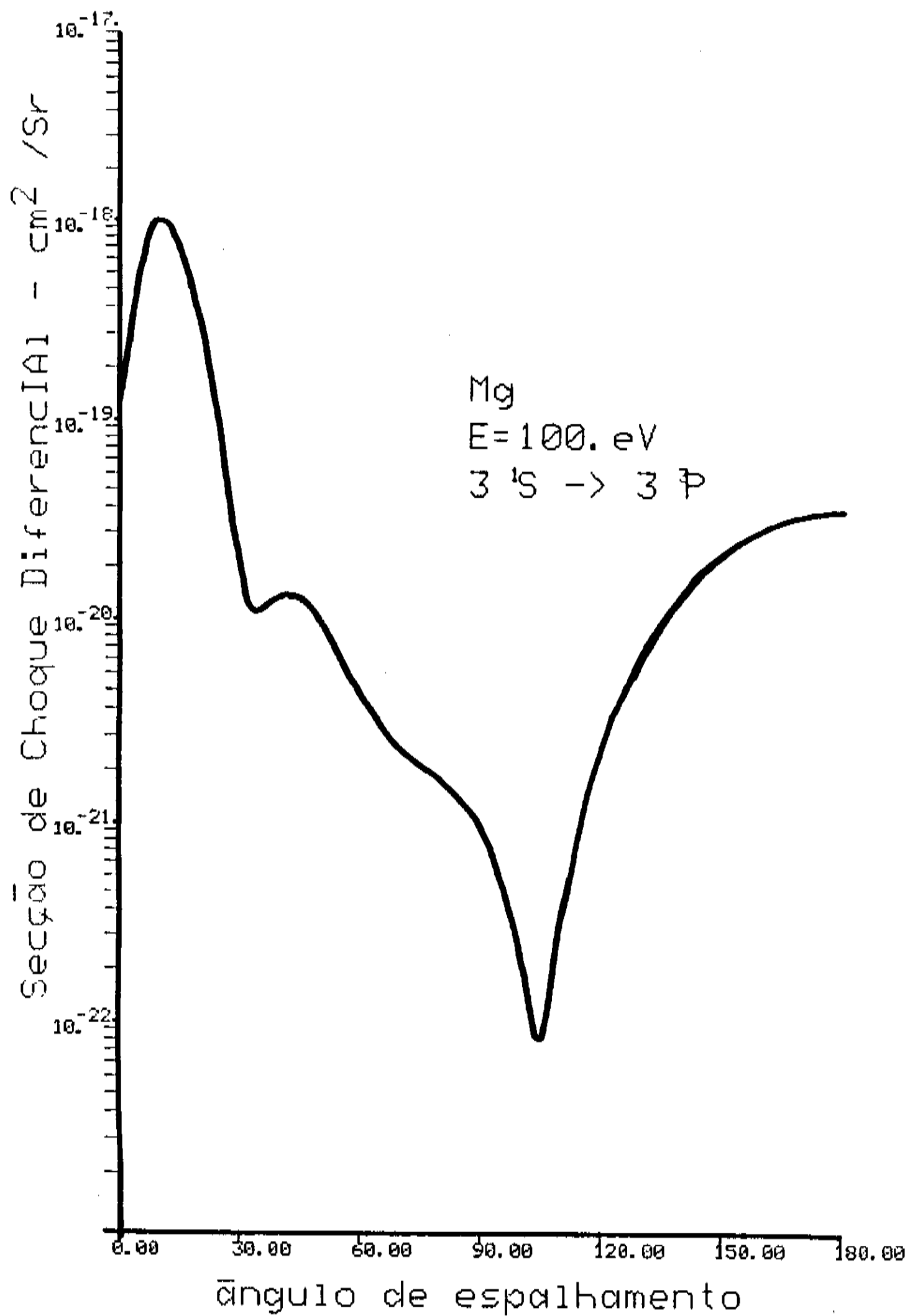


fig. 3.12 SCD para  $E = 100 \text{ eV}$ , transição  $3^1S \rightarrow 3^3P$ . Não há dados experimentais ou teóricos para comparar com essa energia. Observe como a SCD diminui conforme a energia aumenta. Quanto mais rápido o elétron incidente menor a probabilidade de que ocorra espalhamento.

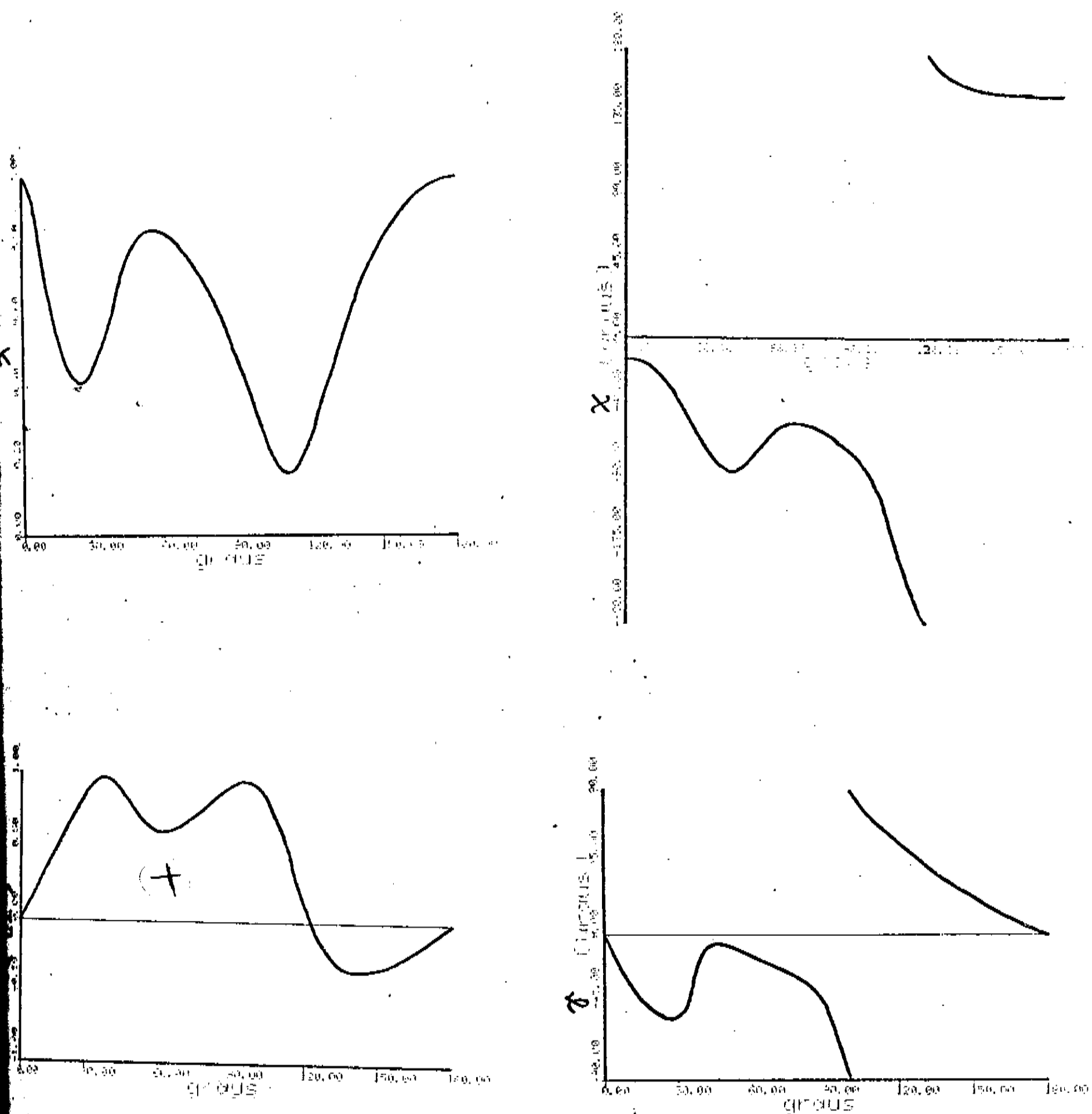
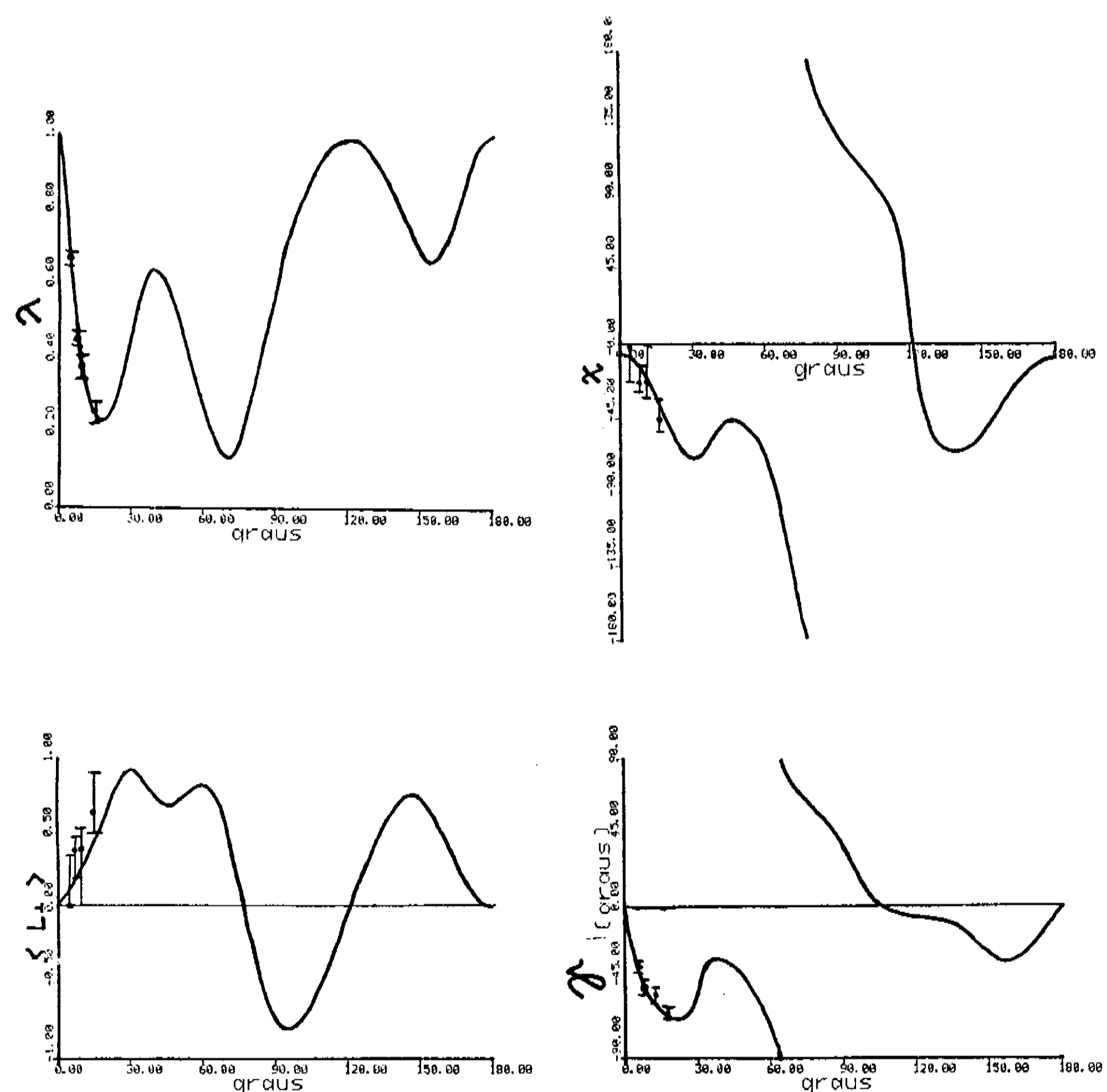


fig 3.13 Parâmetros da experiência de Correlação eletron-fóton,  $E_i = 10 \text{ eV}$   
 Em cima à esquerda o gráfico de  $\lambda$  e à direita o gráfico para  $\chi$ . Em baixo à esquerda o gráfico de  $\langle L_i \rangle$  e à direita gráfico para  $\delta$ . Observe que à  $122^\circ$  o momento angular transferido é zero.



**fig 3.14 Parâmetros da Experiência de Correlação eletro-n-fóton,  $E=20\text{eV}$**   
 O mesmo que na fig. 3.13. Observe que o momento angular orbital transferido é zero à  $77.3^\circ$  que corresponde à um mínimo na SCD, e o parâmetro de alinhamento  $\gamma$  possui um zero à  $109.2^\circ$ , que corresponde à  $\Theta^+$ . Os dados experimentais são de Teubner (1986).

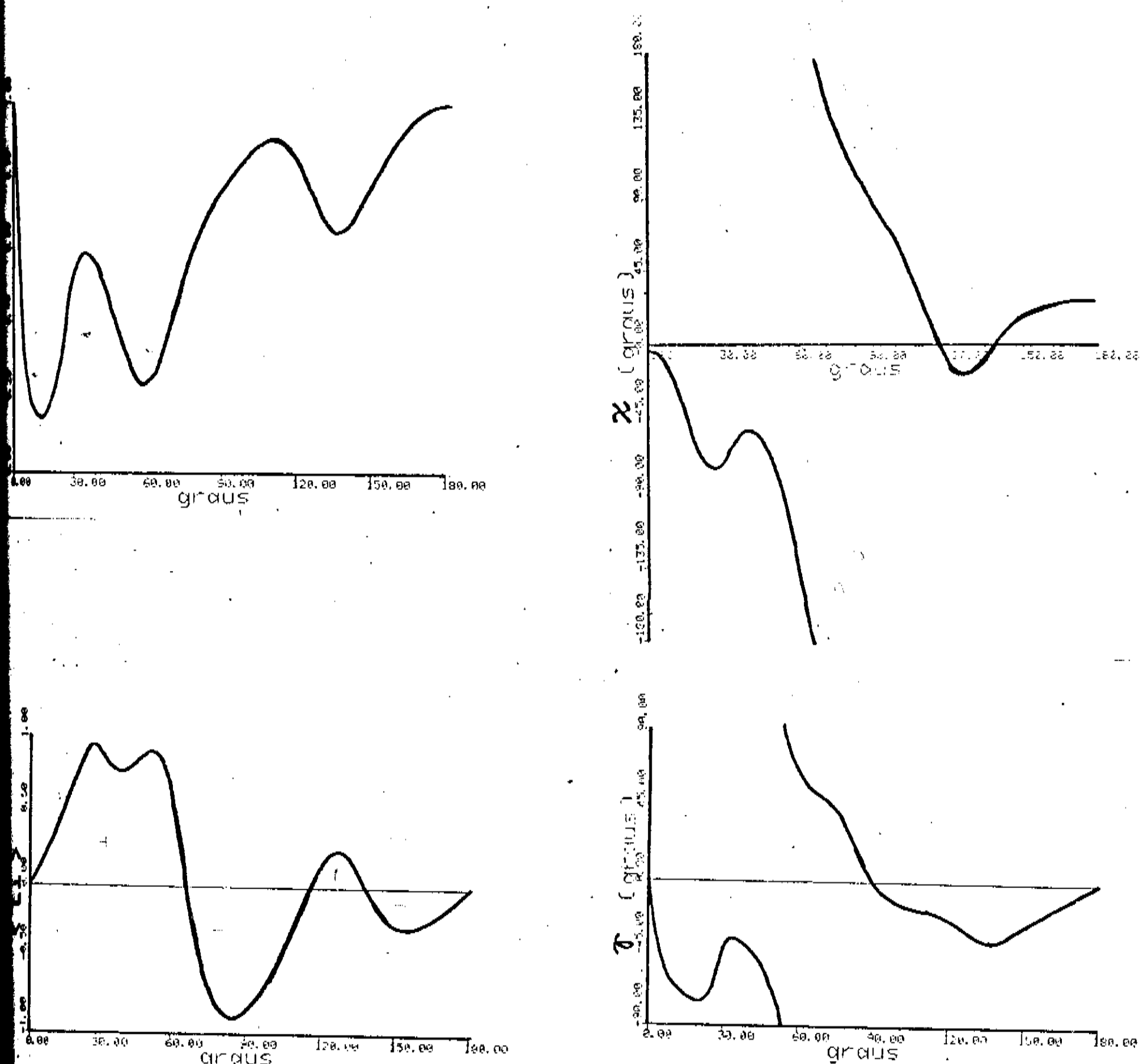


fig 3.15 Parâmetros da Experiência de Correlação eletro-n-fóton,  $E_1 = 30 \text{ eV}$

O mesmo que em 3.13. Note que o momento angular orbital transferido possui um zero à  $66.5^\circ$  ( $\theta_1$ ) e um máximo em  $127^\circ$  ( $\theta_2$ ). O parâmetro de alinhamento é zero para  $89.7^\circ$  que corresponde à  $Q^+$  (exatamente).

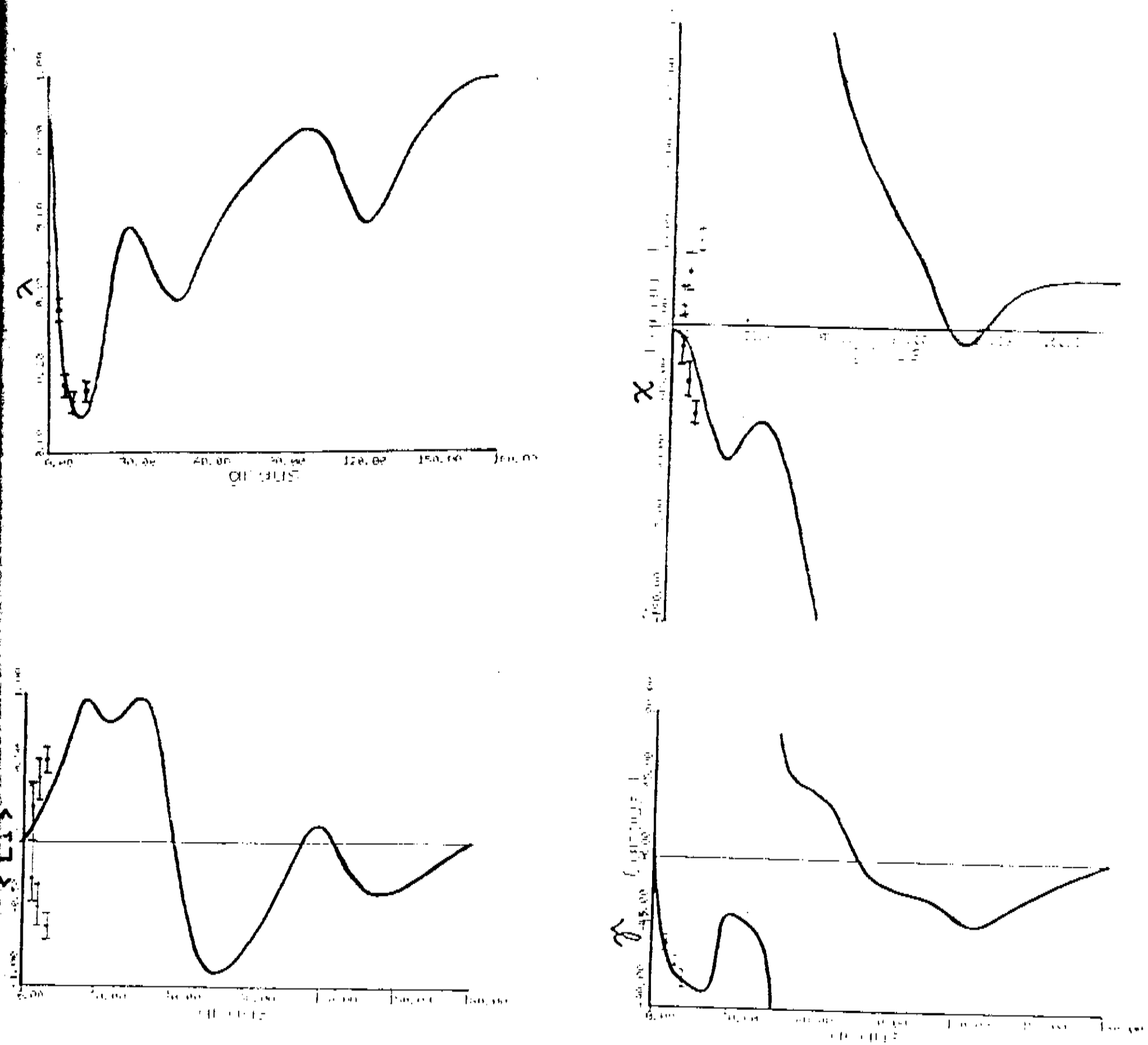
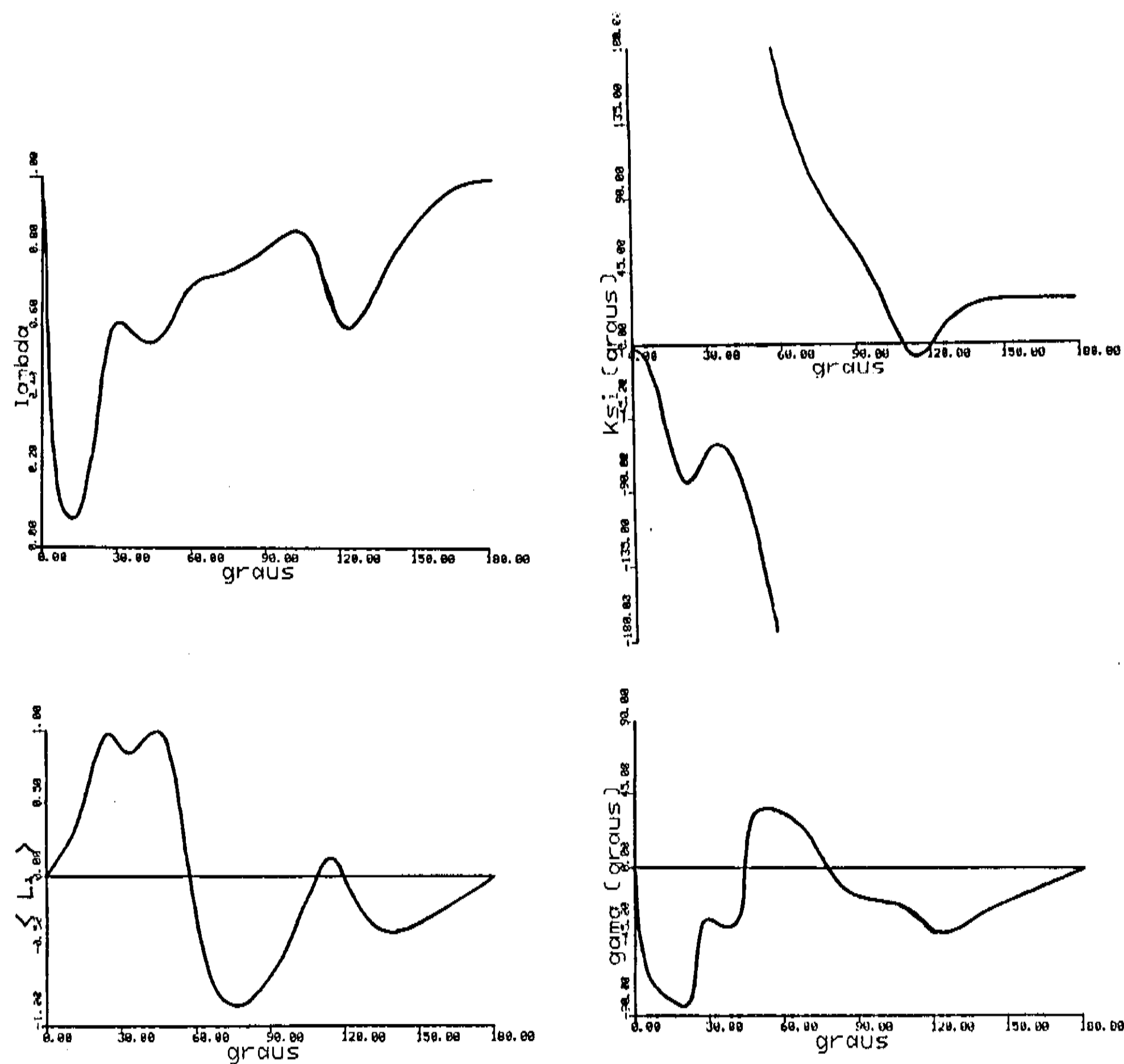


fig 3.16 Parâmetros da Experiência de Correlação elettron-fóton,  $E_1 = 40 \text{ eV}$

O mesmo que em 3.13. Observamos que o momento angular orbital  $\ell_{\text{orb}}$  possui um zero à  $61.5^\circ$  ( $\theta_1 = 61.7^\circ$ ) e um máximo em  $119.2^\circ$  ( $\theta_2$ ). O parâmetro  $\gamma^1$  é zero à  $82^\circ$  ( $\theta^1$ ). Os dados experimentais são de Teubner (1986).



**fig 3.17 Parâmetros da Experiência de Correlação eletron-fóton,  $E_i = 50 \text{ eV}$**   
 O mesmo que em 3.13. Notamos que o momento angular orbital transferido é zero à  $58.1^\circ (\theta_1^-)$  e que tem um máximo para  $114.5^\circ (\theta_2^-)$ , e que  $\gamma$  é zero à  $77.3^\circ (\theta^+)$ .

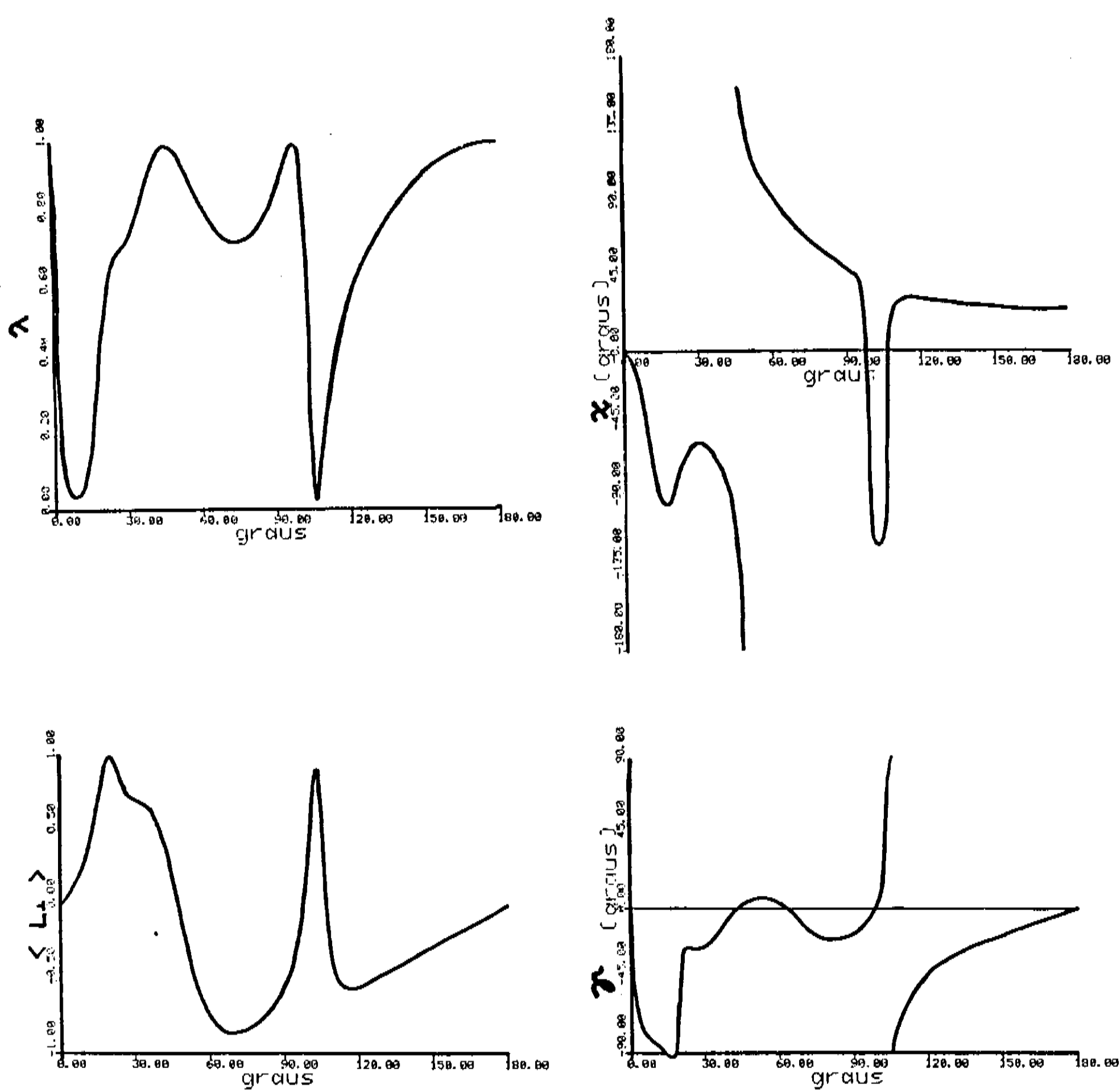


fig 3.17 Parâmetros da experiência de Correlação eletron-fóton,  $E_i = 100$  eV. O mesmo que em 3.13. Em concordância com a SCD observamos que o momento angular transferido possui um máximo em  $102.9^\circ$  ( $\Theta_2^- = 103.3^\circ$ ).

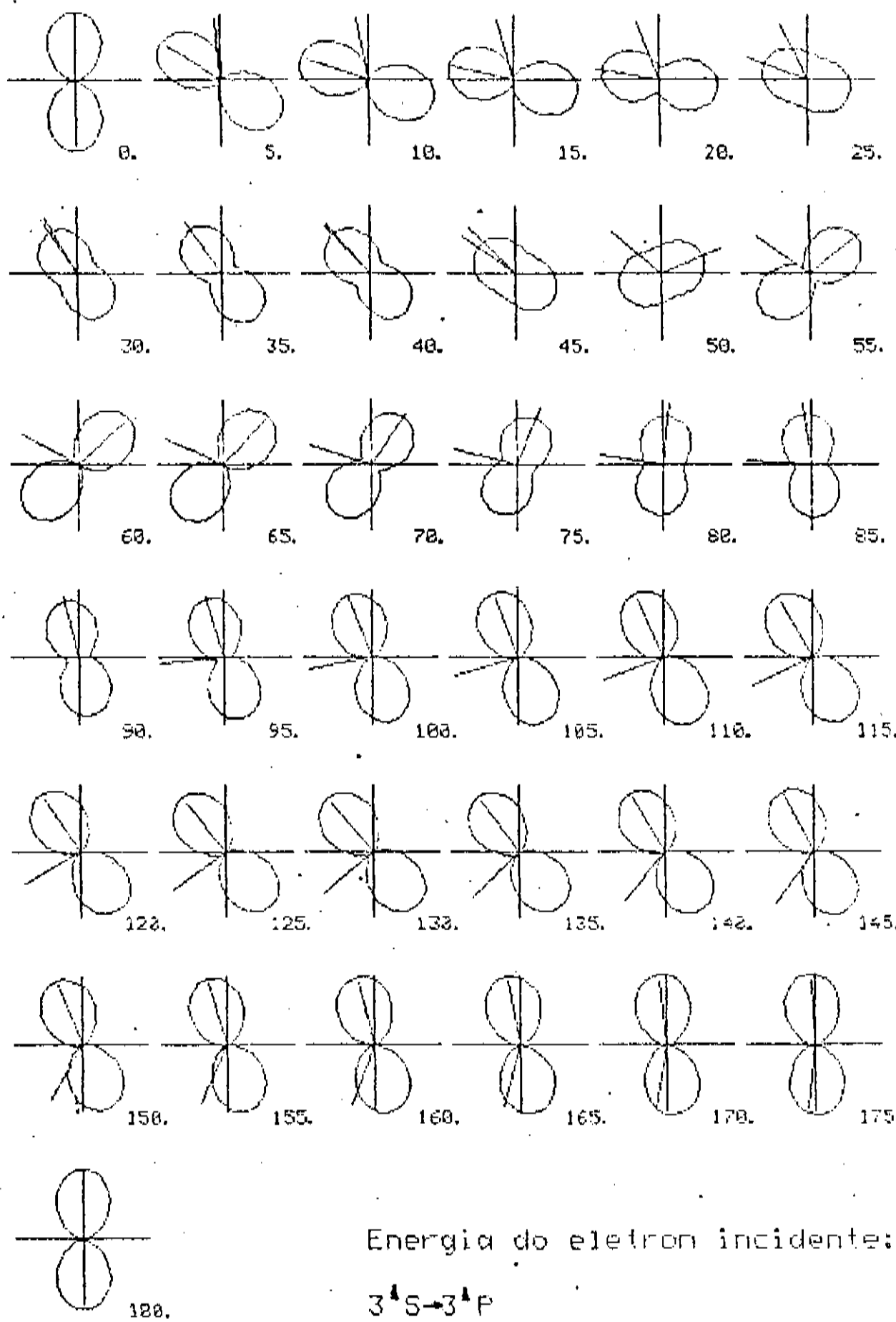


fig 3.18. Gráfico para o formato dos orbitais excitados, para  $Ei=40\text{eV}$  para transição  $3^1S \rightarrow 3^1P$ . Apresentamos o gráfico das funções  $N(\theta, \epsilon_n, \phi_{\pi})$  definidas em 1.87 para a densidade de probabilidade angular do orbital excitado de 5 em 5 graus do ângulo de espalhamento do elétron do contínuo. Na figura, o número à direita é o ângulo de espalhamento, a linha que acompanha o máximo da função representa o ângulo de alinhamento e a linha à direita é para o ângulo de espalhamento.

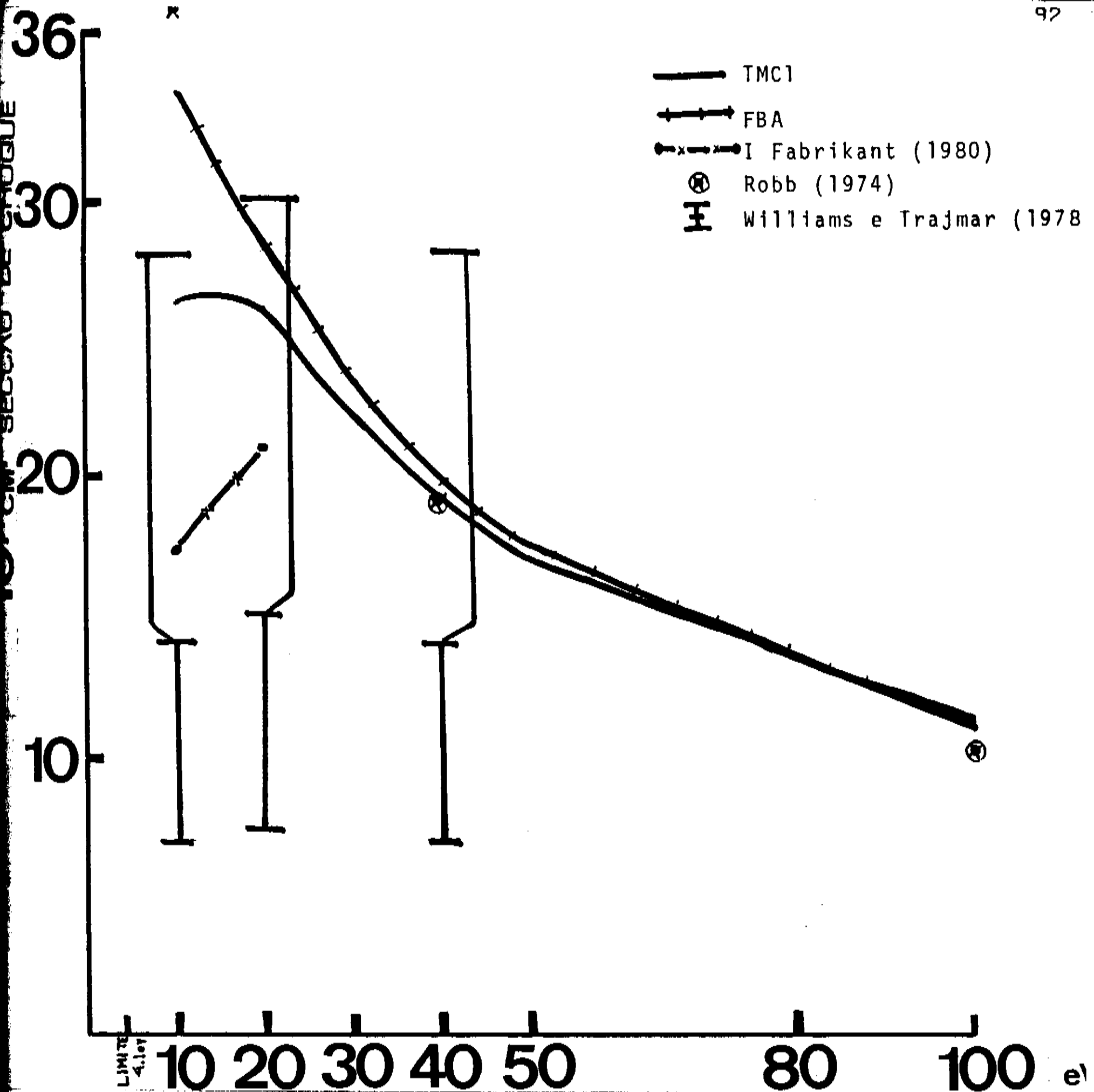


fig. 3.19 Gráfico para SCI, transição  $3^1S \rightarrow 3^1P$ . As curvas apresentadas são para TMC1, FBA, os resultados de Robb (1974) para aproximação de Born com interação de configuração e o cálculo em acoplamento forte (Fabrikant (1980)). Os dados experimentais são de Williams e Trajmar (1978). Observe que a SCI deve ser zero em 4.2 eV. Observamos um ponto de máximo ao redor de 20 eV e depois as curvas vão diminuindo quando a energia cresce. As curvas produzidas em nosso cálculo se aproximam das em FBA para Ei acima de 50 eV.

TABELA DE SECÇÕES DE CHOQUE INTEGRAIS

Energia	TMC1 ( $3^1S \rightarrow 3^1P$ )	TMC1 ( $3^1S \rightarrow 3^3P$ )	FBA ( $3^1P$ )	CC ( $3^1P$ )	Robb ( $3^1P$ )	exp ( $3^1P$ )
10 eV	26. 38979	5. 34050673	33. 9410337	17. 3383	36. 9395	14
20 eV	26. 03785	0. 67813060	28. 415463	21. 3874	-----	15
30 eV	22. 281117	0. 18034082	23. 3799474	-----	-----	--
40 eV	19. 288850	0. 07139474	19. 9042324	-----	19. 1959	14
50 eV	17. 022825	0. 03548352	17. 3855418	-----	-----	--
100eV	10. 897375	0. 00427610	10. 9855451	-----	10. 2096	--

unidades em  $10^{-4} - 16 \text{ cm}^{-2}$

CC = I Fabrikant (1980)

Robb = Robb (1974)

exp = Williams e Trajmar (1978)

SECCAO DE CHOQUE DIFERENCIAL PARA TRANSICAO  $3S \rightarrow 3P$  (CM\*\*2/s)

raus	10eV	20eV	30eV	40eV	50eV	100eV
0	0. 708E-14	0. 277E-13	0. 492E-13	0. 709E-13	0. 926E-13	0. 202E-12
10	0. 453E-14	0. 699E-14	0. 547E-14	0. 403E-14	0. 300E-14	0. 886E-15
20	0. 173E-14	0. 111E-14	0. 526E-15	0. 269E-15	0. 149E-15	0. 217E-16
30	0. 596E-15	0. 220E-15	0. 848E-16	0. 433E-16	0. 262E-16	0. 644E-17
40	0. 247E-15	0. 825E-16	0. 354E-16	0. 189E-16	0. 111E-16	0. 234E-17
50	0. 145E-15	0. 453E-16	0. 177E-16	0. 864E-17	0. 509E-17	0. 131E-17
60	0. 105E-15	0. 252E-16	0. 998E-17	0. 569E-17	0. 412E-17	0. 110E-17
70	0. 763E-16	0. 152E-16	0. 874E-17	0. 625E-17	0. 491E-17	0. 965E-18
80	0. 525E-16	0. 121E-16	0. 988E-17	0. 720E-17	0. 518E-17	0. 707E-18
90	0. 340E-16	0. 120E-16	0. 105E-16	0. 704E-17	0. 454E-17	0. 343E-18
100	0. 221E-16	0. 122E-16	0. 970E-17	0. 569E-17	0. 323E-17	0. 633E-19
110	0. 164E-16	0. 113E-16	0. 771E-17	0. 400E-17	0. 210E-17	0. 163E-18
120	0. 156E-16	0. 951E-17	0. 571E-17	0. 322E-17	0. 222E-17	0. 925E-18
130	0. 177E-16	0. 720E-17	0. 489E-17	0. 434E-17	0. 429E-17	0. 250E-17
140	0. 210E-16	0. 499E-17	0. 588E-17	0. 765E-17	0. 839E-17	0. 480E-17
150	0. 241E-16	0. 336E-17	0. 849E-17	0. 125E-16	0. 138E-16	0. 748E-17
160	0. 262E-16	0. 240E-17	0. 118E-16	0. 177E-16	0. 193E-16	0. 100E-16
170	0. 273E-16	0. 194E-17	0. 145E-16	0. 217E-16	0. 233E-16	0. 118E-16
180	0. 276E-16	0. 182E-17	0. 155E-16	0. 232E-16	0. 248E-16	0. 125E-16

SECCAO DE CHOQUE DIFERENCIAL PARA TRANSICAO  $3S \rightarrow 3P$  (CM\*\*2)

raus	10eV	20eV	30eV	40eV	50eV	100eV
0	0. 118E-15	0. 189E-16	0. 522E-17	0. 204E-17	0. 101E-17	0. 127E-18
10	0. 125E-15	0. 253E-16	0. 978E-17	0. 545E-17	0. 366E-17	0. 110E-17
20	0. 139E-15	0. 325E-16	0. 125E-16	0. 617E-17	0. 345E-17	0. 356E-18
30	0. 142E-15	0. 283E-16	0. 788E-17	0. 269E-17	0. 104E-17	0. 211E-19
40	0. 126E-15	0. 181E-16	0. 326E-17	0. 704E-18	0. 180E-18	0. 139E-19
50	0. 987E-16	0. 962E-17	0. 119E-17	0. 215E-18	0. 746E-19	0. 108E-19
60	0. 702E-16	0. 463E-17	0. 466E-18	0. 101E-18	0. 497E-19	0. 494E-20
70	0. 466E-16	0. 198E-17	0. 183E-18	0. 578E-19	0. 334E-19	0. 264E-20
80	0. 293E-16	0. 734E-18	0. 155E-18	0. 861E-19	0. 459E-19	0. 184E-20
90	0. 176E-16	0. 448E-18	0. 314E-18	0. 159E-18	0. 711E-19	0. 105E-20
100	0. 102E-16	0. 754E-18	0. 516E-18	0. 213E-18	0. 796E-19	0. 236E-21
110	0. 598E-17	0. 123E-17	0. 623E-18	0. 214E-18	0. 675E-19	0. 320E-21
120	0. 432E-17	0. 153E-17	0. 581E-18	0. 172E-18	0. 505E-19	0. 237E-20
130	0. 465E-17	0. 151E-17	0. 444E-18	0. 137E-18	0. 519E-19	0. 702E-20
140	0. 632E-17	0. 125E-17	0. 313E-18	0. 152E-18	0. 969E-19	0. 141E-19
150	0. 867E-17	0. 889E-18	0. 256E-18	0. 231E-18	0. 174E-18	0. 225E-19
160	0. 111E-16	0. 577E-18	0. 284E-18	0. 348E-18	0. 265E-18	0. 304E-19
170	0. 129E-16	0. 393E-18	0. 344E-18	0. 450E-18	0. 338E-18	0. 363E-19
180	0. 136E-16	0. 336E-18	0. 374E-18	0. 499E-18	0. 357E-18	0. 381E-19

## Sintese da Tese.

#### PARAMETRO $\alpha$

### **PARAMETRO 3**

**PARAMETRO <1>**

## PARAMETRO

# Parâmetros de Stokes

<b>10 eV</b>						<b>20 eV</b>					
	<b>P<sub>1</sub></b>	<b>P<sub>2</sub></b>	<b>P<sub>3</sub></b>		<b>P<sub>1</sub></b>	<b>P<sub>2</sub></b>	<b>P<sub>3</sub></b>		<b>P<sub>1</sub></b>	<b>P<sub>2</sub></b>	<b>P<sub>3</sub></b>
0	1.00000	0.00000	0.00000		1.00000	0.00000	0.00000		0.00000	0.00000	0.00000
10	0.49502	-0.92416	-0.26783		-0.26074	-0.92522	-0.27566		-0.27566	-0.92522	-0.26783
20	-0.04471	-0.91898	-0.57203		-0.51837	-0.56953	-0.63791		-0.63791	-0.56953	-0.51837
30	-0.11015	-0.46772	-0.87592		-0.08424	-0.36443	-0.92741		-0.92741	-0.36443	-0.08424
40	0.26871	-0.13995	-0.95300		0.28054	-0.57591	-0.76787		-0.76787	-0.57591	0.28054
50	0.64389	-0.16168	-0.74784		0.01336	-0.69298	-0.72083		-0.72083	-0.69298	0.01336
60	0.69879	-0.36010	-0.61803		-0.44165	-0.34950	-0.82631		-0.82631	-0.34950	-0.44165
70	0.56717	-0.48955	-0.66229		-0.71972	0.41352	-0.55768		-0.55768	0.41352	-0.71972
80	0.33819	-0.49775	-0.79867		-0.42847	0.87641	0.21982		0.21982	0.87641	-0.42847
90	0.00997	-0.36200	-0.93213		0.15132	0.65815	0.73753		0.73753	0.65815	0.15132
100	-0.39241	-0.02849	-0.91935		0.60727	0.26248	0.74989		0.74989	0.26248	0.60727
110	-0.64593	0.47847	-0.59481		0.88017	-0.01678	0.47436		0.47436	-0.01678	0.88017
120	-0.47383	0.87573	-0.09267		0.98453	-0.15865	0.07434		0.07434	-0.15865	0.98453
130	-0.04905	0.97016	0.23747		0.91041	-0.22721	-0.34572		-0.34572	-0.22721	0.91041
140	0.34305	0.87469	0.34240		0.66697	-0.32531	-0.67031		-0.67031	-0.32531	0.66697
150	0.63190	0.70469	0.32265		0.38903	-0.54615	-0.74187		-0.74187	-0.54615	0.38903
160	0.83281	0.49720	0.24335		0.38888	-0.77934	-0.49133		-0.49133	-0.77934	0.38888
170	0.95697	0.25907	0.13071		0.75571	-0.63558	-0.15793		-0.15793	-0.63558	0.75571
180	1.00000	0.00000	0.00000		1.00000	0.00000	0.00000		0.00000	0.00000	1.00000
<b>30 eV</b>						<b>40 eV</b>					
	<b>P<sub>1</sub></b>	<b>P<sub>2</sub></b>	<b>P<sub>3</sub></b>		<b>P<sub>1</sub></b>	<b>P<sub>2</sub></b>	<b>P<sub>3</sub></b>		<b>P<sub>1</sub></b>	<b>P<sub>2</sub></b>	<b>P<sub>3</sub></b>
0	1.00000	0.00000	0.00000		1.00000	0.00000	0.00000		0.00000	0.00000	0.00000
10	-0.60109	-0.75046	-0.27478		-0.75309	-0.59747	-0.27547		-0.27547	-0.59747	-0.75309
20	-0.61758	-0.36078	-0.69889		-0.61033	-0.20862	-0.76418		-0.76418	-0.20862	-0.61033
30	0.04179	-0.34865	-0.93632		0.15084	-0.37325	-0.91539		-0.91539	-0.37325	0.15084
40	0.08563	-0.62699	-0.77431		0.04160	-0.50013	-0.86495		-0.86495	-0.50013	0.04160
50	-0.31689	-0.31150	-0.89585		-0.17887	0.18044	-0.96718		-0.96718	0.18044	-0.17887
60	-0.52204	0.57130	-0.61469		-0.03314	0.98487	-0.17009		-0.17009	0.98487	-0.03314
70	-0.17025	0.92323	0.34449		0.26190	0.65433	0.70940		0.70940	0.65433	0.26190
80	0.25706	0.46035	0.84971		0.43925	0.08933	0.89391		0.89391	0.08933	0.43925
90	0.53405	-0.01333	0.84535		0.57948	-0.29450	0.75992		0.75992	-0.29450	0.57948
100	0.72061	-0.32914	0.61024		0.69690	-0.53706	0.47529		0.47529	-0.53706	0.69690
110	0.80986	-0.52948	0.25251		0.68809	-0.72017	0.08884		0.08884	-0.72017	0.68809
120	0.70476	-0.69807	-0.12654		0.38965	-0.91209	-0.12755		-0.12755	-0.91209	0.38965
130	0.40504	-0.88655	-0.22353		0.23061	-0.96302	0.13934		0.13934	-0.96302	0.23061
140	0.32919	-0.94249	0.05782		0.44204	-0.83134	0.33685		0.33685	-0.83134	0.44204
150	0.55372	-0.79319	0.25346		0.68671	-0.64514	0.33500		0.33500	-0.64514	0.68671
160	0.79600	-0.55152	0.24941		0.86319	-0.44046	0.24677		0.24677	-0.44046	0.86319
170	0.94919	-0.28055	0.14258		0.96615	-0.22367	0.12851		0.12851	-0.22367	0.96615
180	1.00000	0.00000	0.00000		1.00000	0.00000	0.00000		0.00000	0.00000	1.00000

### 3.2 Análise dos resultados.

#### 1. A forma das curvas de SCD

Pico à zero grau.

As SCD calculadas em TMC1 para a transição  $3^1S \rightarrow 3^1P$ , apresentam para pequenos ângulos o formato esperado para transições opticamente permitidas, isto é um pico pronunciado à  $\Theta = 0^\circ$ . Nesta região,  $\sigma(\Theta)$  em FBA se aproxima da curva produzida em TMC1, já que a principal contribuição do espalhamento passa a ser das ondas de parâmetro de impacto grande que são progressivamente mais próximas das funções de Bessel (ver 1.37), e a aproximação de ondas planas começa a valer. Observando a fórmula da matriz T em FBA (eq. J.13 e J.14 apêndice J) percebemos que a SCD é proporcional à potência negativas de  $|\vec{A}|$ , momento linear transferido, que apresenta seu menor valor no espalhamento para frente. Logo  $\sigma$  deve ter um máximo à  $\Theta = 0^\circ$ . Além disso para E crescente,  $|\vec{A}|$  diminui e por isso quanto maior a energia maior o valor de  $\sigma$  em zero grau(FBA).

Forma da SCD.

As curvas de SCD apresentam comportamentos semelhantes para todas as energias calculadas. Para a transição opticamente permitida  $3^1S \rightarrow 3^1P$  percebemos que :

- Conforme a energia aumenta o valor da SCD em  $\Theta = 0^\circ$  aumenta, enquanto que o valor de  $\sigma$  para ângulos intermediários diminui.

b. As curvas apresentam três pontos de máximo, à  $0^\circ$ ,  $\Theta^+$  e  $180^\circ$  e dois pontos de mínimo à  $\Theta_1^-$  e  $\Theta_2^-$ , à excessão de  $Ei=10$ , 20 e 100eV, cujas relações encontradas entre  $\Theta_1^-$ ,  $\Theta_2^-$  e  $\Theta^+$  prevêm que estes não existem.

c. Observamos que a relação  $\Theta_2^-/\Theta_1^- = 1.9$  permanece aproximadamente constante para todas as energias onde observamos  $\Theta_1^-$  e  $\Theta_2^-$ .

d. Os valores de  $\Theta_1^-$ ,  $\Theta^+$  e  $\Theta_2^-$  diminuem sistematicamente à medida que a energia  $Ei$  cresce.

A tabela abaixo descreve estas relações:

$Ei$	10	20	30	40	50	100
$\sigma(0^\circ)/\sigma(\Theta_2^-)$	450	15219*	10061	22000	47787	5.16E6
$\sigma(0^\circ) \frac{10^{16} \text{cm}^2}{\text{Sr}}$	70.8	277	492	708	926	2020
$\Theta_2^-/\Theta_1^-$	--	--	1.884	1.919	1.970	--

tabela 3.2 Na primeira linha a relação entre a SCD à  $\Theta = 0^\circ$  e  $\Theta_2^-$ . Na segunda linha SCD para  $\Theta = 0^\circ$ , que é crescente com a energia e na terceira a razão entre  $\Theta_2^-$  e  $\Theta_1^-$ , que varia menos que 1% entre 30 e 50eV. O ponto  $\Theta_1^-$  foi substituído por  $\Theta = 180^\circ$  em \*.

Para a transição proibida observamos que:

a. O valor da SCD é bem menor que para a transição opticamente permitida, decrescendo à medida que a energia  $Ei$  cresce.

b. Apresentam um ponto de mínimo à zero grau, passando por um ponto de máximo que diminui lentamente de  $35^\circ$  à  $E_i=10\text{eV}$  para  $9^\circ$  em  $E_i=100\text{eV}$  ficando cada vez mais pronunciado à medida que  $E_i$  cresce.

c. Observamos nos gráficos que o espalhamento para frente é mais intenso que o espalhamento para trás em todas as energias do elétron incidente.

## 2. Comparação com os dados experimentais.

Temos dados experimentais para  $E_i=10, 20$  e  $40\text{ eV}$  para as transições  $3^1S \rightarrow 3^1P$  e  $3^1S \rightarrow 3^3P$ . Williams e Trajmar (1978) publicaram as SCD e SCI para  $10, 20$  e  $40\text{ eV}$  para as transições  $3^1S \rightarrow 3^3P$ . Brunger et al. (1985) e P.J.O. Teubner (1986) mediram as SCD para  $10, 20$  e  $40\text{ eV}$  para a transição  $3^1S \rightarrow 3^1P$ .

As medidas experimentais de Williams e Trajmar estão corretas dentro de um fator de dois e os dados de Brunger et al. e Teubner dão uma margem ao redor de 5%, embora para ângulos maiores que  $100^\circ$  o desvio estimado pode chegar a 18% em  $E_i=10\text{eV}$ .

No entanto as medidas obtidas por Teubner e Brunger et al. estão dentro dos limites de erro estimado das medidas de Williams e Trajmar. Considerando que as medidas de Teubner e Brunger et al. são mais recentes, apresentam desvios estimados menores e estão dentro dos limites de erro de Williams e Trajmar, assumimos que as medidas de Teubner e Brunger et al. são mais precisas que as de Williams e Traj-

mar. é com os dados de Teubner e Brunger et al. que passamos à comparar nossos resultados.

A comparação dos dados experimentais disponíveis com os nossos cálculos mostra uma boa concordância geral para todas as energias para a transição  $3^1S \rightarrow 3^1P$ , e uma concordância razoável para  $3^1S \rightarrow 3^3P$ .

Em geral nossos cálculos para a transição opticamente permitida ficam dentro do erro experimental de Williams e Trajamar e próximas dos dados de Brunger e Teubner.

A estrutura das SCD obtidas por Teubner e Brunger et al. concorda de maneira excelente com o nosso cálculo para a transição opticamente permitida  $3^1S \rightarrow 3^1P$ .

Na tabela 3.3 abaixo apresentamos os ângulos  $\Theta_1^-$ ,  $\Theta^+$  e  $\Theta_2^-$  calculados em TMC1 comparados com os dados experimentais, e com valores de ângulos de espalhamento para os quais  $\langle L_L \rangle = 0$ ,  $\gamma = 0^\circ$  e  $\langle LL \rangle$  é máximo, respectivamente (ver pag 101-103).

E1	$\langle L_L \rangle = 0$				$\gamma = 0$				máximo	$\langle L_L \rangle$	$\Theta_2^-$	EXP*
	eV	graus	$\Theta_1^-$	EXP*	graus	$\Theta^+$	EXP*					
10	122.0	117.0	116.0	---	---	---	---	---	---	---	---	---
20	77.3	85.0	74,7	109.2	98.0	95.3	147.2	---	---	---	---	---
30	66.6	67.7	---	89.7	89.7	---	127.0	130.0	---	---	---	---
40	61.5	61.7	62.7	82.0	84.0	76.0	119.2	119.7	118.3	---	---	---
50	58.1	58.2	---	77.3	79.0	---	114.5	114.5	---	---	---	---
100	--	---	---	--	---	---	102.9	103.3	---	---	---	---

\* Os dados experimentais foram interpolados por nós para obter o valor de  $\Theta_1^-$ ,  $\Theta_2^-$  e  $\Theta^+$ .

Algumas regiões apresentam maior margem de desvio do dado experimental que outras. As maiores diferenças ocorrem para ângulos intermediários ao redor de  $\Theta_1$  e  $\Theta_2$ , na excitação  $3^1S \rightarrow 3^1P$ . No caso da transição  $3^1S \rightarrow 3^3P$  os desvios estão na maioria dos ângulos medidos.

### 3. Análise dos resultados de SCD e SCI.

#### a. SCD Transição $3^1S \rightarrow 3^1P$ .

Observamos que os dados experimentais para ângulos pequenos estão abaixo da curva obtida por nós usando TMCl, porém o desvio diminui à medida que a energia  $E_1$  aumenta.

Nesta região sabemos que ondas parciais de parâmetro de impacto grande são importantes no processo. Logo a inclusão de polarização em nosso cálculo, que é um potencial de longo alcance ( $\beta/(\epsilon r^4)$ ), provavelmente melhore nosso resultado.

Note que os resultados teóricos de I. Fabrikant que inclui a polarização do alvo, estão mais próximos dos dados experimentais que os nossos para pequenos ângulos.

As discordâncias com os dados experimentais na região de ângulos intermediários estão relacionadas à interações de curto alcance e ao termo de troca. Assim, o efeito de correlação dos elétrons do alvo (Multiconfiguração), de distorção da função do alvo pela presença do elétron do contínuo, e da função de onda do elétron do contínuo pela presença do alvo distorcido etc passa à ser mais importante no cálculo de T e das SCD. Além disso o número de canais abertos aumenta conforme a energia cresce.

Notamos que à medida que  $E_1$  aumenta o desvio para ângulos intermediários aumenta. Ora, o efeito que deve se tornar mais importante à medida que a energia aumenta é o número de canais não considerados e abertos, gerando erros no cálculo.

Para melhorar a SCD na região de ângulos intermediários devemos introduzir efeitos de segunda ordem em nosso cálculo já que em TMC o problema de acoplar vários canais é substituído pela determinação exata do potencial óptico  $\Sigma$  (elástico) e do potencial de transição (Gy. Csanak e H S Taylor 1973).

Os efeitos de segunda ordem são basicamente polarizações diretas e de troca.

Podemos especular ainda que a estrutura das SCD apresentada corretamente em nosso cálculo depende apenas dos efeitos levados em conta, ou seja da estrutura do átomo de Mg .

#### b. SCD para transição $3^1S \rightarrow 3^3P$ .

Embora uma aproximação razoável se apresente nos gráficos para SCD  $3^1S \rightarrow 3^3P$ , a estrutura das curvas obtidas concorda com o experimento.

Observamos que experimentalmente o espalhamento para traz é menos frequente que o espalhamento para frente e que a TMC1 prevê este fato.

No espalhamento da transição  $3^1S \rightarrow 3^3P$  as interações de curto alcance dominam o processo (lembrando que neste caso temos a dependência da matriz  $T^{\text{sonante}}$  com o termo de troca).

Provavelmente efeitos de segunda ordem são mais importantes aqui para uma correta determinação das SCD, porém uma correta descrição do alvo deve melhorar o resultado.

#### c. SCI para transição $3^1S \rightarrow 3^1P$ .

O gráfico 3.19 apresenta as curvas de SCI para energias entre 0 e 100eV (E<sub>I</sub>).

A energia de corte corresponde à energia de excitação do nível  $3^1P$ .

Observamos que as curvas apresentam um máximo ao redor de 20 eV, aproximando-se da curva em FBA conforme a energia cresce.

A medida que a energia cresce podemos interpretar que a SCI diminui porque a interação do elétron do contínuo e o átomo fica mais fraca, já que as ondas com maior parâmetro de impacto começam a se

tornar importantes no processo.

A predominância do espalhamento para frente neste processo, a diminuição da SCD para ângulos intermediários na transição  $3^1S \rightarrow 3^1P$ , onde as interações de curto alcance são mais importantes reforçam essa afirmativa.

Além disso a curva em FBA que não leva em consideração a distorção das ondas do contínuo se aproxima da curva em TMC1.

Conforme apontou Fabrikant (1980) na região de máximo da SCI, o efeito da interação de configurações deve ser importante. Assim a SCI deve baixar, como já vimos, se considerarmos o efeito de correlação eletrônica através da interação de configurações melhorando nosso resultado.

#### d. Parâmetros da Experiência de Correlação eletron-fóton.

##### Parâmetros $\lambda$ e $\chi$ .

O parâmetro  $\chi$  calculado por nós apresenta um comportamento semelhante a todas as medidas, que garante que  $\hat{f}$  e  $\hat{L}$  tenham um zero em  $\theta^*$  e  $\Theta_1$ . Conforme os gráficos  $\chi$  começa negativo e decresce  $\varphi$  de  $0^\circ$  para  $180^\circ$ . Este parâmetro possui significado físico: como  $\chi$  prevê  $\langle L_i \rangle$  seu desvio de zero dá o quanto que está orientado o estado excitado produzido.

O parâmetro  $\lambda$  mede razão entre a SCD para excitação do sub-nível  $\sigma^{M=0}$  e a SCD total.

O que observamos é que para pequenos ângulos a excitação do subnível  $\sigma^{ML=0}$  dá lugar rapidamente à excitação dos subníveis  $\sigma^{ML=\pm 1}$ . Para o espalhamento para traz a excitação do subnível  $\sigma^{ML=0}$  domina o processo em todas as energias à exceção de  $E=10\text{eV}$ .

Os resultados de  $\lambda$  comparados com os dados experimentais mostram uma boa concordância com os dados de Teubner e Brunger et al.  $\chi$  apresenta melhor concordância para a energia de  $20\text{eV}$ . Para  $40\text{eV}$  seu resultado (curva crescente) está qualitativamente correto.

Parâmetros  $\langle L_z \rangle$  e  $f$ .

Conforme observamos para pequenos ângulos o valor de  $\langle L_z \rangle$  é positivo em todas as energias. Além disso em todas as energias observamos a variação no sinal de  $\langle L_z \rangle$ , conforme cresce.

Observamos uma correlação entre  $\Theta_1^+$  e o valor de  $\langle L_z \rangle$ . Para energias entre  $10$  e  $50\text{ eV}$ , onde  $\Theta_1^+$  se apresenta, o valor do momento angular orbital transferido é nulo em algum ângulo ao redor de  $\Theta_1^+$ , como podemos verificar na tabela 3.3. Para a energia de  $20\text{ eV}$  não temos os pontos  $\Theta_1^-$  e  $\Theta_1^+$  bem definidos, conforme o gráfico na pag. 74.

Outra correlação é obtida para  $\Theta_2^-$  e  $\langle L_z \rangle$ .

Em algum ponto ao redor de  $\Theta_2^-$ ,  $\langle L_z \rangle$  atinge um ponto de máximos e a SCD atinge um segundo mínimo. Neste caso quando a produção do subnível  $ML=1$  na representação natural atinge um máximo, obtemos um

mínimo da SCD, no espalhamento para traz.

O parâmetro  $\gamma$  corresponde ao alinhamento do orbital excitado do Mg.

Observamos que ao redor do ângulo  $\Theta^+$ , o parâmetro  $\gamma$  é zero. Assim para energias entre 20 e 50 eV, quando a SCD atinge um máximo o orbital P produzido está alinhado com o eixo  $\hat{z}$ . Esse comportamento se repete para todos os pontos de máximo que ocorrem na curva de SCD, para  $0^\circ$  e  $180^\circ$  e em todas as energias calculadas com melhor ou pior precisão.

A figura 3.18 reproduz os formatos da densidade de probabilidade angular do orbital P produzido, para diferentes ângulos de espalhamento com  $E_i=40\text{eV}$ .

Os resultados experimentais são para ângulos menores que  $15^\circ$ . Como já colocamos nesta região a principal contribuição ao espalhamento vem de ondas de parâmetro de impacto grande, e portanto a aproximação FBA começa à valer. No entanto a aproximação FBA prevê que  $\langle L \perp \rangle = 0$  e que  $-\vec{\gamma}$  deve estar na direção do momento linear transferido  $\vec{\Delta}$ .

O ângulo de alinhamento  $\gamma$  calculado na TMC1 concorda com o experimento, e o momento angular orbital transferido  $\langle L \perp \rangle$  mostra boa concordância com os dados de Teubner e Brunger et al. para ambas energias ( 20 e 40 eV ).

Observamos uma concordância qualitativa geral entre as curvas experimentais e teóricas produzidas por nós.

## CONCLUSÃO

A TMC1 foi aplicada ao cálculo da SCD para excitação do estado  $3^4P$  do Mg obtendo bons resultados, tanto quantitativamente como na forma obtida para as SCD. Na excitação  $3^1S \rightarrow 3^3P$ , observamos uma boa concordância quantitativa entre a TMC1 e o experimento, embora a forma da curva produzida não concorde em parte com os dados experimentais. Obtivemos também uma precisão razoável para os parâmetros da experiência de correlação eletron-fóton. As SCI ficaram dentro do desvio experimental previsto.

Para melhorar nossos resultados a inclusão de Multiconfiguração e a inclusão dos efeitos de segunda ordem no cálculo devem melhorar bastante nossos resultados em ambas as transições.

**APÊNDICE A. Cálculo da Matriz Densidade de Transição na Aproximação Hartree-Fock**

Nosso objetivo neste apêndice é calcular a matriz  $X_n$  independente do tempo

$$X_n(x_1, x_2) = \langle \Psi_n^n | \psi^*(x_1) \psi(x_2) | \Psi_o^o \rangle \quad A.1$$

na aproximação Hartree-Fock dada por:

$$X_n(x_1, x_2) = \langle \Psi_n^{HF} | \psi^*(x_1) \psi(x_2) | \Psi_o^o \rangle \quad A.2$$

onde HF indica que a função é determinantal na aproximação Hartree-Fock. Para calcular esse elemento de matriz escrevemos  $\Psi_n^{HF}$  conforme fizeram Altick e Glassgold (1964):

$$\begin{aligned} |\Psi_n^{HF}\rangle &= e^{i\pi/2} \sum (-1)^{M_A - M_S} \\ &\times C(\lambda_\alpha \lambda_\beta L; -m_\alpha m_\beta M_L) C(1/2 1/2 S; -m_{S_\alpha} m_{S_\beta} M_S) a_\beta^\dagger a_\alpha |\Psi_o^o\rangle \end{aligned} \quad A.3$$

onde  $C$  são coeficientes de Clebsh-Gordan,  $a_\beta^\dagger$  é um operador de criação que cria um orbital de Hartree-Fock de números quânticos  $\beta$ , e  $a_\alpha$  um operador que destrói um orbital  $\alpha$ , ocupado do estado fundamental, e  $\lambda_\alpha, \lambda_\beta, m_\alpha, m_\beta$  são os momentos angulares orbitais e projeções dos or-

bitais  $\alpha$  e  $\beta$ .  $m_{s_\alpha}$  e  $m_{s_\beta}$  são as projeções de spin dos elétrons em  $\alpha$  e  $\beta$ .

Feito isso substituímos A.3 em A.2 e obtemos a expressão:

$$X_n^{HF}(x_1, x_2) = i \sum (-1)^{m_\alpha + m_{s_\alpha}} C(l_\alpha l_\beta L; -m_\alpha m_\beta M_L)$$

$$C(1/2 1/2 S; -m_{s_\alpha} m_{s_\beta} M_S) \langle \Psi_0^{HF} | a_\beta a_\alpha^+ \psi^+(x_1) \psi(x_2) | \Psi_0^{HF} \rangle \quad A.4$$

Neste ponto expandimos os operadores de campo  $\psi(x)$  e  $\psi^+(x)$  na base de orbitais de partícula única Hartree-Fock  $f_i^{HF}$  sendo:

$$\psi(x) = \sum_i \alpha_i f_i^{HF}(x) \quad A.5a$$

$$\psi^+(x) = \sum_j \alpha_j^+ f_j^{HF*}(x) \quad A.5b$$

onde a soma é sobre o conjunto completo de orbitais HF. Substituindo A.5a e A.5b em A.4 obtemos:

$$X_n^{HF}(x_1, x_2) = i \sum (-1)^{m_\alpha + m_{s_\alpha}} C(l_\alpha l_\beta L; -m_\alpha m_\beta M_L) C(1/2 1/2 S; -m_{s_\alpha} m_{s_\beta} M_S) \quad A.6$$

$$\sum_{ij} \langle \Psi_0^{HF} | a_\beta a_\alpha^+ a_j^+ a_i | \Psi_0^{HF} \rangle f_j^{HF*}(x_1) f_i^{HF}(x_2)$$

Calculamos o elemento de matriz à direita de A.6 da seguinte forma:

$$\langle \Psi_0^{HF} | a_\beta a_\alpha^+ a_j^+ a_i | \Psi_0^{HF} \rangle =$$

$$\langle \Psi_0^{HF} | a_\alpha^+ a_j^+ | \Psi_0^{HF} \rangle \quad A.7$$

$$\langle \Psi_0^{\text{HF} \beta} | \Psi_0^{\text{HF} \alpha} \rangle$$

A.8

ou seja, este valor só é diferente de zero de  $\beta=j$  e  $\alpha=i$ . Logo:

$$\langle \Psi_0^{\text{HF}} | a_\beta a_\alpha^\dagger a_j^\dagger a_i | \Psi_0^{\text{HF}} \rangle = \delta_{\beta j} \delta_{\alpha i}$$

A.9

Assim a eq. A.6 fica:

$$\begin{aligned} X_n^{\text{HF}}(x_1, x_2) &= i \sum (-1)^{M_M + M_S \alpha} C(\ell_\alpha \ell_\beta L; -m_\alpha m_\beta M_L) C(1/2 1/2 S; -m_{S_\alpha} m_{S_\beta} M_S) \\ &\quad \times \sum_{ij} f_j^{\text{HF}*}(x_1) f_i^{\text{HF}}(x_2) \delta_{\beta j} \delta_{\alpha i} \\ &= i \sum (-1)^{M_M + M_S \alpha} C(\ell_\alpha \ell_\beta L; -m_\alpha m_\beta M_L) C(1/2 1/2 S; -m_{S_\alpha} m_{S_\beta} M_S) f_\beta^{\text{HF}*}(x_1) f_\alpha^{\text{HF}}(x_2) \end{aligned} \quad \text{A.10}$$

Os números quânticos  $\alpha$  e  $\beta$  são determinados na equação A.3, onde um eletron do orbital  $\alpha$  é excitado ( $n$ ) para o orbital  $\beta$ .

No caso específico do Mg temos  $\alpha = 3s$  e  $\beta = 3p$ , para as excitações  $3^1P$  e  $3^3P$  ou seja  $L=1$  e  $S=0$  ou  $1$ .

Assim  $X_n^{\text{HF}}(x_1, x_2)$  para o alvo de Mg  $3^1S \rightarrow 3^1, 3^3P$  é dado por:

$$\begin{aligned} X_n^{\text{HF}}(x_1, x_2) &= i \sum (-1)^{M_M + M_S \alpha} C(\ell_\alpha \ell_\beta L; -m_\alpha m_\beta M_L) C(1/2 1/2 S; -m_{S_\alpha} m_{S_\beta} M_S) f_\beta^{\text{HF}*}(x_1) f_\alpha^{\text{HF}}(x_2) \\ &= i \sum (-1)^{M_S \alpha} C(0 1 1; 0 m_\beta m_\beta) C(1/2 1/2 S; -m_{S_\alpha} m_{S_\beta} M_S) f_{3p}^{\text{HF}*}(x_1) f_{3s}^{\text{HF}}(x_2) \end{aligned} \quad \text{A.11}$$

2. Cálculo de  $X_n$  para o Magnésio:

Calculamos A.11 para os casos Singlet e Triplet. Antes de particularizarmos cada caso convém fazer algumas substituições.

Os orbitais HF podem ser separados em parte de Spin e parte espacial, ou seja

$$\int_{3s_0 m_s \alpha}^{HF} (x) = \int_{3s_0}^{HF} (\vec{r}) \chi_{m_s \alpha}^{1/2} (\sigma) \quad A.12a$$

$$\int_{3p m_p \beta m_s \beta}^{HF} (x) = \int_{3p}^{HF} (\vec{r}) \chi_{m_p \beta}^{1/2} (\sigma) \quad A.12b$$

e o coeficiente de Clebsh-Gordan à direita vale  $C(0||; 0 m_p m_p) = S_{m_p m_p}$ , e assim, a eq. A.11 se simplifica:

$$\begin{aligned} X_n^{HF}(x_1 x_2) &= i \sum f_{3p m_p \beta p}^{HF*}(\vec{r}_1) f_{3s_0}^{HF}(\vec{r}_2) (-1)^{m_s \alpha} C(1/2|1/2; -m_s \alpha m_s \beta m_s) \chi_{m_s \alpha}^{1/2}(\sigma_2) \chi_{m_s \beta}^{1/2*}(\sigma_1) \\ &= f_{3p m_p \beta p}^{HF*}(\vec{r}_1) f_{3s_0}^{HF}(\vec{r}_2) i \sum_{m_s \alpha m_s \beta} (-1)^{m_s \alpha} C(1/2|1/2; -m_s \alpha m_s \beta m_s) \chi_{m_s \alpha}^{1/2}(\sigma_2) \chi_{m_s \beta}^{1/2*}(\sigma_1) \end{aligned} \quad A.13$$

A parte se spin é colocada explicitamente:

$$\begin{aligned} X_n^{HF}(x_1 x_2) &= f_{3p m_p \beta p}^{HF*}(\vec{r}_1) f_{3s_0}^{HF}(\vec{r}_2) i \sum_{m_s \alpha} (-1)^{m_s \alpha} C(1/2|1/2; -m_s \alpha m_s + m_s \alpha m_s) \chi_{m_s \alpha}^{1/2}(\sigma_2) \chi_{m_s \alpha}^{1/2*}(\sigma_1) \\ &= f_{3p m_p \beta p}^{HF*}(\vec{r}_1) f_{3s_0}^{HF}(\vec{r}_2) \mathcal{E}^{S MS}(\sigma_1, \sigma_2) \end{aligned} \quad A.14$$

com

$$\mathcal{E}^{SMS}(\sigma_1, \sigma_2) = i \sum_{m_{S\alpha}} (-1)^{m_{S\alpha}} C(1/2, 1/2; S; -m_{S\alpha}, M_S + m_{S\alpha}; MS) \chi_{m_{S\alpha}}^{1/2}(\sigma_1) \chi_{m_{S\alpha}}^{1/2}(\sigma_2) \quad A.15$$

Particularizamos  $\mathcal{E}^{SMS}$  para cada caso: Singlet e Triplet.

Caso Singlet:

No caso Singlet temos  $S=0$  e  $MS=0$ .

Assim  $\mathcal{E}^{OO}$  vale:

$$\begin{aligned} \mathcal{E}^{OO}(\sigma_1, \sigma_2) &= i \sum_{m_{S\alpha}} (-1)^{m_{S\alpha}} C(1/2, 1/2; S; -m_{S\alpha}, +m_{S\alpha}; 0) \chi_{m_{S\alpha}}^{1/2}(\sigma_1) \chi_{m_{S\alpha}}^{1/2}(\sigma_2) \\ &= \frac{i}{\sqrt{2}} [\chi_{1/2}^{1/2}(\sigma_1) \chi_{1/2}^{1/2}(\sigma_2) + \chi_{-1/2}^{1/2}(\sigma_1) \chi_{-1/2}^{1/2}(\sigma_2)] \quad A.16 \end{aligned}$$

que é a parte de spin neste caso.

Caso Triplet:

No caso Triplet temos  $S=1$  e  $MS=\pm 1$ .

Assim para  $MS=-1$  temos:

$$\mathcal{E}^{T-1} = i \sum_{m_{S\alpha}} (-1)^{m_{S\alpha}} C(1/2, 1/2; S; -m_{S\alpha}, -1+m_{S\alpha}, -1) \chi_{m_{S\alpha}-1}^{1/2}(\sigma_1) \chi_{m_{S\alpha}}^{1/2}(\sigma_2)$$

$$\mathcal{E}^{T-1} = - \chi_{-1/2}^{1/2}(\sigma_1) \chi_{1/2}^{1/2}(\sigma_2) \quad A.17$$

para  $M_S=0$  nós obtemos:

$$\mathcal{E}^{10} = i \sum_{MS_\alpha} (-1)^{MS_\alpha} C(1/2\ 1/2\ 1; -MS_\alpha\ MS_\alpha\ 0) \chi_{MS_\alpha}^{1/2*}(\sigma_1) \chi_{MS_\alpha}^{1/2}(\sigma_2)$$

$$= i \frac{1}{\sqrt{2}} (\chi_{-1/2}^{1/2*}(\sigma_1) \chi_{1/2}^{1/2}(\sigma_2) - \chi_{+1/2}^{1/2*}(\sigma_1) \chi_{+1/2}^{1/2}(\sigma_2)) \quad A.18$$

e finalmente  $M_S=1$ :

$$\mathcal{E}^{11} = i \sum_{MS_\alpha} (-1)^{MS_\alpha} C(1/2\ 1/2\ 1; -MS_\alpha\ 1+MS_\alpha\ 1) \chi_{MS_\alpha+1}^{1/2*}(\sigma_1) \chi_{MS_\alpha}^{1/2}(\sigma_2)$$

$$\mathcal{E}^{11} = i \chi_{1/2}^{1/2}(\sigma_1) \chi_{-1/2}^{1/2*}(\sigma_2) \quad A.19$$

Com estes resultados podemos proceguir o cálculo da matriz T.

**APÊNDICE B: Obtenção das Equações Hartree-Fock em Configuração Simples.**

A obtenção das equações para  $P_{nl}(r)$  é feita escrevendo-se a energia do estado em termos das integrais  $R^k$  de Slater, aplicando-se o princípio variacional em  $P_{nl}$  na fórmula da energia de forma que minimizamos a energia do sistema. Assim o primeiro passo na obtenção das equações para  $P_{nl}$  é escrever a energia do estado.

**1. Estado Fundamental.** Para o estado  $(1s^2 2s^2 2p^6) 3s^2 : 3^1S$  fundamental a energia é (Fischer 1977a):

$$\begin{aligned}
 E(3^1S) = & 2I(1s) + 2I(2s) + 2I(3s) + 6I(2p) \\
 & + F^o(1s1s) + F^o(2s2s) + F^o(3s3s) + 15F^o(2p2p) - 6/5 F^2(2p2p) \\
 & + 4F^o(2s1s) - 2G^o(2s1s) + 4F^o(3s1s) - 2G^o(3s1s) + 4F^o(3s2s) - 2G^o(3s2s) \\
 & + 12F^o(2p1s) - 2G^o(2p1s) + 12F^o(2p2s) - 2G^o(2p2s) \\
 & + 12F^o(2p3s) - 2G^o(2p3s)
 \end{aligned}$$

B.1

que é a própria energia média da configuração. Definimos aqui:

$$I(ne) = \int_0^\infty dr P_{ne}(r) \left[ -\frac{d^2}{dr^2} - \frac{12}{r} + \frac{e(e+1)}{2r^2} \right] P_{ne}(r) \quad B.2$$

Quando variamos  $P_{nl}(r)$  obtemos os resultados (Slater, 1960):

$$1. \delta R^*(n e n' e'; n'' e''' n''' e''') = \int_0^\infty P_{ne}(r) Y^*(n'e' n''e''' | r) \delta P_{n'e'}(r) \quad B.3$$

$$2. \delta F^*(n e n' e') = 2 \int_0^\infty P_{ne}(r) Y^*(n'e' n''e''' | r) \delta P_{n'e'}(r) \quad B.4$$

$$3. \delta F^*(n e n' e) = 4 \int_0^\infty P_{ne}(r) Y^*(n'e' n''e''' | r) P_{n'e'}(r) dr \quad B.5$$

$$4. \delta G^*(n e n' e') = 2 \int_0^\infty P_{n'e'}(r) Y^*(n e n' e' | r) \delta P_{n'e'}(r) \quad B.6$$

$$5. \delta I(n e) = 2 \int_0^\infty [\delta P_{ne}(r)] \left[ -\frac{d^2}{2dr^2} - \frac{12}{r} + \frac{(e(e+1))}{2r^2} \right] \quad B.7$$

Variamos  $P_{ns}(r)$   $n=1, 2, 3$  em  $E(3^1S)$  e obtemos:

$$\left[ \frac{d^2}{dr^2} + \frac{2}{r} \left( 12 - 2 \sum_{n \neq n'} \frac{Y^0(n'n'n' | r)}{\langle n'n'n' \rangle} - \frac{Y^0(n_1 n_2 n_3 | r)}{\langle n_1 n_2 n_3 \rangle} - 6 \frac{Y^0(2p 2p | r)}{\langle 2p 2p \rangle} \right) - E_{ns} \right] P_{ns}(r) = \\ = -\frac{2}{r} \left[ \sum_{n \neq n'} \frac{Y^0(n_1 n_2 n_3 | r)}{\langle n_1 n_2 n_3 \rangle} P_{n'n'}(r) + \frac{Y^1(2p 2p | r)}{\langle 2p 2p \rangle} P_{2p}(r) \right] + \sum_{n \neq n'} E_{n'n'} P_{n'n'}(r) \quad B.8$$

fazendo variar  $P_{2p}(r)$  obtemos:

$$\left[ \frac{d^2}{dr^2} + \frac{2}{r} \left( 12 - 2 \sum_{n=1}^3 \frac{Y^0(n_1 n_2 n_3 | r)}{\langle n_1 n_2 n_3 \rangle} - 5 \frac{Y^0(2p 2p | r)}{\langle 2p 2p \rangle} + \frac{2}{5} \frac{Y^2(2p 2p | r)}{\langle 2p 2p \rangle} \right) - E_{2p} - \frac{2}{r^2} \right] P_{2p}(r) = \\ = -\frac{2}{r} \left[ \frac{1}{3} \sum_{n=1}^3 \frac{Y^1(n_1 n_2 n_3 | r)}{\langle n_1 n_2 n_3 \rangle} P_{ns}(r) \right] \quad B.9$$

2. Estado Excitado. Para obter as equações que descrevem os estados excitados escrevemos a energia do estado:

$$\begin{aligned}
 E(\frac{1}{3}^{2S+1}P) = & 2I(1s) + 2I(2s) + 6I(2p) + I(3s) + I(3p) \\
 & + F^o(1s1s) + F^o(2s2s) + 15F^o(2p2p) - \frac{6}{5}F^2(2p2p) \\
 & + 4F^o(1s2s) - 2G^o(1s2s) + 2F^o(1s3s) - \frac{5}{5}G^o(1s3s) + 2F^o(2s3s) - G^o(2s3s) \\
 & + 2F^o(1s3p) - \frac{1}{3}G^i(1s3p) + 2F^o(2s3p) - \frac{1}{3}G^i(2s3p) + 6F^o(2p3p) - G^o(2p3p) - \frac{2}{5}G^2(2p3p) \\
 & - 2G^i(1s2p) + 12F^o(1s2p) - 2G^i(2s2p) + 12F^o(2s2p) + F^o(3s3p) \quad B.10 \\
 & + (-1)^S \frac{1}{3}G^i(3p3s)
 \end{aligned}$$

Na aproximação do caroço congelado o orbital 3p é calculado no campo dos orbitais do caroço ( $1s^2 2s^2 2p^6$ ) 3s<sup>1</sup>, que foram calculados auto-consistentemente para o estado fundamental.

Desta forma vamos obter  $P_{3p}$  fazendo uma variação em B.10, usando B.3, B.4, B.5, B.6 e B.7, e colocando a condição de contorno entre 2p e 3p,  $\langle 2p | 3p \rangle = 0$ , obtemos:

$$\begin{aligned}
 \left[ \frac{d^2}{dr^2} + \frac{2}{r} \left( 12 - 2 \sum_{n=1}^2 \frac{Y^o(n_s n_s | r)}{\langle n_s n_s \rangle} - 6 \frac{Y^o(2p 2p | r)}{\langle 2p 2p \rangle} - \frac{Y^o(3s 3s | r)}{\langle 3s 3s \rangle} \right) - \frac{2}{r^2} - \epsilon_{3p} \right] P_{3p}(r) = \\
 = -\frac{2}{r} \left[ \sum_{n=1}^2 \frac{Y^i(n_s 3p | r)}{\langle n_s n_s \rangle} P_{ns}(r) + \frac{Y^o(2p 3p | r)}{\langle 2p 2p \rangle} P_{2p}(r) - \frac{2}{5} \frac{Y^2(2p 3p | r)}{\langle 2p 2p \rangle} P_{2p}(r) \right. \\
 \left. + (-1)^S \frac{1}{3} \frac{Y^i(3p 3s | r)}{\langle 3s 3s \rangle} P_{3s}(r) \right] + \epsilon_{2p 3p} P_{2p}(r) \quad B.11
 \end{aligned}$$

onde  $\epsilon_{2p 3p}$  é o multiplicador de Lagrange.

Os multiplicadores de Lagrange que aparecem em B.8 são iguais à zero (ver apêndice E).

## APÊNDICE C: Orbital do Contínuo na Aproximação Hartree-Fock.

O procedimento para se obter a equação de Hartree-Fock, para o orbital do contínuo é semelhante ao do apêndice B. Escrevemos inicialmente a fórmula para a energia do sistema.

No caso de um eletron no contínuo com energia  $K^2/2$  e momento angular orbital 1, na presença de um átomo de Mg no estado fundamental podemos escrever a energia em termos de integrais de Slater  $R^k$ .

Assim (Fischer 1977a, p.18):

$$\begin{aligned}
 E(k, \ell) = & 2 \sum_{n=1}^3 I(n\sigma) + 6I(2p) + I(k\ell) + \sum_{n=1}^3 F^o(n\sigma n\sigma) + 15F^o(2p2p) - \\
 & - \frac{6}{5} F^2(2p2p) + 4 \sum_{n'>n=1}^3 F^o(n\sigma n'\sigma) + 12 \sum_{n=1}^3 F^o(n\sigma 2p) + 2 \sum_{n=1}^3 F^o(n\sigma k\ell) \\
 & + 6F^o(2p k\ell) - 2 \sum_{n=1}^3 G^i(n\sigma 2p) - 2 \sum_{n'>n=1}^3 G^o(n\sigma n'\sigma) \\
 & - \frac{1}{2e+1} \sum_{n=1}^3 G^o(n\sigma k\ell) - 3 \sum_{j=1, e-1, 2}^{e+1} \frac{\max(e, j)}{(2j+1)(2e+1)} G^o(2p k\ell)
 \end{aligned}$$

C.1

onde  $\max(e, j)$  é o máximo de  $e$  e  $j$ .

O passo seguinte é aplicar o princípio variacional à eq. C.1 acima, para obter a mínima energia. Usando B.3, B.4, B.5, B.6 e B.7,

fazendo variar  $P_{k1}$ , obtemos:

$$\left[ \frac{d^2}{dr^2} + \frac{2}{r} \left( 12 - 2 \sum_{n=1}^3 \frac{Y^0(n\sigma n\sigma|r)}{\langle n\sigma | n\sigma \rangle} - \frac{6Y^0(2p2p|r)}{\langle n\sigma | n\sigma \rangle} \right) - \frac{\ell(\ell+1)}{r^2} - E_{ke} \right] P_{ke}(r) =$$

$$= -\frac{2}{r} \left[ \sum_{j=1}^{e+1} \frac{3m_{jk}(e_j)}{(2e+1)(2j+1)} Y^0(2pke|r) P_{2p}(r) + \frac{1}{2e+1} \sum_{n=1}^3 \frac{Y^0(n\sigma ke|r)}{\langle n\sigma | n\sigma \rangle} P_{ns}(r) \right] C.2 \\ + \delta_{e0} \sum_{n=1}^3 E_{ns} P_{ns}(r) + \delta_{e1} E_{2pke} P_{2p}(r).$$

Mostramos no apêndice E que  $E_{ns} \delta_{e0} = E_{2pke} \delta_{e1} = 0$ .

## APÊNDICE D: As Equações Hartree-Fock em Multiconfiguração.

O cálculo Multiconfiguracional Hartree-Fock (MCHF) (Fischer 1977a) introduz os efeitos de correlação dos elétrons na função de onda. O método consiste em descrever o estado do sistema por uma superposição linear de configurações acopladas num mesmo valor de momento angular (spin e orbital).

Conforme 1.9-5 as configurações que mais contribuem na descrição do estado fundamental do Mg são:

$$(3s^2) = (1s^2 2s^2 2p^6) 3s^2; \quad 3^1S$$

$$(3p^2) = (1s^2 2s^2 2p^6) 3p^2; \quad 3^1S$$

A energia do sistema (Eq. 1.43) é:

$$\begin{aligned} E(3^1S) = & \omega_{3s^2}^2 \langle 3s^2 | H | 3s^2 \rangle + 2\omega_{3s^2}\omega_{3p^2} \langle 3s^2 | H | 3p^2 \rangle \\ & + \omega_{3p^2}^2 \langle 3p^2 | H | 3p^2 \rangle. \end{aligned} \quad D.1$$

Escrevemos o termo diagonal de D.1 usando B.1 para a configuração  $(1s^2 2s^2 2p^6) 3s^2$ :

$$\begin{aligned} E(3s^2; 3^1S) = & 2I(1s) + 2I(2s) + 2I(3s) + 6I(2p) \\ & + \sum_{n=1}^3 F^0(nsn\bar{s}) + 15F^0(2p2\bar{p}) - 6/5 F^2(2p2\bar{p}) \\ & + 4F^0(1s2s) - 2G^0(1s2s) + 4F^0(1s3s) - 2G^0(1s3s) \\ & + 4F^0(2s3s) - 2G^0(2s3s) + 12F^0(1s2p) - 2G^1(1s2p) \\ & + 12F^0(2p3s) - 2G^4(2p3s) + 12F^0(2s2p) - 2G^1(2s2p) \end{aligned} \quad D.2$$

e usamos (Fischer 1977a) para a configuração  $(1s^2 2s^2 2p^6) 3p^2$ :

$$E(3p^2; 3^1S) = 2I(1s) + 2I(2s) + 6I(2p) + 2I(3p)$$

$$+ F^0(1s1s) + F^0(2s2s) + 15F^0(2p2p) - 6/5 F^2(2p2p) +$$

$$+ F^0(3p3p) - 2/25 F^2(3p3p) + 4F^0(1s2s) - 2G^0(1s2s)$$

D.3

$$+ 4F^0(1s3p) - 2/3 G^1(1s3p) + 4F^0(2s3p) - 2/3 G^1(2s3p) + 12F^0(1s2p)$$

$$- 2G^1(1s2p) + 12F^0(2s2p) - 2G^1(2s2p) + 12F^0(2p3p) - 2G^0(2p3p) - 4/5 G^2(2p3p)$$

$$+ 12/25 F^2(3p3p)$$

Vamos obter o segundo termos de D.1 que é fora da diagonal, apartir de integrais  $R^K$ . Isto é feito trabalhando os momento angulares de spin e orbital.

Vários artigos (Zare (1966), U.Fano (1965), Sobelman (1977)) mostram como tratar a interação de configurações. R. Zare fornece a seguinte fórmula para configurações com dois eletrons fora da última camada cheia:

$$\langle n_{la} n_{lb} SL | HI | n_{lc} n_{ld} SL \rangle = (-1)^{l_a + l_c} \frac{[2 \hat{l}_a \hat{l}_b \hat{l}_c \hat{l}_d]}{\sqrt{N_{ab} N_{cd}}}$$

$$\sum_{k=0}^{\infty} \left[ (-1)^L \begin{Bmatrix} l_a & l_b & L \\ l_d & l_c & k \end{Bmatrix} \begin{pmatrix} l_a & & l_c \\ & l_b & l_d \\ 0 & 0 & 0 \end{pmatrix} \begin{pmatrix} l_b & & l_d \\ & l_a & l_c \\ 0 & 0 & 0 \end{pmatrix} R^K(n_{la} n_{lb}; n_{lc} n_{ld}) \right]$$

$$+ (-1)^S \left[ \begin{Bmatrix} l_a & l_b & L \\ l_c & l_d & k \end{Bmatrix} \begin{pmatrix} l_a & & l_d \\ & l_b & l_c \\ 0 & 0 & 0 \end{pmatrix} \begin{pmatrix} l_b & & l_c \\ & l_a & l_d \\ 0 & 0 & 0 \end{pmatrix} R^K(n_{la} n_{lb}; n_{ld} n_{lc}) \right] D.4$$

onde  $N_{ab}=2$  se  $n_{la} \neq n_{lb}$

$N_{cd}=2$  se  $n_{lc} \neq n_{ld}$

$N_{ad}=4$  se  $n_{lc} = n_{ld}$

$$\hat{l}_s \equiv (2l_s + 1)^{1/2}$$

e () são símbolos 6j e () são 3j.

Aplicando-se esta fórmula ao Mg, temos

$$n\ell_a = n\ell_b = 3s$$

$$n\ell_c = n\ell_d = 3p$$

Finalmente:

$$\begin{aligned} \langle 3s^2; 3'S | H | 3p^2; 3'S \rangle &= -\frac{3}{2} \left( \begin{array}{c} 000 \\ 111 \end{array} \right) \left( \begin{array}{c} 011 \\ 000 \end{array} \right) \left( \begin{array}{c} 011 \\ 000 \end{array} \right) G^1(3s3p) \\ &\quad + \left( \begin{array}{c} 000 \\ 111 \end{array} \right) \left( \begin{array}{c} 011 \\ 000 \end{array} \right) \left( \begin{array}{c} 011 \\ 000 \end{array} \right) G^1(3s3p) \\ &= -3 \left( \begin{array}{c} 000 \\ 111 \end{array} \right) \left( \begin{array}{c} 011 \\ 000 \end{array} \right)^2 G^1(3s3p) \\ &= -1/\sqrt{3} G^1(3s3p) \end{aligned}$$

Assim de substituindo D.2, D.3 e D.5 em D.1 obtemos a energia total do sistema correlacionado. Aplicando-se o princípio variacional, obtemos para o orbital 3s a equação:

$$\omega_{3s^2}^2 \left[ \frac{d^2}{dr^2} - \frac{2}{r} \left[ 12 - 2 \sum_{m=1}^2 \frac{Y^0(n' s n' s | r)}{\langle n' s | n' s \rangle} - \frac{Y^0(3s 3s | r)}{\langle 3s | 3s \rangle} - \frac{6 Y^0(2p 2p | r)}{\langle 2p | 2p \rangle} \right] - \epsilon_{3s} \right] P_{3s}(r)$$

$$= \omega_{3s^2}^2 (-2) \left[ \sum_{m=1}^2 \frac{Y^0(3s n' s | r) P_{n's}(r)}{\langle n' s | n' s \rangle} + \frac{Y^1(2p 3s | r) P_{2p}(r)}{\langle 2p | 2p \rangle} \right]$$

$$- \frac{2\omega_{3s}^2 \omega_{3p}^2}{r} \frac{1}{\sqrt{3}} Y^1(3s 3p | r) P_{3p}(r) + \sum_{m=1}^2 \epsilon_{m n} \delta_{m n} P_{m s}(r)$$

D.6

e para o orbital 3p:

$$\omega_{3p^2}^2 \left[ \frac{d^2}{dr^2} - \frac{2}{r} \left[ 12 - 2 \sum_{m=1}^2 \frac{Y^0(n' s n' s | r)}{\langle n' s | n' s \rangle} - \frac{Y^0(3p 3p | r)}{\langle 3p | 3p \rangle} - \frac{2}{5} \frac{Y^2(3p 3p | r)}{\langle 3p | 3p \rangle} \right. \right.$$

$$\left. \left. - 6 Y^0(2p 2p | r) \right] - \epsilon_{3p} - \frac{2}{r^2} \right] P_{3p}(r) =$$

$$= \omega_{3p^2}^2 \frac{(-2)}{r} \left[ \frac{1}{3} \sum_{m=1}^2 Y^1(n' s 3p | r) P_{n' s}(r) + Y^0(3p 2p | r) P_{2p}(r) + \frac{2}{5} Y^2(3p 2p | r) P_{3p}(r) \right]$$

$$- \frac{2}{r} \omega_{3p}^2 \omega_{3s}^2 \frac{1}{\sqrt{3}} Y^1(3s 3p | r) P_{3s}(r) + \epsilon_{2p 3p} P_{2p}(r)$$

D.7

**APÊNDICE E: Ortogonalidade entre os Orbitais do Contínuo e Orbitais ligados.**

Este apêndice verifica a ortogonalidade entre os orbitais do estado fundamental do Mg e os orbitais do contínuo.

Para verificar esta propriedade do estado fundamental fazemos o procedimento usual: multiplicar a eq. para  $P_{nl}$  por  $P_{kl}$  e integrar de zero a infinito, e multiplicar a eq. para  $P_{kl}$  por  $P_{nl}$  e integrar até infinito.

Mostramos primeiro a ortogonalidade entre orbitais s. Assim multiplicamos a equação B.8 para  $P_{ns}$  por  $P_{kl} = P_{ko}$ , e integramos até infinito. Obtemos assim:

$$I(k_s, n_s) = 4 \sum_{n' \neq n} R^0(n's n_s; n's k_s) - 2R^0(n_s n_s n_s k_s) - 12R^0(2p n_s 2p k_s)$$

$$- E_{n_s} \langle n_s | k_s \rangle = - 2 \sum_{n' \neq n} R^0(n's n_s; n_s k_s) - 2R^1(2p 2p n_s k_s) \quad E.1 \\ + \sum_{n' \neq n} E_{n_s n_s'} \langle n_s | k_s \rangle$$

e multiplicamos a eq. C.2 para  $P_{ko}$  por  $P_{ns}$ :

$$I(k_s, n_s) = 4 \sum_{n'=1}^3 R^0(n's n_s n's k_s) - 12R^0(2p n_s 2p k_s) - E_{k_s} \langle n_s | k_s \rangle =$$

$$- 2R^1(2p 2p n_s k_s) - 2 \sum_{n'=1}^3 R^0(n's n_s k_s n') + E_{n_s k_s} \quad E.2$$

Subtraindo E.2 de E.1 obtemos:

$$E_{n_s k_s} = (E_{n_s} - E_{k_s}) \langle n_s | k_s \rangle + \sum_{n' \neq n'} \langle n's | k_s \rangle \quad E.3$$

Se todos os multiplicadores de Lagrange são colocados zero (os multiplicadores  $\epsilon_{mn}$  são zero porque fazem parte de um estado fundamental de camada fechada - ver Slater II, 1960, p.6), então E.3 se reduz à:

$$0 = (\epsilon_{nn} - \epsilon_{kk}) \langle n_n | k_k \rangle \quad E.4$$

e como  $\epsilon_{nn} \neq \epsilon_{kk}$ , logo:

$$\langle n_n | k_k \rangle = 0 \quad \text{na } 1, 2 \text{ ou } 3. \quad E.5$$

De maneira semelhante, multiplicamos a eq. B.9 para  $P_{2p}$  por  $P_{k1}$  e integramos:

$$I(2p|kp) = 4 \sum_{n=1}^3 R^0 (n_n 2p n_n kp) - 10 R^0 (2p 2p 2p kp) + 4/5 R^2 (2p 2p 2p kp)$$

$$- \epsilon_{zp} \langle 2p | kp \rangle = - 2/3 \sum_{n=1}^3 R^1 (n_n n_n 2p kp) \quad E.6$$

e multiplicamos a equação C.2 para  $P_{k1}$  por  $P_{2p}$  e integramos:

$$I(2p|kp) = 4 \sum_{n=1}^3 R^0 (n_n 2p n_n kp) - 12 R^0 (2p 2p 2p kp) - \epsilon_{kp} \langle 2p | kp \rangle = \\ = - 2/3 \sum_{n=1}^3 R^1 (n_n n_n 2p kp) - 2 R^0 (2p 2p 2p kp) - 4/5 R^2 (2p 2p 2p kp) + \epsilon_{zp|kp} \quad E.7$$

Subtraindo E.7 de E.6 obtemos:

$$\epsilon_{zp|kp} = \langle 2p | kp \rangle (\epsilon_{zp} - \epsilon_{kp}) \quad E.8$$

$$= 0$$

onde para termos

devemos fazer  $\epsilon_{zp|kp} = 0$ .

Assim todos os multiplicadores de Lagrange entre os orbitais do contínuo e orbitais ligados são zero.

Os orbitais do contínuo são ortogonais entre si porque são auto-funções da mesma equação.

## APÊNDICE F: Análise de Spin da Matriz T

Neste apêndice realizamos as somas nas coordenadas de spin da matriz T para os casos Singlet ( $S=0$ ) e Triplet ( $S=1$ ). A matriz T fica escrita em termos das matrizes  $T^0$  e  $T^E$  definidas em 1.63 e 1.64.

A matriz T em 1.59 é:

$$\begin{aligned} -T_{no}^{RPA} = & \int dx_1 dx_2 f_{QMS}^{(-)HF^*}(x_2) f_{PMS}^{(+)}(x_2) \frac{1}{r_{12}} \frac{1}{r_1} P_{3p}(r_2) Y_1^{MSP}(S_2) \frac{1}{r_1} P_{3s}(r_1) Y_0^0(S_1) E^{SMS}_{(\sigma_1 \sigma_2)} \\ - & \int dx_1 dx_2 f_{QMS}^{(-)HF^*}(x_1) f_{PMS}^{(+)}(x_2) \frac{1}{r_{12}} \frac{1}{r_2} P_{3p}(r_2) Y_1^{MSP}(S_2) \frac{1}{r_1} P_{3s}(r_1) Y_0^0(S_1) E^{SMS}_{(\sigma_2 \sigma_1)} \end{aligned}$$

F.1

Explicitando as somas em  $\sigma_1$  e  $\sigma_2$ , temos, com auxílio de 1.41 e 1.42:

$$\begin{aligned} T_{no}^{RPA} = & \int d\vec{r}_1 d\vec{r}_2 f_{Q}^{(-)HF^*}(\vec{r}_2) f_{P}^{(+)}(\vec{r}_2) \frac{1}{r_{12}} \frac{1}{r_1} P_{3p}(r_2) Y_1^{MSP}(S_2) \frac{1}{r_1} P_{3s}(r_1) Y_0^0(S_1) \\ & \times \sum_{\sigma_1 \sigma_2} X_{MS_2}^{1/2}(\sigma_2) X_{MS_1}^{1/2}(\sigma_1) E^{SMS}_{(\sigma_1 \sigma_2)} \\ - & \int d\vec{r}_1 d\vec{r}_2 f_{Q}^{(-)HF^*}(\vec{r}_1) f_{P}^{(+)}(\vec{r}_1) \frac{1}{r_{12}} \frac{1}{r_2} P_{3p}(r_1) Y_1^{MSP}(S_1) \frac{1}{r_1} P_{3s}(r_1) Y_0^0(S_2) \\ & \times \sum_{\sigma_1 \sigma_2} X_{MS_1}^{1/2}(\sigma_1) X_{MS_2}^{1/2}(\sigma_2) E^{SMS}_{(\sigma_2 \sigma_1)} \end{aligned}$$

F.2

Definimos:

$$S_{SMS}^D = \sum_{\sigma_1 \sigma_2} \chi_{m_s}^{1/2*}(\sigma_2) \chi_{m_s}^{1/2}(\sigma_2) E^{SMS}(\sigma_1 \sigma_1) \quad F.3$$

e

$$S_{SMS}^E = \sum_{\sigma_1 \sigma_2} \chi_{m_s}^{1/2*}(\sigma_1) \chi_{m_s}^{1/2}(\sigma_2) E^{SMS}(\sigma_2 \sigma_1) \quad F.4$$

e assim, através das fórmulas 1.63 e 1.64 obtemos:

$$T_{no}^{RPA} = S_{SMS}^D T^D - S_{SMS}^E T^E \quad F.5$$

Passamos agora ao cálculo de F.3 e F.4 para cada caso.

1. Caso Singlet ( $S=0$ ):

Calculamos  $S_{oo}^D$ :

$$S_{oo}^D = \sum_{\sigma_1 \sigma_2} \chi_{m_s}^{1/2*}(\sigma_2) \chi_{m_s}^{1/2}(\sigma_2) E^{oo}(\sigma_1 \sigma_1) \quad F.6$$

usando 1.55:

$$\begin{aligned} &= \sum_{\sigma_1 \sigma_2} \chi_{m_s}^{1/2*}(\sigma_2) \chi_{m_s}^{1/2}(\sigma_2) \frac{1}{\sqrt{2}} (\chi_{1/2}^{1/2*}(\sigma_1) \chi_{1/2}^{1/2}(\sigma_1) - \chi_{-1/2}^{1/2*}(\sigma_1) \chi_{-1/2}^{1/2}(\sigma_1)) \\ &= \frac{1}{\sqrt{2}} \sum_{\sigma_2} \chi_{m_s}^{1/2*}(\sigma_2) \chi_{m_s}^{1/2}(\sigma_2) \cdot \left( \sum_{\sigma_1} \chi_{1/2}^{1/2*}(\sigma_1) \chi_{1/2}^{1/2}(\sigma_1) - \sum_{\sigma_1} \chi_{-1/2}^{1/2*}(\sigma_1) \chi_{-1/2}^{1/2}(\sigma_1) \right) \end{aligned} \quad F.7$$

Usando a propriedade de  $\chi_m^{1/2}$ :

$$\sum_{\sigma_1} \chi_m^{1/2*}(\sigma_1) \chi_{m'}^{1/2}(\sigma_1) = \delta_{mm'} \quad F.8$$

a eq. F.7 fica:

$$S_{00}^D = \frac{2}{\sqrt{2}} \sum_{\sigma_2} \chi_{m_s}^{1/2*}(\sigma_2) \chi_{m_s}^{1/2}(\sigma_2)$$

$$= \frac{2}{\sqrt{2}} \delta_{m_s m_s}$$

F.9

Isto é a projeção de spin do elétron não muda durante a colisão.

Para o caso de troca temos  $S_{00}^E$ :

$$S_{00}^E = \sum_{\sigma_1 \sigma_2} \chi_{m_s}^{1/2*}(\sigma_1) \chi_{m_s}^{1/2}(\sigma_2) \mathcal{E}^{00}(\sigma_1 \sigma_2)$$

$$= \frac{1}{\sqrt{2}} \sum_{\sigma_1 \sigma_2} \chi_{m_s}^{1/2*}(\sigma_1) \chi_{m_s}^{1/2}(\sigma_2) [\chi_{1/2}^{1/2*}(\sigma_2) \chi_{1/2}^{1/2}(\sigma_1) + \chi_{-1/2}^{1/2*}(\sigma_2) \chi_{-1/2}^{1/2}(\sigma_1)]$$

$$= \frac{1}{\sqrt{2}} \sum_{\sigma_2} \chi_{1/2}^{1/2*}(\sigma_2) \chi_{m_s}^{1/2}(\sigma_2) \sum_{\sigma_1} \chi_{m_s}^{1/2*}(\sigma_1) \chi_{1/2}^{1/2}(\sigma_1) + F.10$$

$$+ \frac{1}{\sqrt{2}} \sum_{\sigma_2} \chi_{-1/2}^{1/2*}(\sigma_2) \chi_{m_s}^{1/2}(\sigma_2) \sum_{\sigma_1} \chi_{-1/2}^{1/2*}(\sigma_1) \chi_{m_s}^{1/2}(\sigma_1) F.11$$

usando F.8:

$$S_{00}^E = \frac{1}{\sqrt{2}} \sum_{\sigma_2} \chi_{1/2}^{1/2}(\sigma_2) \chi_{m_s}^{1/2}(\sigma_2) \delta_{m_s' 1/2} + F.12$$

$$\frac{1}{\sqrt{2}} \sum_{\sigma_2} \chi_{-1/2}^{1/2*}(\sigma_2) \chi_{m_s}^{1/2}(\sigma_2) \delta_{m_s' -1/2}$$

F.13

$$S_{00}^E = \frac{1}{\sqrt{2}} (\delta_{m_s 1/2} \delta_{m_s' 1/2} + \delta_{m_s -1/2} \delta_{m_s' -1/2})$$

logo

$$S_{00}^E = (1/\sqrt{2}) \delta_{m_s m_s'}$$

F.14

portanto a projeção de spin se conserva.

2. Caso Triplet ( $S=1$ ):

Calculamos o caso direto:

Para  $S=1$  temos:

$$\begin{aligned} S_{1MS}^D &= \sum_{\sigma_2 \sigma_1} \chi_{MS}^{1/2*} (\sigma_2) \chi_{MS}^{1/2} (\sigma_2) \mathcal{E}^{1MS} (\sigma_1 \sigma_2) \\ &= \sum_{\sigma_2} \chi_{MS}^{1/2*} (\sigma_2) \chi_{MS}^{1/2} (\sigma_2) \mathcal{E}^{1MS} (\sigma_1 \sigma_2) \end{aligned} \quad F.15$$

e calculamos primeiro  $\sum_{\sigma_1} \mathcal{E}^{1MS} (\sigma_1 \sigma_2)$ .

Para  $MS=\pm 1$  temos, usando 1.56 e 1.58:

$$\begin{aligned} \sum_{\sigma_1} \mathcal{E}^{1\pm 1} (\sigma_1 \sigma_2) &= \\ &= \mp \sum_{\sigma_1} \chi_{\pm 1/2}^{1/2*} (\sigma_1) \chi_{\mp 1/2}^{1/2} (\sigma_1) \\ &= \mp \delta_{\mp 1/2, \mp 1/2} = 0 \end{aligned}$$

F.16

Para  $MS=0$ , partindo de 1.57 temos:

$$\begin{aligned} \frac{1}{\sqrt{2}} \sum_{\sigma_1} \chi_{+1/2}^{1/2*} (\sigma_1) \chi_{+1/2}^{1/2} (\sigma_1) - \frac{1}{\sqrt{2}} \sum_{\sigma_1} \chi_{-1/2}^{1/2*} (\sigma_1) \chi_{-1/2}^{1/2} (\sigma_1) \\ = \frac{1}{\sqrt{2}} \delta_{-1/2, 1/2} - \frac{1}{\sqrt{2}} \delta_{1/2, -1/2} = 0 \end{aligned} \quad F.17$$

Assim não há contribuição do termo direto para a transição triplet.

Para o termo de troca,  $S_{1MS}^E$ , vale:

$$S_{1MS}^E = \sum_{\sigma_1 \sigma_2} \chi_{m_s}^{1/2*}(\sigma_1) \chi_{m_s}^{1/2}(\sigma_2) \delta^{1MS}(\sigma_2 \sigma_1) \quad F.18$$

Calculamos neste caso, primeiro  $MS=\pm 1$  usando 1.56 e 1.58:

$$S_{1\pm 1}^E = \mp \sum_{\sigma_1 \sigma_2} \chi_{m_s}^{1/2*}(\sigma_1) \chi_{m_s}^{1/2}(\sigma_2) \chi_{\mp 1/2}^{1/2*}(\sigma_2) \chi_{\pm 1/2}^{1/2}(\sigma_1) \quad F.19$$

$$= \mp \sum_{\sigma_2} \chi_{\mp 1/2}^{1/2*}(\sigma_2) \chi_{m_s}^{1/2}(\sigma_2) \cdot \sum_{\sigma_1} \chi_{m_s}^{1/2*}(\sigma_1) \chi_{\pm 1/2}^{1/2}(\sigma_1) \quad F.20$$

usando F.8:

$$S_{1\pm 1}^E = \mp \sum_{\sigma_2} \chi_{\mp 1/2}^{1/2*}(\sigma_2) \chi_{m_s}^{1/2}(\sigma_2) \delta_{m_s \pm 1/2} \quad F.21$$

$$= \mp \delta_{\mp 1/2 m_s} \delta_{m_s \pm 1/2} \quad F.22$$

Isto é, o sinal da projeção se inverte durante a colisão.

Para  $MS=0$ , usamos 1.57:

$$\begin{aligned} S_{10}^E &= \sum_{\sigma_1 \sigma_2} \chi_{m_s}^{1/2*}(\sigma_1) \chi_{m_s}^{1/2}(\sigma_2) \frac{1}{\sqrt{2}} \left[ \chi_{+1/2}^{1/2*}(\sigma_2) \chi_{-1/2}^{1/2}(\sigma_1) - \chi_{-1/2}^{1/2*}(\sigma_2) \chi_{+1/2}^{1/2}(\sigma_1) \right] \\ &= \frac{1}{(2)^{1/2}} \sum_{\sigma_2} \chi_{-1/2}^{1/2*}(\sigma_2) \chi_{m_s}^{1/2}(\sigma_2) \cdot \sum_{\sigma_1} \chi_{m_s}^{1/2*}(\sigma_1) \chi_{-1/2}^{1/2}(\sigma_1) \\ &\quad - \frac{1}{\sqrt{2}} \sum_{\sigma_2} \chi_{+1/2}^{1/2*}(\sigma_2) \chi_{m_s}^{1/2}(\sigma_2) \sum_{\sigma_1} \chi_{m_s}^{1/2*}(\sigma_1) \chi_{+1/2}^{1/2}(\sigma_1) \end{aligned}$$

usando F.8 temos:

$$\begin{aligned}
 &= \frac{1}{\sqrt{2}} \sum_{\sigma_2} \chi_{-\frac{1}{2}}^{1/2}(\sigma_2) \chi_{m_s}^{1/2}(\sigma_2) \delta_{m_s - 1/2} - \frac{1}{\sqrt{2}} \sum_{\sigma_2} \chi_{\frac{1}{2}}^{1/2}(\sigma_2) \chi_{m_s}^{1/2}(\sigma_2) \delta_{m_s + 1/2} \\
 &= \frac{1}{\sqrt{2}} \delta_{m_s - 1/2} \delta_{m_s' - 1/2} - \frac{1}{\sqrt{2}} \delta_{m_s \frac{1}{2}} \delta_{m_s' + 1/2} \tag{F.24}
 \end{aligned}$$

$$= \frac{1}{\sqrt{2}} \delta_{m_s m_s'} (-1)^{\frac{1}{2} + m_s} \tag{F.25}$$

$$\text{Assim } T_{n_0} (3'S \rightarrow 3'P) = S_{00}^D T^D - S_{00}^E T^E$$

$$\text{onde } S_{00}^D = \frac{2}{\sqrt{2}} \delta_{m_s m_s}, \quad \text{e} \quad S_{00}^E = \frac{1}{\sqrt{2}} \delta_{m_s m_s'}, \quad \text{portanto:}$$

$$T_{n_0} (3'S \rightarrow 3'P) = [2T^D - T^E] \delta_{m_s m_s'} \frac{1}{\sqrt{2}} \tag{F.26}$$

$$\begin{aligned}
 T_{n_0} (3'S \rightarrow 3^3P) &= S_{1m_s}^D T^D - S_{1m_s}^E T^E \\
 &= -S_{1m_s}^E T^E \tag{F.27}
 \end{aligned}$$

$$\text{onde } S_{1m_s}^E :$$

$$S_{1-1}^E = \delta_{m_s \frac{1}{2}} \delta_{m_s' - 1/2} \tag{F.28}$$

$$S_{10}^E = \frac{1}{\sqrt{2}} \delta_{m_s m_s'} (-1)^{\frac{1}{2} + m_s} \tag{F.29}$$

$$S_{11}^E = -\delta_{m_s - 1/2} \delta_{m_s' 1/2} \tag{F.30}$$

APÊNDICE G: Análise de Momento Angular das Amplitudes  $T^D$  e  $T^E$ 

Neste apêndice fazemos o cálculo analítico da parte angular da matriz  $T^D$  direta e  $T^E$  de troca. Após alguma álgebra (que apresentamos aqui) estas matrizes, passam a ser escritas em termos de somas de coeficientes vezes integrais  $R^k$  e funções esféricas-harmônicas.

Iniciamos nosso cálculo com a expansão da matriz  $T^D$  direta.

Análise de  $T^D$ :

Pela fórmula 1.63  $T^D$  é definida como:

$$T^D = \iint d\vec{r}_1 d\vec{r}_2 \vec{f}_{\vec{q}}^{(-)HF^*}(\vec{r}_2) \vec{f}_{\vec{p}}^{(+HF)}(\vec{r}_2) \frac{1}{r_{12}} \frac{1}{r_1} P_{3P}(r_1) Y_{1,3P}^*(\Omega_1) P_{3A}(r_1) Y_0^*(\Omega_1)$$

G.1

Iniciamos nosso cálculo fazendo as expansões em ondas parciais de  $\vec{f}_{\vec{q}}^{(-)HF}(\vec{r}_2)$  e  $\vec{f}_{\vec{p}}^{(+HF)}(\vec{r}_2)$  e expandindo o potencial  $1/r$  em esféricos-harmônicos.

Assim temos:

$$\vec{f}_{\vec{q}}^{(-)HF^*}(\vec{r}_2) = \frac{4\pi}{qr_2} \sum_{q=0}^{\infty} \sum_{m,q=-q'}^{\ell'} i^{-\ell'} e^{i\delta_{\ell'}(q)} P_{qe}^*(r_2) Y_{e,-}^{m*}(\Omega_2) Y_{e,+}^{m*}(\Omega_2) \quad (1.41)$$

$$\int_{\vec{P}}^{(+)HF} (\vec{r}_2) = \frac{\sqrt{4\pi}}{P_{r_2}} \sum_{l=0}^{\infty} \hat{\lambda} i^l e^{i\delta_e(p)} P_{pe}(r_2) Y_e^0(\Omega_2) \quad (1.42)$$

onde  $\hat{\lambda} = (2l+1)^{1/2}$ .

E expandimos:

$$1/r_{12} = \sum_{k=0}^{\infty} \frac{4\pi}{R^2} \sum_{m=-k}^k \frac{r_c^k}{r_s^{k+l}} Y_k^m(\Omega_1) Y_m^*(\Omega_2)$$

G.2

onde  $r_{12}$ ,  $r_c$  e  $r_s$  estão definidos na página 29.

Substituímos G.2 em G.1 e obtemos a expansão:

$$T^0 = \frac{(4\pi)^2 \sqrt{4\pi}}{pq} Y_0^0(\Omega_1) \sum_{l'm'_e} \sum_l \sum_{km} i^{l-q'} \frac{\hat{\lambda}}{R^2} e^{i(\delta_e(p) + \delta_e(q))} Y_{l'm'_e}^*(\Omega_2)$$

$$+ \int d\Omega_1 Y_k^m(\Omega_1) Y_{l'm'_e}^*(\Omega_2) \cdot \int d\Omega_2 Y_e^0(\Omega_2) Y_k^m(\Omega_2) Y_{l'm'_e}^*(\Omega_2) \cdot$$

G.3

$$\iint d\Gamma_1 d\Gamma_2 P_{lp}(r_1) P_{q,e'}(r_2) \frac{r_c^k}{r_s^{k+l}} P_{3n}(r_1) P_{pe}(r_2)$$

onde colocamos  $Y_0^0(\Omega_1)$  fora da integral pois  $Y_0^0$  é uma função constante e vale  $Y_0^0 = \frac{1}{\sqrt{4\pi}}$  (Edmonds, 1974, p.22-24).

Além disso temos:

$$Y_e^{-m}(\Omega) = (-1)^m Y_e^m(\Omega) \quad G.4 \quad (\text{Edmonds, 1974, p.21,f. 2.5.6})$$

$$\int d\Omega Y_e^{-m}(\Omega) Y_{e'}^{m'}(\Omega) = \delta_{ee'} \delta_{mm'} G.5 \quad (\text{Edmonds, 1974, p.21,f. 2.5.4})$$

\* qualquer símbolo com acento circunflexo vale por exemplo  $\hat{f} = (2l+1)^{1/2}$ .

$$\int d\Omega Y_{e_1}^{m_1}(\Omega) Y_{e_2}^{m_2}(\Omega) Y_{e_3}^{m_3}(\Omega) = \\ [1/(4\pi)^{1/2}] \hat{\ell}_1 \hat{\ell}_2 \hat{\ell}_3 \begin{pmatrix} l_1 l_2 l_3 \\ m_1 m_2 m_3 \end{pmatrix} \begin{pmatrix} l_1 l_2 l_3 \\ 0 0 0 \end{pmatrix} G.6 \quad (\text{Edmonds, 1974, p.63, f. 4.6.3})$$

Usando G.4, G.5 e G.6 obtemos:

$$T^D = \frac{(4\pi)^{3/2}}{pq} \sum_{e'me'} \sum_{\alpha} \sum_{km} \delta_{k1} \delta_{m3p}^{l-e} e^{i(\delta_e(p) + \delta_{e'}(q))} \frac{\hat{\ell}^2 \hat{\ell}^1}{k} (-1)^{m_3p} Y_{e'me'}^*(\Omega_q) \\ \begin{pmatrix} e & e' & k \\ 0 & m_{e'} & m_e \end{pmatrix} \begin{pmatrix} e & e' & k \\ 0 & 0 & 0 \end{pmatrix} R^1(3pqe'; 3s pe) \quad G.7$$

Os coeficientes () 3j devem ser tais que  $m_{e'}+m_e=0$ ,  $e+e'+k=\text{par}$  e  $e+e' \gg k \gg |e-e'|$ . A integral em  $R^k$  é definida em 1.33. Com estas relações obtemos  $T^D$ :

$$T^D = \frac{(4\pi)^{3/2}}{pq} \frac{1}{\sqrt{3}} \sum_{e=0}^{\infty} \sum_{\substack{e'=1, 0, -1 \\ e' \geq |m_{3p}|}} e^{i(\delta_e(p) + \delta_{e'}(q))} i^{e-e'} Y_{e'm_{3p}}(\Omega_q) \\ \hat{\ell}^2 \hat{\ell}^1 \begin{pmatrix} e' & e & 1 \\ m_{3p} & 0 & -m_p \end{pmatrix} \begin{pmatrix} e' & e & 1 \\ 0 & 0 & 0 \end{pmatrix} R^1(pe3s; qe'3p) \quad G.8$$

Análise de  $T^E$ :

Substituímos em  $T^E$  (1.64):

$$T^E = \int d\vec{r}_1 d\vec{r}_2 f_{\vec{q}}^{(-)\text{HF}*}(\vec{r}_1) f_{\vec{p}}^{(+)\text{HF}}(\vec{r}_2) \frac{1}{r_{12}} \frac{1}{r_2} P_{3p}(r_2) Y_{1m_{3p}}^*(\Omega_2) \frac{1}{r_1} P_{3s}(r_1) Y_0^0(\Omega_1)$$

as fórmulas 1.41, 1.42 e G.2 e obtemos:

$$T^E = \frac{(4\pi)^2 \sqrt{4\pi}}{pq} Y_0^0(\Omega_1) \sum_{e'me'} \sum_{e'k} \sum_{mm'} i^{e-e'} \frac{\hat{k}}{k^2} e^{i(\delta_e(p) + \delta_{e'}(q))} Y_{e'me'}^*(\Omega_q)$$

$$\int d\Omega_1 Y_{e'me'}^*(\Omega_1) Y_k^m(\Omega_1) \cdot \int d\Omega_2 Y_{e'm_3p}^*(\Omega_2) Y_k^{m_3}(\Omega_2) Y_0^0(\Omega_2) \cdot$$

$$\int dr_1 dr_2 P_{3s}(r_1) P_{pe}(r_2) \frac{r_1^k}{r_2^{k+1}} P_{3p}(r_2) P_{qe'}(r_1)$$
G.10

Usando as relações G.4, G.5 e G.6 e que  $Y_0^0(\Omega_1) = 1/\sqrt{4\pi}$  obtemos:

$$T^E = \frac{(4\pi)^{3/2}}{pq} \sum_{e'me'} \sum_{e'k} \sum_{mm'} \delta_{e'k} \delta_{m'm} \delta_{m_3p'm} i^{e-e'} e^{i(\delta_e(p) + \delta_{e'}(q))} \frac{\hat{k}}{k^2} \sqrt{3} Y_{e'me'}^*(\Omega_q)$$

$$(-1)^{m_3p} \begin{pmatrix} k & e & 1 \\ m & 0 & -m_3p \end{pmatrix} \begin{pmatrix} k & e & 1 \\ 0 & 0 & 0 \end{pmatrix} R^k(3s pe; qe' 3p)$$
G.11

onde usamos a fórmula 1.33 para a integral  $R^k$ .

Como já dissemos os coeficientes 3,j devem ser tais que  $m=m_{3p}$ ,

$k+l+1 = \text{par}$  e  $l+1 \geq k \geq l-1$  e portanto, a matriz  $T^E$  de troca é escrita como:

$$T^E = \frac{1}{pq} (4\pi)^{3/2} \sum_{e=0}^{\infty} \sum_{\substack{e'=|e-1|, 2 \\ e' \geq |m_{3p}|}}^{e+1} e^{i(\delta_e(p) - \delta_{e'}(q))} i^{e-e'} Y_{e'm_{3p}}^*(\Omega_q)$$

$$\frac{\hat{e}^2}{\hat{e}^2} \sqrt{3} \begin{pmatrix} e' & e & 1 \\ m_{3p} & 0 & -m_{3p} \end{pmatrix} \begin{pmatrix} e' & e & 1 \\ 0 & 0 & 0 \end{pmatrix} R^{e'}(3s pe; qe' 3p)$$
G.12

**APÊNDICE H: Cálculo da Densidade de Probabilidade Angular do Orbital Excitado.**

A densidade de Probabilidade angular da nêutram eletrônica do estado excitado é obtida apartir do projetor  $|\Omega\rangle\langle\Omega|$ , ou seja:

$$N(\theta, \phi) = \langle \Psi_n | \Omega \rangle \langle \Omega | \Psi_n \rangle = \left[ f_1^* \left( \sum_{M_L=1} + f_0^* \left( \sum_{M_L=0} - f_1^* \left( \sum_{M_L=-1} \right) \right) \right] [ |\Omega\rangle \langle\Omega| ] \left[ f_1^* \left( \sum_{M_L=1} \right) + f_0^* \left( \sum_{M_L=0} \right) - f_1^* \left( \sum_{M_L=-1} \right) \right] \quad H.1$$

$$= \left[ f_1^* Y_1^1 (\Omega') + f_0^* Y_1^0 (\Omega) + f_1^* Y_1^{-1} (\Omega) \right] \left[ f_1 Y_1^1 (\Omega) + f_0 Y_1^0 (\Omega) - f_1 Y_1^{-1} (\Omega) \right] \quad H.2$$

$$= \left[ f_0^* Y_1^0 + f_1^* [ Y_1^1 (\Omega) - Y_1^{-1} (\Omega) ] \right] \left[ f_0 Y_1^0 (\Omega) + f_1 [ Y_1^1 (\Omega) - Y_1^{-1} (\Omega) ] \right] \quad H.3$$

como  $Y_\ell^{m_\ell} = (-1)^{m_\ell} Y_\ell^{-m_\ell}$

$$= \left[ f_0^* Y_1^0 + f_1^* [ Y_1^1 - (-1)^1 Y_1^{-1} (\Omega) ] \right] \left[ f_0 Y_1^0 (\Omega) + f_1 [ Y_1^1 (\Omega) - (-1)^1 Y_1^{-1} (\Omega) ] \right] \quad H.4$$

$$= \left[ f_0^* Y_1^0 (\Omega) + f_1^* [ Y_1^1 + Y_1^{-1} ] \right] \left[ f_0 Y_1^0 (\Omega) + f_1 [ Y_1^1 + Y_1^{-1} ] \right] \quad H.5$$

além disso  $f_1(2\lambda)^{1/2} = [1-\lambda]^{1/2} e^{i\chi} f_0$  (Edmonds, 1974, p. 23-24):

$$Y_1^0 = \sqrt{\frac{3}{4\pi}} \cos \theta \quad H.6$$

$$Y_1^1 = -\sqrt{\frac{3}{8\pi}} \sin \theta e^{i\phi} \quad H.7$$

Substituindo H.6 e H.7 em H.5 obtemos:

$$\begin{aligned} N(\theta, \phi) &= \sigma(\theta) \frac{3}{4\pi} \left[ \lambda^{1/2} \cos \theta - [1-\lambda]^{1/2} e^{-i\chi} \sin \theta \cos \phi \right] \times \left[ \lambda^{1/2} \cos \theta - [1-\lambda]^{1/2} e^{i\chi} \sin \theta \cos \phi \right] \\ &= \sigma(\theta) \frac{3}{4\pi} \left[ \lambda \cos^2 \theta + [1-\lambda] \sin^2 \theta \cos^2 \phi - 2[\lambda(1-\lambda)]^{1/2} \cos \theta \sin \theta \cos \phi \right] \quad H.8 \end{aligned}$$

escolhendo  $\phi = \pi$  obtemos a distribuição:

$$N(\theta, \theta', \phi) = \langle \Psi | \Omega \rangle \langle \Omega | \Psi \rangle$$

$$= \frac{3}{4\pi} \sigma(\theta) [\lambda \cos^2 \theta' + [1-\lambda] \sin^2 \theta' + 2[\lambda(1-\lambda)]^{1/2} \cos \theta \sin \theta']$$

H.9

Note que se rodarmos H.9 de  $90^\circ$ , produzimos:

$$I(\theta, \theta'', \phi'') = \frac{3}{4\pi} \sigma(\theta) [\lambda \sin^2 \theta'' + [1-\lambda] \cos^2 \theta'' - 2[\lambda(1-\lambda)]^{1/2} \cos \theta'' \sin \theta''] H.10$$

que é idêntica à eq. 1.79.

**APÊNDICE I: Integração Analítica das Integrais  $R^1$  de Dois Eletrons.**

Na matriz  $T^D$  temos as integrais  $R^1$ :

$$\begin{aligned} R^1(3s p_l; 3p q_l') &= \int_0^\infty \int_0^\infty P_{3s}(r') P_{pl}(r) \frac{r_c}{r_s^2} P_{3p}(r') P_{ql'}(r) dr dr' \\ &= \int_0^\infty P_{pl}(r) P_{ql'}(r) Y^1(3s 3p | r) dr \quad 1.1 \end{aligned}$$

onde

$$Y^1(3s 3p | r) = \int_0^\infty dr' P_{3s}(r') P_{3p}(r') \frac{r_c}{r_s^2} \quad 1.2$$

com  $r_c$  o mínimo entre  $r$  e  $r'$  e  $r_s$  o máximo.

Quando  $r'$  é grande o produto  $P_{3s}(r)P_{3p}(r')$  vai à zero, de maneira que nesta região a integral é nula. Assim se reescrevemos 1.2:

$$\begin{aligned} Y^1(3s 3p | r) &= \int_0^\infty P_{3s}(r') P_{3p}(r') \frac{r_c}{r_s^2} dr' \\ &= \frac{1}{r^2} \int_0^r P_{3s}(r') P_{3p}(r') r' dr' + r \int_r^\infty P_{3s}(r') P_{3p}(r') \frac{1}{r'^2} dr' \quad 1.3 \end{aligned}$$

para  $r$  grande teremos:

$$Y^1(3s 3p | r) \underset{r \gg a_s}{\approx} \frac{1}{r^2} \cdot \int_0^\infty P_{3s}(r') P_{3p}(r') r' dr' \quad 1.4$$

Chamando FF de:

$$FF = \int_0^{\infty} dr' P_{3s}(r') P_{3p}(r') r' \quad 1.5$$

temos:

$$Y^*(3s 3p) \underset{r \gg a_0}{\equiv} FF / r^2 \quad 1.6$$

A integral  $R^1(3s p_l; 3p q_l')$  é realizada numéricamente até um valor  $r$ , no qual a simplificação da fórmula 1.6 seja válida.

A integral continua numericamente usando a simplificação 1.6.

No entanto é impossível integrar numericamente até o infinito (à menos é claro, que seja feita alguma modificação analítica por exemplo uma mudança de variável etc). Assim, apartir de um valor  $r'$  quando passa à valer a fórmula

$$\int_0^{r'} e^{kr} = \frac{1}{kr} \operatorname{Sen}(kr - er\pi/2) \quad 1.7$$

e

$$\eta_e(r) = -\frac{i}{kr} \cos(kr - er\pi/2) \quad 1.8$$

é possível integrar analiticamente até o infinito.

Aproximação analítica da região assintótica da integral  $R^4$  direta:

Partimos de 1.46 e de 1.7 e 1.8 para obter a expressão assintótica de  $P_{ke}$ :

$$P_{ke}(r) = kr [\cos \delta_e(k) j_e(kr) - \sin \delta_e(k) \gamma_e(kr)]$$

$$= \cos \delta_e \sin(kr - e\pi/2) + \sin \delta_e \cos(kr - e\pi/2) \quad 1.9$$

Assim usando 1.1, 1.5 e 1.9 obtemos:

$$I = \int_{r_0 \gg a_0}^{\infty} P_{pe}(r) P_{qe}(r) Y'(3s3p|r) dr$$

$$I = \int_{r_0}^{\infty} \frac{FF}{r^2} [\cos \delta_e \sin(pr - e\pi/2) + \sin \delta_e \cos(pr - e\pi/2)] \times \\ \times [\cos \delta_e' \sin(qr - e'\pi/2) + \sin \delta_e' \cos(qr - e'\pi/2)] dr$$

1.10

Usando a relação  $\cos(a)\sin(b) + \sin(a)\cos(b) = \sin(a+b)$  obtemos:

$$I = \int_{r_0}^{\infty} FF [\sin(pr + \delta_e - e\pi/2) \sin(qr + \delta_e' - e'\pi/2)] \frac{1}{r^2} dr$$

$$= \int_{r_0}^{\infty} FF \frac{\sin(pr + a) \sin(qr + b)}{r^2} dr$$

1.11

$$\text{onde } a = \delta_e(p) - e\pi/2 \text{ e}$$

$$b = \delta_e'(q) - e'\pi/2.$$

Usando  $\sin(c)\sin(d) = \frac{1}{2}(\cos(c-d) - \cos(c+d))$  obtemos:

$$I = \frac{\epsilon\epsilon_0}{2} \int_{r_0}^{\infty} \frac{\cos[(p-q)r + (a+b)]}{r^2} dr - \frac{\epsilon\epsilon_0}{2} \int_{r_0}^{\infty} \frac{\cos[(p+q)r + (a+b)]}{r^2} dr \quad I.12$$

Cada um desses termos pode ser integrado por partes como segue:

$$\begin{aligned} \int_{r_0}^{\infty} dr \frac{\cos(\mu r + n)}{r^2} &= -\cos(\mu r + n) \frac{1}{r} \Big|_{r_0}^{\infty} - \mu \int_{r_0}^{\infty} \frac{\sin(\mu r + n)}{r} dr \\ &= \frac{\cos(\mu r_0 + n)}{r_0} - \mu \cos n \int_{r_0}^{\infty} \frac{\sin(\mu r)}{r} dr \\ &\quad - \mu \sin n \int_{r_0}^{\infty} \frac{\cos(\mu r)}{r} dr \end{aligned} \quad I.13$$

Fazendo  $\mu r = x$ ,

temos:

$$\int_{r_0}^{\infty} \frac{\sin \mu r}{r} dr = \int_{\mu r_0}^{\infty} \frac{\sin x}{x} dx = -\text{Si}(\mu r_0) \quad I.14$$

$$\int_{r_0}^{\infty} \frac{\cos \mu r}{r} dr = \int_{\mu r_0}^{\infty} \frac{\cos x}{x} dx = -\text{Ci}(\mu r_0) \quad I.15$$

$$\int_{r_0}^{\infty} \frac{\cos(\mu r + n)}{r^2} dr = \frac{\cos(\mu r_0 + n)}{r_0} + \mu \cos n \text{Si}(\mu r_0) + \mu \sin n \text{Ci}(\mu r_0) \quad I.16$$

Colocando os resultados de I.14, I.15 e I.16 em I.12, obtemos:

$$\begin{aligned}
 I = \frac{FF}{r_0} \frac{1}{2} \left\{ & \cos((p-q)r_0 + (a-b)) - \cos((p+q)r_0 + (a+b)) \\
 & + (p-q) \cos(a-b) \operatorname{Ai}((p-q)r_0) \\
 & - (p+q) \cos(a+b) \operatorname{Ai}((p+q)r_0) \\
 & + (p-q) \sin(a-b) Ci((p-q)r_0) \\
 & - (p+q) \sin(a+b) Ci((p+q)r_0) \}
 \end{aligned} \quad I.17$$

que utilizamos no cálculo da parte assintótica de  $R^1(3s\text{ pl}; 3p\text{ ql'})$ .

APÊNDICE J: A Matriz T<sup>FBA</sup> para o Magnésio

A matriz T é dada pela expressão:

$$T^{FBA} = \langle \phi_{\vec{q}} | V | \phi_{\vec{p}} \rangle \quad J.1$$

onde

$$\langle \phi_{\vec{q}} | x \rangle = e^{-i\vec{q} \cdot \vec{r}} \chi_{m_s}^{\frac{1}{2}*}(\sigma) \quad J.2$$

$$\langle x | \phi_{\vec{p}} \rangle = e^{i\vec{p} \cdot \vec{r}} \chi_{m_s}^{\frac{1}{2}}(\sigma) \quad J.3$$

Considerando a ortogonalidade entre o estado inicial e o estado final, o potencial de transição V se reduz à:

$$V(r) = \int_{-\infty}^{\infty} \psi_{3s}(x') \frac{1}{r_{12}} \psi_{3p}^*(x') dx \quad J.4$$

Assim:

$$T^{FBA} = \int dx_1 dx_2 e^{i\vec{p} \cdot \vec{r}_2} e^{-i\vec{q} \cdot \vec{r}_1} \frac{1}{r_{12}} \frac{1}{r_1^2} P_{3s}(r_1) P_{3p}(r_1) Y_0^0(\Omega_1) Y_{1,3p}^*(\Omega_1) \times \chi_{m_s}^{\frac{1}{2}}(\sigma_2) \chi_{m_s}^{\frac{1}{2}*}(\sigma_1) \chi_{m_{3a}}^{\frac{1}{2}}(\sigma_1) \chi_{m_{3b}}^{\frac{1}{2}*}(\sigma_1) \quad J.5$$

Integrando no spin:

$$T^{FBA} = \int dr_1 dr_2 e^{i\vec{p} \cdot \vec{r}_2} \frac{1}{r_{12}} \frac{1}{r_1^2} P_{3s}(r_1) P_{3p}(r_1) Y_0^0(\Omega_1) Y_{1,3p}^* \delta(m_s m_s') \delta(m_{3a} m_{3b}) \quad J.6$$

e explicitando as integrais e substituindo  $Y_0^0(\Omega)$  obtemos:

$$I = \int d^3r_1 \frac{1}{r_1^2} P_{3S}(r_1) P_{3P}(r_1) \frac{1}{\sqrt{4\pi}} Y_1^{m_{3P}}(\Omega_1) \int d^3r_2 \frac{e^{i\vec{\Delta} \cdot \vec{r}_2}}{r_{12}} \quad J.7$$

Usando a integral de Bethe:

$$\int d^3r_2 \frac{e^{i\vec{\Delta} \cdot \vec{r}_2}}{r_{12}} = \frac{4\pi e^{i\vec{\Delta} \cdot \vec{r}}}{\Delta^2} \quad J.8$$

Integramos J.7 que resulta:

$$\int d^3r_1 (4\pi)^{1/2} \frac{1}{\Delta^2} e^{i\vec{\Delta} \cdot \vec{r}_1} \frac{1}{r_1^2} P_{3S}(r_1) P_{3P}(r_1) Y_1^{m_{3P}}(\Omega_1) \quad J.9$$

Considerando a expansão de  $e^{i\vec{\Delta} \cdot \vec{r}}$  em funções de Bessel e esféricos-harmônicos:

$$e^{i\vec{\Delta} \cdot \vec{r}} = 4\pi \sum_{em} i^e j_e(kr) Y_e^{m*}(\Delta) Y_e^m(\Omega_1) \quad J.10$$

e substituindo em J.9 obtemos:

$$= \sum_{em} \frac{i^e (4\pi)^{3/2}}{\Delta^2} Y_e^{m*}(\Delta) \int d\Omega_1 Y_1^{m_{3P}}(\Omega_1) Y_e^m(\Omega_1) \\ \int_0^\infty P_{3S}(r_1) P_{3P}(r_1) j_e(\Delta r) S_{m_{3P} m_e} S_{m_{3S} m_e} \quad J.11$$

a qual integrando:

$$I = \sum_{em} i^e \frac{(4\pi)^{3/2}}{\Delta^2} Y_e^{m*}(\Delta) \delta_{m_1 m_2} \delta_{m_3 m_4} \text{ com } \delta_{m_1 m_2} \delta_{m_3 m_4} \text{ muito grande}$$

$$\int_0^\infty P_{3s}(r) P_{3p}(r) j_e(\Delta r) dr$$

$$= (-1)^{m_3 p} i \frac{(4\pi)^{3/2}}{\Delta^2} Y_1^{-m_3 p}(\Delta) \int_0^\infty P_{3s}(r) \left[ \frac{\sin(\Delta r)}{(\Delta r)^2} - \frac{\cos(\Delta r)}{\Delta r} \right] P_{3p}(r)$$

$$x \delta_{m_1 m_3} \delta_{m_2 m_4} \text{ muito grande.} \quad J.12$$

onde obtemos finalmente  $T^{FBA}$  analítica para  $m_L = 0$ :

$$T_{m_3 p=0}^{FBA} = i \sqrt{3} 4\pi \frac{\cos(\Delta)}{\Delta^2} I_{(3s3p)} \delta_{m_1 m_3} \delta_{m_2 m_4} \quad J.13$$

e para  $m_3 p = \pm 1$ :

$$T_{m_3 p=\pm 1}^{FBA} = -i \sqrt{\frac{3}{2}} 4\pi \frac{\sin \Delta}{\Delta^2} I_{(3s3p)} \delta_{m_1 m_3} \delta_{m_2 m_4} \quad J.14$$

que utilizamos no cálculo da matriz T em Primeira Aproximação de Born, onde definimos:

$$I_{(3s3p)} = \int_0^\infty P_{3s}(r) \left[ \frac{\sin(\Delta r)}{(\Delta r)^2} - \frac{\cos(\Delta r)}{\Delta r} \right] P_{3p}(r) dr$$

J.15

## Referências

- P.L. Altick e A. Glassgold (1964) Phys. Rev. **133** A632-A646
- M.Ya. Amus'ia, N.A.Cherepkov e L.V.Chernysheva (1971) Sov. Phys. JEPT **33**, 90
- N.B. Avdorin, M.Ya. Amus'ia (1983), J. Tech. Phys. **53** 341
- K. Blum e H. Kleinpoppen (1975) J. Phys. B : Atom. Molec. Phys. **B** 922
- K. Blum e H. Kleinpoppen (1979) Phys. Rep. **52** 283
- M.J. Brunger, S.J. Buckman, J.L. Riley, R. Scholten e P.J.O. Teubner (1985) Abstracts os contributed pap. 14º ICPEAC
- L.A. Collins e B.J. Schneider (1981) Phys. Rev. A **24** 2387
- Gy. Csanak, H.S. Taylor e R Yaris (1971a) Adv. Atom. Molec. Phys.:Z 287-361
- Gy. Csanak, H.S. Taylor e R.Yaris (1971b) Phys. Rev. A **3** 1322
- Gy. Csanak, e H.S. Taylor (1973) J. Phys. B : Atom. Molec. Phys. **6** 2055
- Gy. Csanak (1974) J. Phys. B : Atom. Molec. Phys. Z L203
- A.R. Edmonds (1974) "Angular Momentum in Quantum Mechanics" Princeton University, Princeton.
- M. Eminyan, K.B. MacAdam, J. Slevin e H. Kleinpoppen (1974) J. Phys. B : Atom. Molec. Phys. Z 1519
- I. Fabrikant (1980) J. Phys. B : Atom. Molec. Phys. **13** 603
- U. Fano, K. Berrington e A. Kingston (1973) Rev. Modern. Phys. **45** 553
- C.F. Fischer (1977) "The Hartree-Fock Method for Atoms", Jon Wiley e Sons NY
- C.F. Fischer (1978) Compt. Phys. Commun. **14** 145.
- W.C. Fon, K.A. Berrington e A. Kingston (1979) J. Phys. B : Atom. Molec. Phys. **12** L171

C.J. Joachain (1975) "Quantum Collision Theory" North-Holland Co. Amsterdam

J. Macek e D.H. Jaeks (1971) Phys. Rev. A **4** 2288  
 D.H. Madison e W.N. Shelton (1973) Phys. Rev. A **3** 499  
 P.C. Martin e J. Schwinger (1959) Phys. Rev. **115** 1342  
 G.D. Meneses (1978), Tese de Doutorado - UNICAMP.  
 I.E. McCarthy, J.D. Thomas e A. Stelbovics (1985) J. Phys. B : Atom. Molec. Phys. **18** 2509

Norcross (\*) como citado por W.D. Robb (1974)

N.T. Padial, G.D. Meneses, F.J. da Paixão, Gy. Csanak e D.C. Cartwright (1981) Phys. Rev. A **23** 2194

W.D. Robb (1974) J. Phys. B ; Atom. Molec. Phys. Z , 1006

S. Sawada, J. Purcel e A. Green (1971) Phys. Rev. A **4** , 193

B. Schneider, H.S. Taylor e R. Yaris (1970) Phys. Rev. A **1** 855

L.I. Schiff (1968) "Quantum Mechanics" 3. ed. Mc Graw-Hill Kogakusha Tokyo

J.C. Slater (1960) "Quantum Theory of Atomic Structure", Mc Graw-Hill NY, v. I e II.

W.U. Smith e Gallagher (1966) Phys. Rev. **145** , 26

I. Sobelman (1979) "Atomic Spectra and Radiative Transitions", Springer-Verlag Berlin , Berlin

M.C. Standage e H. Kleinpoppen (1976) Phys. Rev. Lett. **36** 577

P.J.O. Teubner (1986) Comunicação pessoal

L.D. Thomas, B.S. Yarlagadda, Gy. Csanak e H.S. Taylor (1974a) J. Phys. B : Atom. Molec. Phys. Z **17** 19

L.D. Thomas, B.S. Yarlagadda, Gy. Csanak e H.S. Taylor (1974b) Comp. Phys. Com. **6** 316

J.K. Van Blerkom (1970) J. Phys. B : Atom. Molec. Phys. Z **3** 936

W. Williams e S. Trajmar (1978). J. Phys. B : Atom. Molec. Phys. **11** 2021

R. Zare (1966) J. Chem. Phys. **45** 1966

R. Zare (1967) J. Chem. Phys. **47** 3561